

Для служебного пользования

Экз. № 100116

**ПРОИСХОЖДЕНИЕ
И РАЗМЕЩЕНИЕ РОССЫПЕЙ
ЯКУТИИ**

Сборник научных трудов

ЯКУТСК 1983

АКАДЕМИЯ НАУК СССР
ОРДENA ЛЕНИНА СИБИРСКОЕ ОТДЕЛЕНИЕ
ЯКУТСКИЙ ФИЛИАЛ
Институт геологии

МИНИСТЕРСТВО ГЕОЛОГИИ РСФСР
Якутское производственное
геологическое объединение

Для служебного пользования
Экз. №

ПРОИСХОЖДЕНИЕ И РАЗМЕЩЕНИЕ РОССЫПЕЙ ЯКУТИИ

Сборник научных трудов

Якутск
Якутский филиал СО АН СССР 1983

УДК 553.4

ПРОИСХОЖДЕНИЕ И РАЗМЕЩЕНИЕ РОССЫПЕЙ ЯКУТИИ: Сб. научных трудов.—
Якутск: ЯФ СО АН СССР, 1983. 140 с.

В сборнике представлены материалы по истории формирования, закономерностям и особенностям размещения россыпей. Рассматриваются актуальные вопросы методики исследований, поисков и опробования россыпных месторождений. В большинстве статей приведен материал по конкретным объектам, представляющий интерес для производственных организаций.

Ил. 33, табл. I4, список лит. 201 назв.

Редактория:

В.М.Мишин (отв. ред.), Э.Д.Избеков,
А.Я.Кочетков

Рецензенты:

Ф.И.Цхурбаев, Я.В.Яковлев

(C) Якутский филиал
СО АН СССР, 1983

О Т Р Е Д А К Т О Р А

На территории Якутии в самой различной геологической обстановке расположены крупные металлоносные провинции и районы, являющиеся предметом исследований экспедиций, партий и деятельности многочисленных приисков. В их составе работают тысячи геологов, эффективность труда которых во многом зависит от уровня специальных геологических знаний. Отсутствие периодического издания не способствует обмену мнениями, опытом и результатами специальных исследований среди геологов республики. Поэтому представляется полезной публикация тематических сборников, посвященных актуальным вопросам геологии месторождений и рудных районов. Содержание настоящего сборника не претендует на широкое обобщение, а включает лишь новый фактический материал. В нем изложены некоторые закономерности происхождения, эволюции и размещения полезных компонентов (статьи И.П.Дика, А.И.Скрябина, О.В.Степанова, Э.Д.Избекова, Н.Н.Зинчук и В.А.Михайлова), вопросы методики поисков и разведки россыпей (статьи Т.С.Киусенко, Н.В.Белозерцевой, В.П.Грищенко, В.А.Баландина). В статьях молодых специалистов (В.Е.Филиппова, А.Г.Никифорова, М.А.Егоровой) отражены результаты изучения конкретных золотоносных объектов. Во второй статье В.Е.Филиппова приводится обоснование важности изучения гидравлической крупности шлихового золота при исследовании россыпей. В порядке обсуждения помещена статья А.И.Скрябина о связи россыпей с рудными столбами. Несмотря на недостаточность обоснования этой связи, поднимаемый вопрос практически весьма важен, и можно надеяться, что статья послужит началом изучения этого вопроса.

В целом сборник отвечает современному уровню знаний о россыпях и представляет определенный интерес для специалистов.

УДК 553.4II.068(571.56)

И.П.Дик

ЭТАПЫ РОССЫПЕОБРАЗОВАНИЯ ЮЖНОЙ ЯКУТИИ

В истории формирования рельефа, рыхлых отложений и россыпей Южной Якутии можно выделить несколько этапов, охватывающих неоген-четвертичное время. Их выделение основывается на анализе тектонического и геоморфологического строения региона и изучении рыхлых отложений. О более древних этапах формирования рельефа и рыхлых отложений сведения практически отсутствуют.

Палеогеновые и неогеновые отложения Южной Якутии представлены образованием кор выветривания, сохранившимся на месте (структурный элювий), или продуктами их перемыва, переотложенными в депрессии [Геология СССР, 1972; Шамшина, Шпунт, 1975; Хотина, 1977]. Большая часть их уничтожена и в современном рельефе развиты преимущественно нижние горизонты профилей выветривания. Переотложенные образования выветривания приурочены к опущенным блокам, зонам разрывных нарушений, карстовым полостям. Возраст их определен условно [Геология СССР, 1972].

Миоцен-плиоценовый аллювий участвует в строении цоколя высоких эрозионно-аккумулятивных террас крупных рек [Хотина, 1977]. В отложениях повсеместно встречаются частицы благородных металлов в виде одиночных знаков, свидетельствующие, видимо, о начале вскрытия рудных тел.

Россыпей в отложениях палеогена и миоцена (элювии, аллювии) не встречено, что заставляет критически относиться к мнению Л.Г.Васютиной [1971] о концентрации тяжелых металлов в аллювиальном чехле миоцена, а также к представлениям В.Г.Ветлужских [1970а, б, 1972] о меле – палеогене как о начальном и главном этапе формирования россыпей в Становой орогенной области и южной части Алданского щита.

В истории формирования рельефа Южной Якутии можно выделить неоген-нижнеплейстоценовый этап выравнивания территории в четвертичном периоде, а также два цикла общих поднятий территории и два цикла автономного развития морфоструктур [Дик, 1974а, б].

В циклах общих поднятий территории происходили врез речной сети и переотложение рыхлых отложений, а в циклах автономного развития положительных морфоструктур формировались два террасовых комплекса. Верхний (средне-верхнеплейстоценовый) представлен эрозионными и эрозионно-аккумулятивными террасами, нижний (позднеплейстоцен-голоценовый) – террасами, которые вложены одна в другую.

Во впадинах в течение циклов автономного развития морфоструктур происходит накопление нижней и верхней толщи. Нижняя толща представлена глинистыми отложениями сложного генезиса, верхняя – грубообломочными образованиями. Таким образом, каждый цикл характеризуется своеобразием тектонических движений и условий образования рыхлых отложений.

Наряду с этими данными выявлены приуроченность россыпей к определенным террасовым уровням, а также многочисленные факты залегания рудных тел в коренном ложе долин; на нескольких гипсометрических уровнях обнаружены элювиальные и делювиальные россыпи, связанные с этими телами. Анализируя этот материал, можно утверждать, что на территории Южной Якутии проявились неоген-раннеплейстоценовый, средне-позднеплейстоценовый и позднеплейстоцен-голоценовый этапы россыпнеобразования.

Неоген-раннеплейстоценовый этап связан с периодом планации рельефа [Русанов, Бороденкова и др., 1967; Гриненко, 1968; Трушков, 1971; Цхубаев, 1971; Дик, 1974а]. Отложения кор выветривания развиты широко и представлены образованиями монтмориллонитового и гидрослюдистого состава.

Аллювий указанного возраста выявлен в долинах крупных рек, где он слагает террасы [Хотина, 1977], и на широких выровненных водоразделах с относительными превышениями 100–350 м (бассейны рек Джелтула, Сутам, Тимптон, Кабактан и др.) [Дик, 1970, 1974а]. Спирально-пыльцевые комплексы свидетельствуют о позднеплиоцен-раннеплейстоценовом возрасте вмещающих отложений и содержат пыльцу растительности темнохвойной тайги и широколиственных пород.

Аллювий сложен галечно-глинистыми отложениями. Галька хорошо окатана, размер 5–10 см, валуны редки, их размер обычно не превышает 20–25 см. Отмечается значительное содержание алеврит-глинистого материала. Средний размер аллювиальных частиц изменяется от 0,15 до 1,50 мм, коэффициент сортировки колеблется от 2,4 (пойменные отложения) до 6,8 (базальные слои аллювия). Реже аллювий этого возраста представлен грубообломочной русловой фацией.

Единичные промышленные россыпи известны лишь в Центральном Ал-

дане и в бассейне р.Джелтула. На остальной территории содержание металла в аллювии невысокое, что свидетельствует о начальном этапе формирования россыпей. Металлы в россыпях мелкий и очень мелкий, средний размер его (0,13–0,37 мм) сопоставим с размерностью аллювиальных осадков, а коэффициент сортировки близок к I (I,35). Свыше 97% зерен заключено во фракции 0,5–0,07 мм, что составляет около 80% по массе.

Приведенные данные позволяют утверждать, что древние реки являлись водотоками равнинного типа. Установлено распределение полезного компонента, характерное для косовых отложений (небольшие линзы расположены беспорядочно по всему разрезу). Более 85% частиц имеют размер менее 0,15 мм. Форма уплощенная, зерна хорошо окатаны, имеют высокопробную оболочку либо высокопробные прожилки, что свидетельствует о длительности их нахождения в гипергенных условиях.

В целом неоген-раннеплейстоценовый этап имел большое значение для формирования четвертичных россыпей, так как именно в это время происходило массовое высвобождение металла из коренных источников.

Средне-позднеплейстоценовый этап связан с первым циклом автономного развития морфоструктур территории в условиях похолодания и оледенения. В ходе его в положительных морфоструктурах формируются разновысотные террасы с повышенным содержанием (до 15–25%) алеврит-глинистого материала.

Террасовые россыпи имеют обычно четко выраженный промышленный пласт в нижней части разреза. Характерно сложное распределение полезного ископаемого (как в плане, так и по вертикали). Окатанность зерен различная, основной размер от 0,65 до 4,0 мм (в среднем около 1,5 мм). Форма золотин самая разнообразная, наблюдается значительное количество самородков, преобладающая масса которых не превышает первых десятков граммов.

Характерна приуроченность россыпей к четвертой и пятой террасам. В редких случаях выявлены россыпи в аллювии третьей террасы, но здесь они связаны с размывом аллювия четвертой террасы.

В отрицательных морфоструктурах происходило накопление мощной толщи осадков. Необходимо различать крупные (Куранахская, Хатырхайская и др.) впадины и небольшие аккумулятивные грабены.

В крупных впадинах, где накопление осадков происходило в речных долинах, распределение полезного ископаемого носит ленточный характер. Отложения отличаются повышенной глинистостью от 48 до 90%.

В грабенах наблюдается рассеянное распределение полезных ком-

понентов по всему разрезу с обогащением отдельных горизонтов. Наибольшие концентрации металла характерны для верхних (по течению) участков. Значительных россыпей не обнаружено, но выявление их весьма вероятно.

В грабенах, совпадающих с простиранием речных долин, установлено иное распределение полезного компонента. Здесь на нижних участках наблюдается встречное по отношению к речному потоку падение плотника, что создает естественный подпор и способствует концентрации металла. Такой тип обогащения выявлен в Центральном Алдане в верховьях р. Томмот. В целом, в опущенных блоках характерноплощадочное распределение полезных ископаемых.

Для всех выявленных участков распространения средне-верхнеплейстоценовых осадков характерна рассеянная металлоносность по всему разрезу. Распределение полезных ископаемых носит неупорядоченный характер, что свидетельствует о проявлении здесь стадии накопления.

В впадинах наблюдаются несколько обогащенных участков. Наиболее часто такие участки расположены в местах входа водотоков во впадины. Распределение металла в их пределах имеет вид отдельных струй и связано с изменением гидродинамических и геоморфологических факторов. При этом максимальная концентрация металла несколько смешена относительно границ впадин. Во внутренних частях впадин обогащенные металлом участки также связаны с падением крупных притоков в магистральный водоток.

Частицы полезного компонента имеют мелкие размеры. В россыпях Центрального Алдана 88% частиц имеют размер менее 0,5 мм, а 21% - 0,1 мм. Средний размер их составляет 0,26 мм.

Основная масса извлекаемого металла представлена тонкопластинчатой и щечкой формами. Зерна хорошо окатаны, сильно изменены процессами коррозии и деформированы. Встречаются также незначительно окатанные частицы. Кроме того, в глинистом аллювии присутствует "хрупкий" металл, который от незначительного механического воздействия распадается на мельчайшие частицы. Пробность его составляет 945-999.

В отложениях выявлены также тонкодисперсные частицы, не извлекаемые обогатительными установками. Содержание их в несколько раз превышает концентрации, установленные гравитационными способами. Тонкодисперсные частицы формируют "невидимые" россыпи [Дик, 1974 а, б, в].

Формированию рыхлых толщ впадин сопутствуют перерывы в осадконакоплении, частичный перемыв отложений и образование обогащенных металлом горизонтов вплоть до промышленных скоплений.

Позднеплейстоцен - голоценовый этап представлен мелковалуночными, долинными, русловыми, косовыми россыпями месторождениями и россыпями первой надпойменной террасы.

Россыпноеобразование связано со вторым циклом автономного развития морфоструктур, которому сопутствуют рост интенсивности и темпов тектонических движений и увеличение степени расчлененности рельефа.

Аллювий позднеплейстоцена и голоцена обычно сложен валунно-галечными отложениями с содержанием валунов и гальки до 45–58%. Средний размер аллювиальных частиц составляет 13–73 мм, коэффициент сортировки колебается от 2,3 до 26,5. Повышенная встречаемость валуно-галечных осадков обусловлена частичным перемывом отложений средне-верхнеплейстоценового возраста. Так, в Центральном Алдане была размыта толща осадков мощностью 40–50 м, что привело к формированию ложного плотника, сложенного грубообломочным материалом.

В россыпи металл поступал не только из коренных источников, вскрытых эрозией, но и из россыпей предыдущих этапов, что обуславливает морфологическое многообразие частиц металла. В связи с тем, что в формировании современных россыпей участвовало несколько источников, имеющих к тому же различные взаимоотношения с речными долинами, образуется и несколько разновидностей россыпей.

На выходах рудных тел развиваются элювиальные и делювиальные россыпи. Из-за наличия в отложениях склонов и водоразделов глинистого материала в этих россыпях отмечается значительное содержание тонкодисперсных частиц металла (до 30% общего объема).

В истоках рек и ручьев формируются делювиально-аллювиальные россыпи, постепенно сменяющиеся аллювиальными. В верховых рек обычно весь разрез отложений содержит полезные ископаемые с весьма неравномерным распределением. Ниже по течению образуются несколько обогащенных горизонтов. Базальный горизонт, как правило, отрабатывался подземным способом, верхний – открытым разрезом, затем вся толща аллювия – сплошным способом.

На значительном удалении от рудных тел металл рассеян по всей толще отложений с некоторым увеличением концентрации в базальных слоях аллювия. На участках, расположенных в пределах или ниже зоны размыва более древних россыпей, заметно увеличивается концентрация металла в базальной части разреза.

С п и с о к л и т е р а т у р ы

В а с ю т и н а Л.Г. Структурно-геоморфологический анализ и золотоносность Станового нагорья: Автореф.дис. ... канд. геолого-минерал. наук. М.: Изд-во МГУ, 1971. 22 с.

В е т л у ж с к и х В.Г. Особенности формирования россыпной золотоносности Станового хребта. - В кн.: Проблемы геологии россыпей. Магадан, 1970а, с.315.

В е т л у ж с к и х В.Г. Золотоносность районов крайнего юга Якутии. - В кн.: Материалы по геологии и полезным ископаемым Якутской АССР. Якутск, 1970б, вып.ХIII, с.88-92.

В е т л у ж с к и х В.Г. Закономерности размещения и история формирования узлов россыпной золотоносности на юге Алданского щита и в Становой складчатой области. - В кн: Геология и полезные ископаемые Южной Якутии. Чита, 1972, с.77-81.

Г е о л о г и я СССР. Т.42. М., 1972. 496 с.

Г р и н е н к о О.В. Результаты исследования четвертичных отложений на территории Якутии. - В кн.: Проблемы изучения четвертичного периода. Хабаровск, 1968, с.55-57.

Д и к И.П. Гидросеть Центрально-Алданского района. - Колыма, 1970, № 2, с.42-43.

Д и к И.П. Особенности неотектонических движений Центрально-Алданского района (Южная Якутия). - Геоморфология, 1974а, № I, с.63-70.

Д и к И.П. О тонком и связанном золоте аллювиальных отложений Южной Якутии. - Геология и полезные ископаемые Сибири (Мат-лы научной конференции). Томск, 1974б.

Д и к И.П. Литологический контроль формирования россыпей золота Алданского щита. - Геол.конференция Якутии по золоту (Тезисы). Якутск, 1974в, с.136-138.

Р у с а н о в Б.С., Б о р о д е н к о в а З.В., Г о н ч а -
р о в В.Ф., Гриненко О.В., Лазарев Г.А. Геоморфология Восточной Якутии. Якутск, 1967. 374 с.

Т р у ш к о в Ю.Н. Условия формирования и закономерности распределения россыпей в мезозоядах Якутии. М.: Наука, 1971. 265 с.

Х о т и н а Е.Б. Новые данные о хайнозойских образованиях Алданского нагорья и долины р.Алдан на участке г.Томмот - пос.Белькачи. - Четвертичная геология и структурная геоморфология СССР, 1977, т.222, с.35-41. (Тр.ВСЕГЕИ; Нов.серия).

Ц х у р б а е в Ф.И. Условия формирования, типы и строение золотоносных россыпей Южного Верхоянья. Якутск, 1971. 142 с.

Шамшина Э.А., Шпунт Б.Р. Эпохи корообразования на территории Якутии. - В кн.: Древние коры выветривания Якутии. Якутск, 1975, с.3-29.

УДК 549.283 (571.56)

А.И.Скрябин

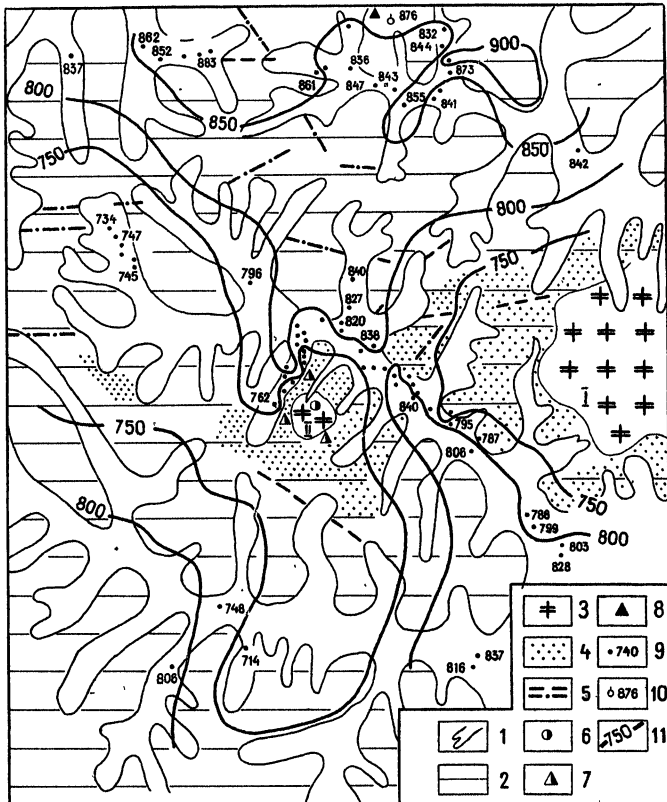
ЗОНАЛЬНОСТЬ ТИПОВ МИНЕРАЛИЗАЦИИ И ЗОЛОТА
РАЗЛИЧНОЙ ПРОБНОСТИ ОТНОСИТЕЛЬНО ИНТРУЗИВОВ
ДВУСЛЮДЬЯНЫХ ГРАНИТОВ (ВОСТОЧНАЯ ЯКУТИЯ)

На тектонической карте Якутской АССР рассматриваемая территория занимает центральную часть Нерского антиклинория. Представление о геологическом строении исследуемой площади получено по данным геолого-съемочных работ, согласно которым осадочные породы сложены глинистыми сланцами и алевролитами нижней свиты и песчаниками верхней свиты норийского яруса. Эти породы прорываются позднемезозойским гранитоидным массивом Эбир-Хая и штоком Малый Эбир-Хая (соответственно I и II на рисунке).

Массив Эбир-Хая площадью около 40 км^2 вытянут в широтном направлении, резко выделяется в современном рельфе, образуя высокие горы. Массив сложен, в основном, двуслюдьными гранитами, крупно- и среднезернистыми его разновидностями. По Н.И.Ненашеву [1979], возраст гранитов принимается 75 млн. лет.

Шток Малый Эбир-Хая менее отчетливо выделяется в рельфе, площадь около 1 км^2 . В составе его преобладают двуслюдьные граниты и только в южной части закартированы лейкократовые граниты и дайки аплитов и аплит-порфиров.

Одной из особенностей геологии описываемого рудного поля является широкое распространение kontaktово-метаморфизованных пород, картируемых вокруг упомянутых интрузивов. По нашим материалам и данным О.В.Мартыновой, ширина зоны kontaktово-метаморфизованных пород вокруг массива Эбир-Хая достигает 4-5 км. Еще в 1946 г. были выделены зоны интенсивного и слабого метаморфизма. Зона интенсивного метаморфизма имеет ширину 0,7-2 км. В ее пределах установлены андалузитовые, кордиеритовые, кордиерит-кварцевые, биотитово-кварцевые, кварцево-слюдистые и турмалино-слюдистые роговики. Зона слабого метаморфизма имеет ширину 0,2-3 км, породы представлены кварцево-слюдистыми, пятнистыми или несколько уплотненными сланцами. Наибольшая



Зональность типов минерализации и золота различной пробности относительно интрузивов двуслойных гранитов (геологические данные по О.Ф.Мартыновой, С.И.Гаврикову, Е.П.Данилого-реком с дополнением автора):

I - четвертичные отложения; 2 - сланцы, алевролиты и песчаники норийского яруса; 3 - двуслюдянные граниты; 4 - контактово-метаморфизованные породы по изогrade биотита; 5 - разрывные нарушения; 6-8 - типы рудообразований: касситерит-вольфрамитовый (6), золото-вольфрамитовый (?) , золото-арсенопирит-пиритовый (8); 9-10 - пробность золота: россыпного (9), рудного (10); II - изолинии проносности

ширина зоны слабого метаморфизма наблюдается на водоразделе ручьев Эбир-Хая и Ыт-Юрях (рисунок).

Состав контактово-метаморфизованных пород вокруг штока Малый Эбир-Хая обусловлен преимущественным развитием их по песчаникам верхней свиты норийского яруса. Ширина зоны интенсивного метамор-

физма 0,2 -1 км, наиболее распространены в ней кварцево-слюдистые роговики за счет изменения полевошпатово-кварцевых песчаников, а также кордиеритовые и турмалино-кварцевые роговики.

Задача наших исследований применительно к зональности оруденения состояла в том, чтобы выяснить ширину, общие контуры контакто-метаморфизованных пород по изограде биотита и получить достоверные факты о распространении их между двумя описываемыми интрузивами. Для этого из песчано-сланцевых пород горийского яруса было изучено около ста шлифов, что позволило проследить непрерывное развитие ороговиковых (биотитизированных) пород между двумя интрузивами - массивом Эбир-Хая и штоком Малый Эбир-Хая. Ширина их распространения от контакта интрузивов уточнена нами и показана на схеме по изограде биотита. Ореол распространения роговиков имеет, на наш взгляд, определенное значение для выяснения исследуемого вопроса (рисунок).

Важные результаты были получены по изучению эндогенной зональности оруденения [Скрибин, 1978]. Отчетливое зональное распределение рудных тел относительно штока Малый Эбир-Хая отмечалось ранее [Гавриков, Данилогорский, 1961]. Описанная ими горизонтальная зональность золотого оруденения вокруг гранитоидного штока использована как пример в учебнике по курсу рудных месторождений [Котляр, 1970].

Зональное размещение типов минерализации относительно упомянутого штока выражается в смене минеральных ассоциаций.

Кассiterит-вольфрамитовые кварцевые и вольфрамит-кварцевые жилы залегают среди двуслюдянных гранитов. В их составе преобладает кварц, в существенном количестве - вольфрамит, арсенопирит и в подчиненном - кассiterит, мусковит, пирит, халькопирит, турмалин.

В экзоконтактовой части штока были закартированы существенно кварцевые и арсенопирит-кварцевые жилы, несущие золотое оруденение и образующие невыдержаные и крутопадающие тела. Жилы состоят из кварца (80-95%), арсенопирита (1-10%), мусковита (3-5%), карбоната (1-5%) и хлорита. Арсенопирит отмечается в виде скоплений агрегатов, имеющих размеры 1-5 см. Видимое золото встречается редко, имеет форму неправильных зерен (0,02-1 мм) и ассоциируется с арсенопиритом [Гавриков, Данилогорский, 1961]. Пробность золота не определялась, но в долинах, размывающих эти коренные источники, выявлено низкопробное золото: 736 (руч. Короткий), 767 (руч. Фурия). В россыпях этих и других долин, размывающих экзоконтактовую часть штока, в качестве важного спутника россыпного золота встречен вольфрамит. С учетом приведенных данных и слабой минералогической изученности

жил есть основание предполагать, что описанные золото-кварцевые жилы относятся к золото-вольфрамитовому минеральному типу золото-кварцевой формации.

На значительном удалении от выхода обоих интрузивов, за пределами контактово-метаморфизованных пород обнаружены рудопроявления, отнесенные нами к золото-арсенопирит-пиритовому минеральному типу. Из них более изучено рудопроявление ыт-Юрях. Рудные тела — кварцевые жилы приурочены к минерализованным зонам дробления. По минеральному составу они несколько отличаются от вышеописанных рудных тел наличием пирита, арсенопирита, галенита, халькопирита и самородным золотом более высокой (876) пробности. С этим рудопроявлением пространственно связаны россыпи ручьев Конечный и Красный, золото в их головке имеет пробность соответственно 837 и 832.

Изменения пробности золота по мере
удаления россыпей от гранитоидов

Россыль	Удаленность рассыпи от гранитоидов, км	Кол-во анали- зов	Пробность	
			предел ко- лебаний	средняя
Ухарь ^X	6	I	-	714,2
Короткий	I	I	-	736,8
Правый Эбир-Хая ^X	5-6	12	727,9-748,1	739,5
Фурия	0,5-2	23	706,8-828,3	767,8
Эбир-Хая	2-3	38	740,7-841	759,8
Циклон ^X	7	I	-	806
Нарын-Юрях ^X	6	3	778,4-836,7	810,5
Правильный	2-4	5	819,6-853	833,4
Конечный	6-7	2	835,5-857,2	836,4
Правый ыт-Юрях	3	9	834,9-861,5	843,5
Ыт-Юрях	3	I	-	842,1
Кварцевый	6	I	-	855
Ягельный	4-5	5	852,7-883,6	861,7
Красный	6-8	3	828,2-937	865,9

^X Предполагается близость к невскрытым интрузивам, поскольку осадочные породы слабо ороговикованы (без биотита) и сходны с пятнистыми сланцами, установленными в 3 км от массива и штока.

В настоящей работе приводится новый важный факт — зональное расположение россыпного золота различной пробности, обусловленное, по нашему мнению, размещением типов эндогенной минерализации. Для ус-

становления этой закономерности нами проанализированы пробности россыпного золота на различном расстоянии от интрузивов. В результате установлено закономерное увеличение пробности золота при удалении от массива или штока гранитоидов. Это видно из данных таблицы, где россыпи вблизи штока или невскрытого интрузива характеризуются понижением пробности золота по отношению к россыпям, более удаленным от интрузивов и расположенным среди слабоороговикованных пород.

Поскольку в образовании каждой россыпи участвуют один или несколько источников питания, различие пробности золота в разных водотоках объясняется, прежде всего, изменением минерального типа коренных источников. Этим же можно объяснить и изменение средней пробности золота в россыпях, расположенных в разных зонах.

На основании вышеизложенного можно сделать следующие выводы:

1. Зональность типов минерализации относительно гранитоидного штока Малый Эбир-Хая подтверждается зональным распределением россыпного золота по пробности, изолинии которой повторяют контуры ороговикованных пород, установленные по изогrade биотита.

2. По аналогии со штоком Малый Эбир-Хая можно предполагать не-глубокое залегание невскрытых интрузивов под зонами низкопробного золота (вершина руч.Правый Эбир-Хая и среднее течение руч.Нарын-Юрях), хотя при микроскопическом изучении отдельных образцов не выявлено явных признаков контактового метаморфизма.

Список литературы

Гавриков С.И., Данилогорский Е.П. Эбир-Хайинский интрузив и особенности связанного с ним оруденения.- Геология рудных месторождений, 1961, № 4, с.71-78.

Котляр В.Н. Основы теории рудообразования. М.: Недра, 1970. 464 с.

Ненашев Н.И. Магматизм и развитие рудно-магматических узлов Восточной Якутии. Новосибирск: Наука, 1979. 142 с.

Скрябин А.И. Особенности горизонтальной зональности золоторудных узлов. Якутск: Кн.изд-во, 1978. 88 с.

ОСОБЕННОСТИ ГЕОЛОГИЧЕСКОГО СТРОЕНИЯ
СЛОЖНЫХ РОССЫПЕЙ В КРУПНЫХ ДОЛИНАХ
И НЕКОТОРЫЕ ВОПРОСЫ МЕТОДИКИ ИХ РАЗВЕДКИ

На первых этапах изучения золотоносных районов промышленное значение имеют обычно сравнительно простые по своему строению аллювиальные россыпи с нормальным и относительно равномерным распределением золота, приуроченные к небольшим (до I-II порядков) современным долинам. В дальнейшем в оценку вовлекаются россыпи все более сложного геологического строения, характеризующиеся низким содержанием и неравномерным распределением золота, сложными горно-гидрологическими условиями.

Среди них особый практический интерес представляют неглубоко залегающие россыпи, приуроченные к широким современным речным долинам (III-VII и выше порядков) и расположенные в пределах хорошо изученных золотоносных узлов. Сформировались такие россыпи как в результате разрушения коренных источников золота, так и за счет неоднократного перемыва более древних террасовых россыпей и привноса золота из боковых притоков. Для них характерно наличие многочисленных узких линейно вытянутых струй и гнезд с повышенным содержанием металла. Россыпи крупных долин часто залегают в пределах зон постоянно действующих обводненных таликов.

Разведка подобных россыпей ведется в настоящее время с применением крупнообъемного опробования путем проходки зимой открытых или подземных линейных горных выработок. Валовые пробы, отобранные из этих выработок, промываются летом на промприборах. Разведка таких россыпей шурфами или скважинами не эффективна из-за непредставительного объема проб.

Анализ распределения золота по классам крупности в россыпях подобного типа (по данным крупнообъемного опробования) показывает, что существует два максимума концентрации. Первый из них соответствует средней крупности 1,5 мм, второй - средней крупности 3,5 мм (рис. I), причем количество золота крупностью менее 2 мм составляет 40-60% (в среднем 50%). Средняя крупность золотин по всем изученным россыпям изменяется от 2,0 до 2,6 мм. По данным разведки шурфами, первый максимум отсутствует, а средняя крупность золотин составляет 3,2-3,8 мм. Эти факты свидетельствуют о чрезвычайно сложном законе распределения золота в россыпях крупных долин. Из рис. I

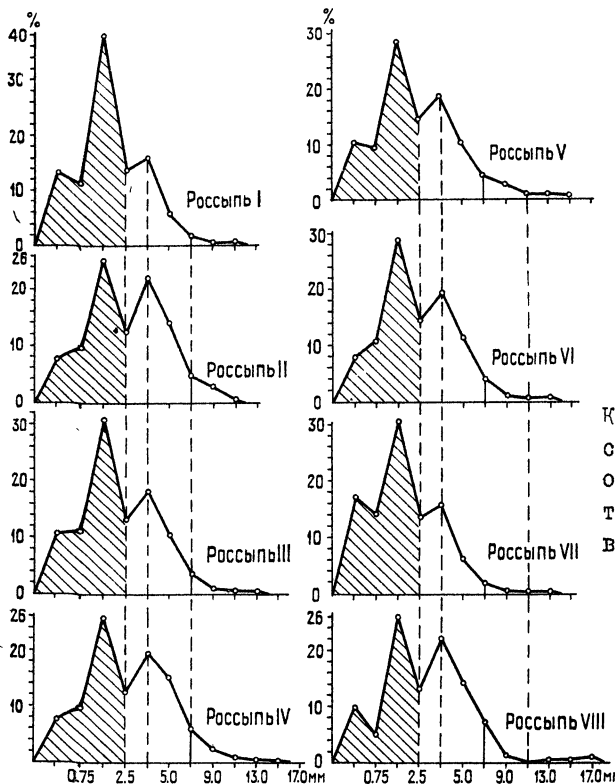


Рис. I.
Крупность золота в россыпях (по данным крупно-объемного линейно-пунктирного способа опробования)

видно, что основную массу металла в россыпи составляет крупное (более 2 мм) "инертное" золото, которое после своего высвобождения из коренных источников перемещается незначительно. Мелкое золото (менее 2 мм) перемещается водными потоками на значительное расстояние, измеряемое, очевидно, первыми километрами. Это способствует его концентрации на локальных участках магистральных долин или долин более высоких порядков. В связи с разобщенностью и малым размером таких участков большинство из них при разведке шурфами не устанавливается. Об этом свидетельствуют результаты сопоставления крупности золота по данным различных способов опробования. Сравнительный анализ приведенных на рис. 2 графиков распределения крупности золота позволяет считать, что обогащенные мелким золотом "гнезда" могут выявляться только с помощью линейных горных выработок. Расчет эффективности их применения для геолого-промышленной оценки

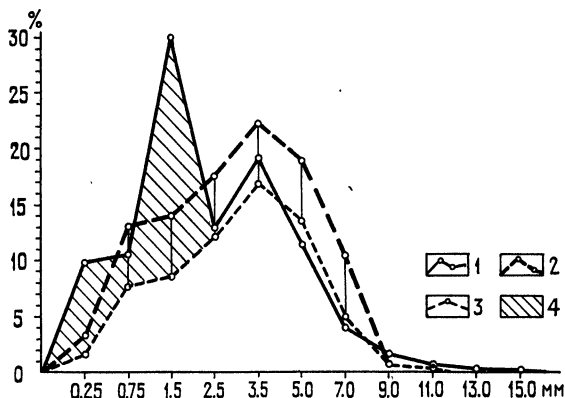


Рис.2. Сопоставление крупности золота, установленной различными способами опробования россыпей:

1 - по данным линейных горных выработок; 2 - по данным шурфов; 3 - график крупности золота по данным шурфов, приведенный к уровню данных линейных горных выработок; 4 - область крупности золота, определяющей геологическую эффективность линейного способа опробования сложных россыпей

сложных россыпей с невысоким уровнем содержания золота приведен в таблице.

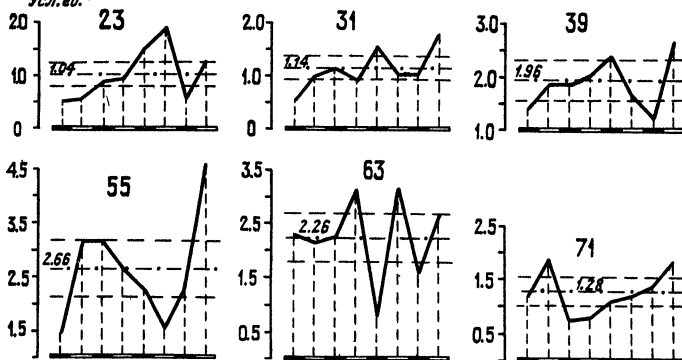
Для определения оптимальных параметров разведочных проб, достаточных для достоверной оценки сложных россыпей в крупных долинах, 40-метровые подземные выработки были опробованы 5-метровыми интервалами. Объем проб по отдельным интервалам составил 15–22 м³, что обусловило их высокую представительность.

Распределение вертикальных запасов золота в пройденных выработках показывает сложность внутреннего строения россыпи и высокую степень изменчивости характера её золотоносности в поперечном сечении (рис.3). Вертикальные запасы золота по различным интервалам каждой выработки изменяются в широких пределах и в большинстве случаев не сопоставимы со средними содержаниями металла по отдельной выработке, что подтверждается следующими расчетами. Если допустимую погрешность оценки распределения вертикальных запасов золота по единичной пробе принять равной 20%, то можно считать, что вероятность определения вертикальных запасов золота с заданной погрешностью по пробам длиной 5 м составит 0,4, по пробам длиной 10 м – 0,6, а по пробам длиной 20 м – 0,7–0,8. Отсюда следует, что при геологово-промышленной оценке сложных россыпей золота определяющим фактором достоверности разведочной является не объем пробы, а длина секции опробования.

Расчет коэффициента эффективности (K_{eff})

Показатели	Фракции золота (классы крупности), мм										Σ	$\Delta B_{\text{ср}}$
	-0,5	0,5-1	1-2	2-3	3-4	4-6	6-8	8-10	10-12	12-16		
$B_{\text{шл}}$ по данным линейных горных выработок ($B_{\text{Л}}$)	9,8	10,4	30,1	12,8	19,0	II,3	4,0	I,6	0,6	0,4	100	-
$B_{\text{шл}}$ по данным шурfov ($B_{\text{Ш}}$)	3,3	13,3	13,9	17,4	22,I	18,8	10,3	0,7	0,5	-	100	-
Разность выходов фракций классов 8+2 мм по линейным шурфам и линейным выработкам ($\Delta B = B_{\text{Ш}} - B_{\text{Л}}$), %	-	-	-	4,6	3,I	7,5	6,3	-	-	-	21,5	5,4
Выходы фракций по данным шурфов, подведенные к уровню данных линейных выработок ($B_{\text{шл}} - \Delta B_{\text{ср}}$), %	I,6 ^x	7,6	8,5	12,0	16,7	13,4	4,9	0,7 ^{xx}	0,5 ^{xx}	-	65,9	-
^x Выход фракции снижен на 50%; ^{xx} оставлены без изменений.	$K_{\text{eff}} = \frac{\sum B_{\text{Л}}}{\sum B_{\text{шл}}} = \frac{100}{65,9} = 1,52$											

*Разведочное сечение 8
рассечки*



*Разведочное сечение 16
рассечки*

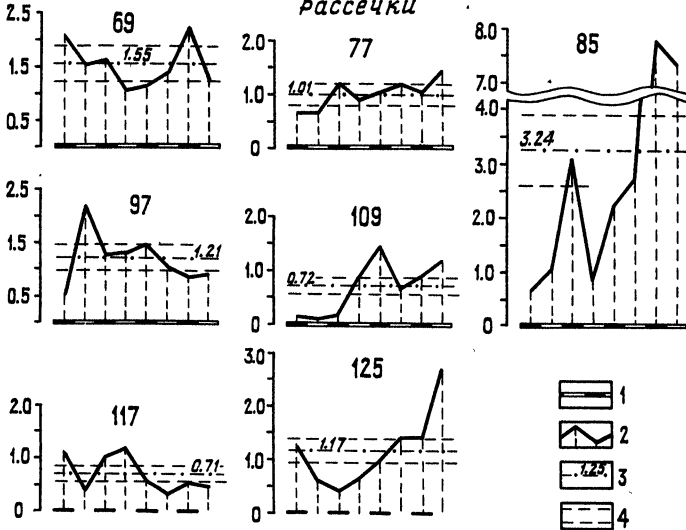


Рис.3. Изменение вертикальных запасов золота в опытных линейных выработках (рассечках):

I – опытная 40-метровая выработка, пройденная 5-метровыми отрезками (секциями); 2 – кривая изменения вертикальных запасов по 5-метровым отрезкам выработок; 3 – среднее значение вертикального запаса по выработке; 4 – область 20%-ной погрешности определения вертикальных запасов по выработке

Минимальной длиной достоверной разведочной пробы, достаточной для оценки сложных россыпей, можно считать величину 20 м. Это определяет возможность пунктирного опробования таких россыпей с отноше-

нием длины выработок (проб) к расстоянию между ними, равным I:I. Поэтому при обосновании густоты разведочной сети для оценки сложных россыпей, кроме "стандартных" параметров (расстояния между разведочными линиями и интервалы между выработками по ним), следует определять также необходимую длину разведочной выработки.

Опытным путем установлено, что оптимальная длина горной выработки при разведке россыпей составляет 40 или 20 м в зависимости от ширины россыпи. Расстояния между горными выработками по разведочным линиям должны быть равны их длине.

Изложенное позволяет сделать следующие выводы:

1. Сложность распределения золота в россыпях долин (У-УШ и выше порядков) обусловлена главным образом мелкими размерами золотин и их высокой миграционной способностью.

2. Доотверная геолого-промышленная оценка сложных россыпей возможна только при применении линейных горных выработок.

3. Надежная представительность разведочных данных может быть достигнута при пунктирной проходке линейных горных выработок, при этом длина выработок и расстояния между ними должны составлять 20-40 м.

УДК 553.068.5+549.283

Э.Д.Избеков

РЕКОНСТРУКЦИЯ РАЗМЕЩЕНИЯ ДРЕВНИХ РОССЫПЕЙ ПО ОСОБЕННОСТИЯМ МЕТАЛЛА В СОВРЕМЕННЫХ ДОЛИНАХ

В металлоносных районах Северо-Востока СССР на площадях развития верхоянского комплекса терригенных пород нередко встречаются россыпи небольшой протяженности, целиком представленные однообразным, хорошо обработанным, тонкопластичным, почти чешуйчатым золотом. Подобное золото слагает как хвостовую часть, так и головку рассматриваемых россыпей, порождая у геологов представление об их формировании за счет своеобразных коренных источников с тонким золотом. Россыпи с тонкопластичным металлом отмечались нами по ручьям Загадочный и Чугун в Верхнеиндигирском районе, по руч. Тарагай в Аллах-Юньском районе и на других металлоносных территориях. С другой стороны, в этих же районах встречаются существенно "самородковые" россыпи, в которых почти отсутствует золото мелкой и средней крупности.

Познание сущности подобных россыпей оказалось возможным при рассмотрении их как конечных продуктов сложной дифференциации и переотложения древних металлоносных отложений. Таким образом, данная работа является результатом изучения эволюции россыпей, истории формирования "структур россыпных месторождений"^Х в совокупности с детальным исследованием особенностей самого золота. Теоретической основой исследования служат работы А.П.Сигова [1965], Ю.Н. Трушкова [1969, 1972, 1975], Б.С.Лунева [1967], Е.З.Горбунова [1963], В.С.Трофимова [1960], Е.Я.Синюгиной [1965] и др. Для понимания реконструкции размещения древних россыпей по особенностям металла в современных долинах рассмотрим два примера.

Объект Кольцевой. Объект находится на южном фланге Нерского антиклиниория Яно-Колымского складчатого пояса, где осадочные рассланцованные толщи верхнего триаса смяты в сложные складки разного порядка. В литологическом отношении здесь доминируют аргиллиты и алевролиты с редкими пропластками и горизонтами песчаников. Местами отмечаются маломощные дайки кислого состава. Одна из них мощностью в один метр, проработанная гидротермами до зеленовато-серой породы с вкрапленностью пирита и арсенопирита, встречена нами в правом борту головки карьера по руч. Тритон.

Геолого-геоморфологическая схема объекта Кольцевой показана на рис. I. Рассматриваемый объект представлен широкой базисной долиной 6-го порядка. Левобережные притоки этой долины дренируют древнюю террасу 200-метрового уровня эоплейстоценового возраста, от которой остались лишь реликты. Данная терраса является элементом древнего пленелена и сравнительно детально изучена Ф.И.Цхурбаевым [1966]. О большом значении упомянутой поверхности выравнивания на Северо-Востоке, как определенного этапа формирования рельефа и образования россыпей, указывалось в работах М.Д.Эльянова [1961], Е.З.Горбунова [1963], А.П.Вальпетера [1969], Ю.П.Барановой, С.Ф.Биске [1964], Ю.Н.Трушкова [1972], Ф.И.Цхурбаева [1966] и др. Важно подчеркнуть, что к поверхности выравнивания приурочены россыпи, впоследствии подвергнувшиеся перемызу и переотложению. О древности форм рельефа на данном участке в целом свидетельствует пористо-выветрелая переотложенная галька песчаника с толщиной корочки выветривания от 1 до 10 мм [Избеков, 1968].

^Х Термин предложен Б.В.Рыжовым на конференции МГУ в 1981 г. (автор).

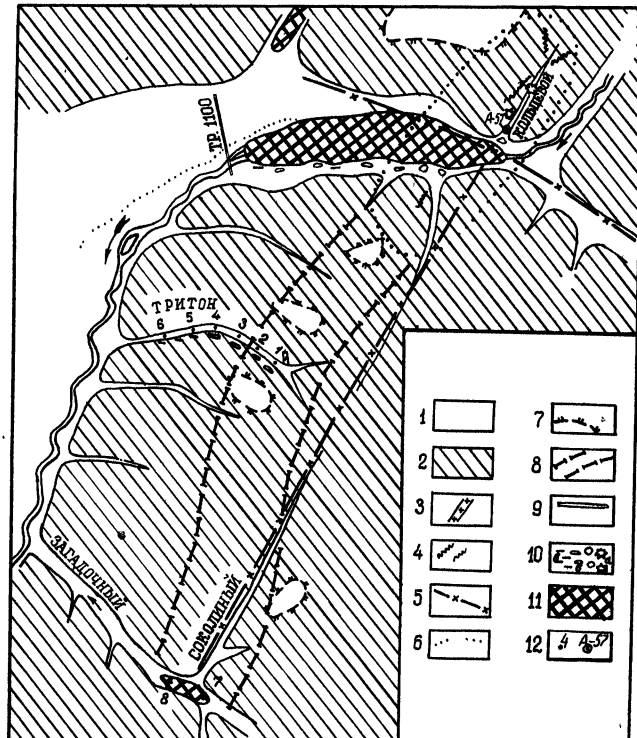


Рис. I. Геолого-геоморфологическая схема объекта Кольцевой:

I - отложения антропогенного возраста; 2 - сланцы верхоянской толщи; 3 - дайки гранит-порфиров; 4 - кварцевые жилы и их высypки; 5 - разломы; 6 - бровка пойменной террасы 2-3-метрового уровня; 7 - бровка реликтов древней террасы; 8 - граница отмершей долины; 9 - разведочная траншея; 10 - золото: а - субрудное, комковидное, б - таблитчатое и в - пластинчатое; II - отработанные участки россыпи; 12 - точки опробования

Гидросеть отражает тектоническое строение участка. Четко выделяется узкий эпигенетический каньонообразный участок базисной долины в районе руч. Кольцевого. Заметно прослеживается в рельфе разлом по направлению ручьев Кольцевой и Соколиной (рис. I). Значительное расширение базисной долины до 4-6 км ниже руч. Кольцевого также обусловлено структурно-тектоническим развитием территории. Гидросеть при этом неоднократно испытывала перестройки [Цхурбаев, 1964].

Базисная долина вмещает обширную россыпь, основные источники которой ориентировочно находятся в районе руч. Кольцевого. Здесь И. Е. Покидовым установлено несколько минерализованных рудных зон с види-

мым золотом, которые почти перпендикулярно пересекают базисную долину, и возможно, сопровождаются операциими продуктивными минерализованными структурами. Срез их, по геолого-геоморфологическим данным, на террасе 200-метрового уровня достигает 300 м, соответственно на уровне современного днища - 500 м. Кроме базисной долины золотоносны и все ее левобережные ручьи, пересекающие террасу в пределах простирации основной россыпи. По ручьям Тритон и Загадочный имеются карьерные отработки, которые располагаются в пределах размыва ручьями упомянутой террасы 200-метрового уровня. Нами было детально исследовано золото из аллювия этих ручьев, а также и из руч. Кольцевого (рис. I), находящегося вблизи головки базисной россыпи. Оно оказалось в отдельных россыпях довольно однообразным - комковидным по руч. Кольцевому, таблитчатым по руч. Тритон и тонко-пластинчатым по руч. Загадочному. В табл. I приведен ситовой состав объединенных проб золота по толщине из трех россыпей в пределах контуров древней поверхности.

Таблица I

Ситовой состав золота по толщине из трех россыпей, %

Россыпь	Толщина золотин, мм							Масса навески, г
	-0,25	+0,25	+0,5	+0,75	+1,0	+2	+6	
Руч. Кольцевой	I,2	5,28	4,5I	I,59	8,27	II,35	67,8	28,17
Руч. Тритон	I,3	I2,6I	I2,59	II,9	6I,6	-	-	3,92
Руч. Загадочный	24,7	75,3	-	-	-	-	-	0,14

Ручей Загадочный расположен на нижнем участке рассматриваемой площади, если судить относительно течения базисной долины. Из табл. I следует однозначный вывод о хорошей дифференциации металла в пределах древней поверхности выравнивания. Так, в районе руч. Кольцевого преобладает весьма крупное и комковидное золото, в том числе значительное количество самородков. Это характерно и для участка базисной россыпи напротив руч. Кольцевого. Ниже по течению палеодолины в районе руч. Тритон основное количество золота предоставлено табличками и пластинками. При добыче здесь также было получено значительное количество самородков, но они отличались уплощенностью. Сравнительно тонкое золото характерно для отрезка руч. Загадочного, дrenирующего палеоуровень. Закономерность распределения золота вдоль россыпи по толщине известна давно и в свое время детально описана Е.Я. Синюгиной для амурских россыпей [Синюгина, Воларович, Яблоко-

ва, 1967]. По-видимому, и в описанном случае имеет место подобная закономерность.

Химический состав золота из всех трех россыпей близок. Пробность его составляет по руч. Кольцевому – 860, по руч. Тритон – 870, по руч. Загадочному – 890, т.е. к хвостовой части древней россыпи золото облагораживается, что характерно для многих дифференцированных россыпей. Среди примесей постоянно встречаются ртуть (0,1–0,2%), медь (0,0013–0,0072%), в четырех анализах из восьми отмечается железо, в виде следов обнаруживаются мышьяк, свинец и сурьма, отсутствуют висмут, марганец и никель. В целом химический состав золота из всех трех россыпей указывает на его принадлежность к одному и тому же источнику.

Средняя и отличная окатанность золотин из россыпей Тритон и Загадочной и относительное их однообразие в пределах каждого ручья не соответствуют невысокому порядку водотоков, формирующих данные россыпи. Эти признаки однозначно свидетельствуют о перемыче металла с более древней поверхности, какой является терраса 200-метрового уровня. Этот факт подтверждается наличием черно-бурых рубашек на части золотин (1–3%) от общего их количества из россыпей Тритон и Загадочной.

Несколько удивляет значительная длина древней россыпи (около 9 км), которую тем не менее можно ориентировочно рассматривать как элементарную, образованную за счет мощного источника. Большая протяженность древней россыпи обязана значительной высоте среза коренного источника в допленепленовое время. Об этом свидетельствует совершенная обработанность золота по россыпям Тритон и Загадочной. Такая степень обработанности золота была отмечена на античной террасе 200-метрового уровня в бассейне рассматриваемой реки [Трушков, 1971]. Немаловажное значение имеет значительная интенсивность металлоносности эродированных рудных тел и, возможно, большая, чем показана на рис. I, площадь срезанного рудного поля. Южная его часть, по-видимому, находилась недалеко от оси заложения руч. Тритон. Следует также оговориться, что северная часть рудного поля, которую дренирует руч. Кольцевой, начала эродироваться в послепленепленовое время, возможно, даже в позднем плейстоцene, о чем свидетельствует субрудный облик золота в россыпи данного ручья. Таким образом, в формировании отмершей россыпи участвовала лишь южная часть рудного поля.

Начало отмершей россыпи находится на левобережье базисной долины против руч. Кольцевого. В связи с тем, что древняя поверхность

выравнивания подверглась впоследствии денудации и расчленению многочисленными водотоками и ложками, следует полагать, что значительная часть металла из отмершей россыпи переотложена в тальвеги этих ручьев. Исходя из содержаний металла в россыпях Тритон и Загадочной, а также из соотношения площадей размыва отмершей россыпи и вновь образованных россыпей нами определены предполагаемые содержания металла в древней россыпи. Они представлены низкими цифрами в районе руч. Загадочного, более высокими, но не промышленными в районе руч. Тритон и значительными в головке древней россыпи. Учитывая большую дифференциацию металла на древнем уровне, головка палеороссыпи должна быть представлена существенно самородковыми фракциями. Проведенные исследования позволяют рекомендовать левобережные водотоки между ручьями Тритон и Кольцевой для поисков металла разрушенной древней россыпи. Большой интерес представляет установление содержания металла на реликтах террасы 200-метрового уровня, особенно в районе руч. Кольцевого и напротив него.

Объект Палеоныкчан. Геолого-геоморфологическая схема верхнего участка рассматриваемого объекта представлена на рис.2. Здесь, как и в предыдущем случае, выделяется обширная

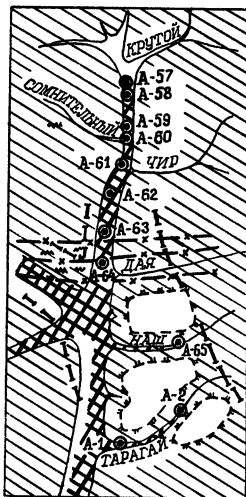


Рис.2. Геолого-геоморфологическая схема объекта Ыныкчан. Условные обозначения те же, что на рис.1

отработанная россыпь в современной долине, а на её левобережье – реликты террасы 200-метрового уровня. Этот уровень является опорным, так как на нем формировалась древняя поверхность выравнивания. Единичные выработки давних лет свидетельствуют о наличии на ней шлихового золота.

Долина Ынычан вмещает обширную россыпь, головка которой начинается от устья руч. Крутого. В верхней части долины Ынычан, выше руч. Зари, на склонах отмечены многочисленные развали кварцевых жил, в том числе с рудной минерализацией. Выходы этих жил наблюдаются в устье руч. Наш, на отрёлке его с р. Ынычан. Рассыпь долины Ынычан описана в монографии Ф. И. Цхубаева [1971].

Изучение золота россыпи долины Ынык-чан на отрезке между ручьями Заря и Крутой свидетельствует о наличии здесь не-

скольких источников россыпи, наиболее важный из которых находится в устье руч. Сомнительного. В каждой просмотренной навеске металла, наряду с пластинчатым, хорошо окатанным золотом, отмечаются субрудные формы, нередко в сростках с кварцем. В свете этих данных привлекает внимание своеобразная морфология золота по ручьям Наш и Тарагай. По руч. Тарагай золото имеет однообразную тонкопластинчатую форму, а по руч. Наш - таблитчатую. Металл в долинах этих ручьев имеет достаточно хорошую обработанность. Распределение его по толщине в упомянутых ручьях и в вершине долины Ыныкчан свидетельствует о наличии сравнительно толстого золота на верхних участках расположения реликтов древних террас и тонкого золота на нижних участках - по руч. Тарагай (табл. 2). Средняя толщина золота в долине руч. Тарагай в два раза меньше, чем в вершине долины Ыныкчан и по руч. Наш. Различие морфологии золота, наряду с высокой степенью окатанности, по руч. Наш (таблитчатое) и по руч. Тарагай (тонкопластинчатое) при однообразии его в каждом из них однозначно свидетельствует о поступлении из различных участков хорошо сортированной

Таблица 2
Классификация золота по толщине вдоль объекта Ыныкчан, %

Пункты изучения в продольном профиле	Масса навески, г	Толщина золотин, мм							Средняя толщина, мм
		-0,1	+0,1	+0,25	+0,5	+0,75	+1,0		
Вершина Ыныкчан	3,232	2,7	21,0	30,3	25,0	5,5	15,5	0,589	
Руч. Наш	0,699	-	1,3	35,1	41,0	14,1	7,6	0,632	
Руч. Тарагай	2,475	8,7	55,4	33,2	-	-	2,7	0,228	

перемытой древней россыпи. При переотложении это золото было несколько перераспределено по упомянутым мелким ручьям, но морфологический облик его в пределах каждого из них не изменился. Концентрация металла увеличилась в десятки раз по сравнению с таковым на древней поверхности вследствие перемыва металла со значительной металлоносной площади на сравнительно ограниченную.

Таким образом, однообразие в морфологии золота некоторых россыпей может зависеть не только от типов коренных источников, но и от эволюции россыпей в пространстве и во времени.

С п и с о к л и т е р а т у р ы

Б а р а н о в а Ю.П., Б и с к е С.Ф. Северо-Восток СССР. История развития рельефа Сибири и Дальнего Востока. М.: Наука, 1964. 299 с.

В а л ь п е т е р А.П. Поверхность выравнивания и особенности её развития в Яно-Колымской складчатой системе: Автореф.дис. ... канд.геол.-мин.наук. Л.: ВСЕГЕИ, 1969. 24 с.

Г о р б у н о в Е.З. К вопросу о дальности переноса россыпного золота от коренных источников. - Советская геология, 1959, № 6, с.98-105.

Г о р б у н о в Е.З. Особенности развития гидросети и вопросы россыпной золотоносности на Северо-Востоке СССР. - Советская геология, 1963, № 4, с.73-84.

И з б е к о в Э.Д. Особенности древнего обломочного материала верховьев р.Индигирки. - В кн.: Тектоника, стратиграфия и литология осадочных формаций Якутии. Якутск: Кн.изд-во, 1968, с.293-303.

Л у н е в Б.С. Дифференциация осадков в современном аллювии. - Учен.зап.Пермского ун-та, 1967, вып.174. 336 с.

С и г о в А.П. Историческая преемственность россыпей. - В кн.: Геология россыпей. М.: Наука, 1965, с.28-33.

С и н ю г и н а Е.Я. К вопросу о связи аллювиальных россыпей с коренными источниками. - В кн.: Геология россыпей. М.: Наука, 1965, с.199-206.

С и н ю г и н а Е.Я., В о л а р о в и ч Г.П., Я бл о к о - в а С.В. О связи аллювиальных россыпей золота с коренными источниками. - Тр.ЦНИГРИ, 1967, вып.76, с.170-188.

Т р о ф и м о в В.С. Генетические типы россыпей и закономерности их размещения. - В кн.: Закономерности размещения полезных ископаемых. М.: Госгортехиздат, 1960, т.4, с.5-19.

Т р у ш к о в Ю.Н. О механизме переноса металлов в россыпи и теоретической модели последней. - В кн.: Тезисы докладов III Всесоюзного совещания по геологии россыпей. Магадан, 1969, с.173-175.

Т р у ш к о в Ю.Н. Условия формирования и закономерности распределения россыпей в мезозоядах Якутии. М.: Наука, 1971. 268 с.

Т р у ш к о в Ю.Н. Теоретическая связь россыпей с коренными источниками и реконструкция последних. - В кн.: Россыпи золота и их связь с коренными месторождениями Якутии. Якутск: Кн.изд-во, 1972, с.5-31.

Т р у ш к о в Ю.Н. Глубина эрозионного среза, вскрытие им полей эндогенной минерализации и россыпи золота в мезозоядах Якутии. -

В кн.: Рассыпи золота и их связь с коренными месторождениями Якутии. Якутск: Кн.изд-во, 1972, с.32-45.

Трушков Ю.Н. Эволюция и механизм образования россыпей как проекций разрушенных коренных источников на тальвеги долин.- В кн.: Поиски и опыт реконструкции коренных источников золота по разведенным россыпям. Якутск: ЯФ СО АН СССР, 1975, с.II-28.

Цхурбаев Ф.И. К истории формирования Палео-Неры и её современной гидросети. - В кн.: Геология россыпей Якутии. М.: Наука, 1964, с.140-148.

Цхурбаев Ф.И. Геоморфология, четвертичные отложения и золотоносные россыпи Нерского плоскогорья. - В кн.: Геология россыпей золота и закономерности их размещения в центральной части Яно-Колымского складчатого пояса. М.: Наука, 1966, с.129-160.

Цхурбаев Ф.И. Условия формирования, типы и строение золотоносных россыпей Южного Верхоянья. Якутск, 1971. 142 с.

Эльянов М.Д. Четвертичные отложения и россыпи верховьев Колымы и Индигирки. - Советская геология, 1961, № 2, с.133-144.

УДК 553.068.5(571.56)

В.Е.Филиппов

ОСОБЕННОСТИ РАСПРЕДЕЛЕНИЯ ПРОБНОСТИ
РОССЫПНОГО ЗОЛОТА СУТАМСКОГО РАЙОНА
(в связи с проблемой поиска коренного источника)

По поводу коренных источников россыпей золота на территории диафторитового пояса хр.Станового существуют две альтернативные точки зрения. По мнению Д.С.Коржинского [1933] и его последователей, существование здесь россыпей обусловлено убогой вкраpledностью золота и золотоносных сульфидов в самих диафторитах региона и, исходя из этого, возраст оруденения определяется как докембрийский. По В.Г. Ветлужских [1968, 1972], золотоносные рудные поля имеют мезозойский возраст и выделяются в самостоятельные узлы и зоны на фоне диафторитовых пород.

Первая точка зрения ставит под сомнение принципиальную возможность существования в регионе рудных месторождений золота. Согласно второй, территория диафторитового пояса хр.Станового является потенциально рудоносной. Разрешение этой альтернативы может быть достигнуто путем анализа размещения россыпей в плане и распределения в них металла.

При проведении нами исследований Сутамского золотоносного узла с целью выяснения возможных типов коренных источников основное внимание было уделено изучению типоморфных особенностей золота отработанных россыпей. Интервал их опробования 200 – 400 м.

Геологическое строение района предопределено расположением его в зоне сочленения Алданского щита и северного склона сводового поднятия хр.Станового. Здесь широко развиты полия диафторированных пород протерозойского и, преимущественно, архейского возраста. К одной из особенностей исследуемого района относится присутствие фрагментов грабен-синклиналей, выполненных терригенными отложениями позднеюрского возраста. Вдоль разрывных нарушений широтного простирания, входящих в систему Станового глубинного разлома, широко распространены тела малых интрузий гранитоидов мелового возраста.

По В.С.Когену [1976], основные концентрации золота связаны с кварцево-жильными проявлениями с разнообразной сульфидной минерализацией в докембрийских и мезозойских породах. Он выделил здесь четыре типа оруденения: 1) кварц-пирит-пирротиновые жилы в березитизированных архейских и раннепротерозойских гранитах; 2) кварц-пирит-арсенопиритовые штокверковые зоны в окварцованных и серипитизированных юрских углистых сланцах; 3) кварц-карбонат-полисульфидные штокверковые зоны в лиственизированных архейских габброидах; 4) кварц-халцедон-карбонатные штокверковые зоны и линзы окремненных тектонических брекций с убогой сульфидной минерализацией среди юрских песчаников. Разнообразие типов золоторудных проявлений В.С.Коген объясняет пространственной близостью источников оруденения различных формаций. Этому, считает он, способствовало развитие здесь субширотных разрывных нарушений, неоднократно подновленных в докембрийское и мезозойское время, которые играли роль основных рудоконтролирующих структур.

Распределение металла по пробности. Изучение распределения шлихового золота по пробности проведено по методике А.И.Скрябина [1966]. В его работах убедительно показано, что для каждого интервала пробности металла характерна определенная минеральная ассоциация. При этом переход одних минеральных ассоциаций к другим происходит закономерно от высокотемпературных ассоциаций к низкотемпературным. Выявленные А.И.Скрябиным закономерности свидетельствуют о генетическом единстве всех коренных источников, образующих ряд зональности по пробности золота.

Определение пробности металла проведено микрохимическим способом.

С целью выяснения возможности изменения пробности в экзогенных условиях был произведен двухфазный химический анализ россыпного золота. Результаты показали относительное повышение пробности золота во внешней оболочке до 27. По определению Э.Д.Избекова, внешний облагороженный слой наблюдается далеко не во всех изученных золотинах и чаще всего представлен фрагментами высокопробной оторочки толщиной от 3 до 10 мкм. Таким образом, можно считать, что процесс "облагораживания" металла в россыпях практически не оказал влияния на пробность золота.

По 72 определениям пробность металла с различных участков исследуемой территории колеблется от 642 до 942 (рис. I). Изменение проб-

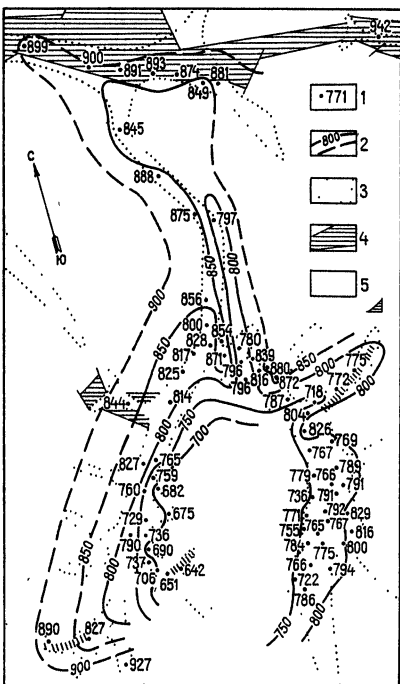


Рис. I. Схема горизонтальной зональности россыпного золота по пробности:

1 - пробность и место отбора пробы золота; 2 - линии "изопробности", прерывистые - предполагаемые; 3 - контуры днища долин; 4 - терригенные отложения мезозойского возраста; 5 - породы докембрийского возраста

ности происходит наиболее интенсивно в широтном направлении. При этом устанавливается отчетливая зональность в распределении высокопробных золотин относительно "центра" с низкопробным золотом. Последняя по аналогии с рудно-россыпными узлами Восточной Якутии [Скрибин, 1978] может быть обусловлена невскрытым куполом гранитоидов.

Согласно представлениям Г.И.Неронского и В.Т.Доброй [1976] можно ожидать, что субмеридиональная зональность пробности золота обусловлена ориентировкой в этом же направлении рудовмещающих структур.

Явно закономерный характер распределения металла по пробности в пределах Сутамского золотоносного района позволяет предположить наличие генетической и пространственной общности (парагенезиса) между всеми рудными телами на исследуемой территории. Из наблюдаемой концентрической зональности вытекает, что рудопроявления формировались как единая система рудных тел с общим источником. Примечателен факт "независимости" распределения изолиний пробности от структуры пород докембрийского фундамента и степени их дифференциации. Но на конфигурацию зональности определенное влияние оказывает комплекс терригенных мезозойских отложений Алексеевской грабен-синклинали.

В целом, выявленные особенности зональности распределения пробности шлихового золота указывают на то, что коренные источники россыпей образовались в мезозойское время.

Большой интерес представляют установленные соотношения ориентировки долин, несущих россыпи, с простиранием предполагаемыхрудовмещающих структур. Известно, что наиболее продуктивные россыпи образуются при совпадении простирания рудного поля с направлением долин и при денудации относительно крупного изометричного рудного тела.

Рассмотрим характер распределения металла вдоль россыпей на исследуемой территории. На рис.2 приведено распределение металла по некоторым его характеристикам вдоль россыпи Анинской и верхней половины россыпи Петровской. Размещение предполагаемых коренных источников вдоль россыпи "пульсирующее" (рис.2). По мнению А.Г.Никифорова [1980], рассматриваемая россыпь сформирована за счет денудации протяженного линейного рудного поля с простиранием, близким к ориентировке россыпей Анинской и Петровской. Отсутствие золота в аллювии боковых притоков свидетельствует об узколинейной локализации коренных источников. Аналогичные материалы получены по данным изучения распределения металла вдоль россыпи Андреевской. Подпитка этой россыпи золотинами слабой степени обработанности фиксируется на большом протяжении и подтверждается характером распределения металла по гранулометрическому составу вдоль россыпи.

Таким образом, обе россыпи образовались, вероятнее всего, за счет разрушения линейных зон минерализации, пересекаемых под небольшим углом долинами основных водотоков района.

Россыпи Алексеевской грабен-синклинали, выполненной отложениями позднеюрского возраста, протягиваются в секущем направлении по отношению к удлиненной оси предполагаемого рудного поля. Основными источниками их питания, по мнению геологов ВАГТа, является минерали-

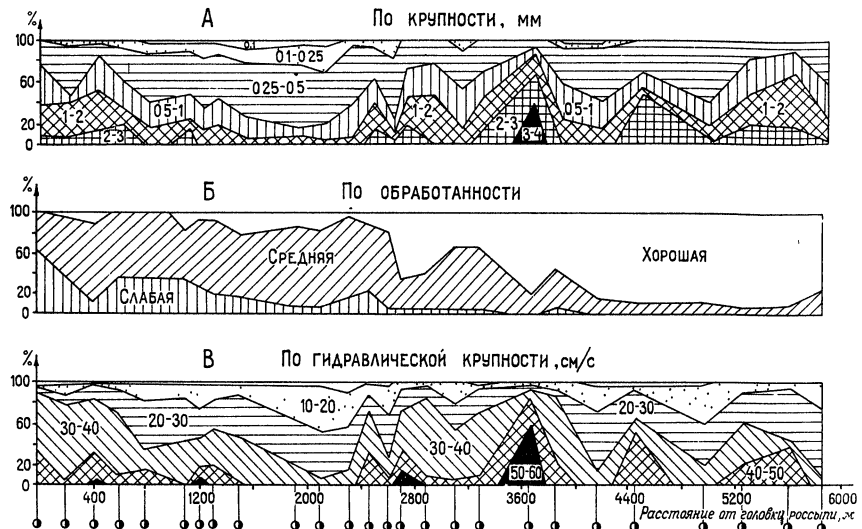


Рис.2. Распределение шлихового золота по крупности (А), степени обработанности (Б) и гидравлической крупности (В) россыпей Анинской и Петровской (по А.Г.Никифорову)

зованная зона динамометаморфизма углистых сланцев, прослеживаемая вдоль осевой линии грабен-синклинали (рис. I). В.Г.Ветлужских считает, что золоторудные проявления приурочены к узлам пересечения разломов субширотного и северо-западного направлений, которые сектут динамометаморфизованные углистые сланцы. Он выдвинул предположение, что зоны северо-западного направления могут оказаться более перспективными, чем широтные. На основе детального исследования морфологии золота А.Г.Никифоров (см. статью в сборнике) пришел к выводу, что россыпи Алексеевского грабена сформированы за счет денудации коренных источников, расположенных вдоль его южной границы.

В целом предположение В.Г.Ветлужских и выводы А.Г.Никифорова согласуются с представлением автора о том, что грабены, выполненные терригенными отложениями, служили своеобразным экраном на пути продвижения рудообразующих флюидов.

Дальность перемещения металла в аллювии оценена в зависимости от толщины и гидравлической крупности золотин по протяжению россыпей (таблица). Основную массу исследованного золота составляют частицы с гидравлической крупностью от 20 до 40 см/с.

Дальность переноса золота

Толщина золотин, мм	Гидравлическая крупность, см/с ^х	Дальность переноса, км
+0,75	+60	до 0,1
0,5 - 0,75	50 - 60	до 0,1 - 0,3
0,25 - 0,5	40 - 50	до 0,3 - 0,5
0,1 - 0,25	30 - 40	до 0,5 - 1,0
-0,1	20 - 30	до 1,0 - 2,0
	10 - 20	до 1,5 - 3,0

^х Замеры гидравлической крупности производились в гидроклассификаторе с восходящей струей воды.

Проведенное Э.Д.Избековым изучение внутреннего строения золотин не обнаружило признаков длительного пребывания их в экзогенных условиях. Толщина высокопробных оторочек не превышает 10 мкм, и среди золота, намытого более чем со ста точек, отмечена лишь одна золотина со следами длительной обработки в экзогенных условиях.

В долинах основных водотоков отмечаются террасоувальные россыпи, денудированные в различной степени. Переотложение металла этих россыпей на днище основных долин происходило в результате односторонней боковой эрозии, сопровождавшейся вертикальным врезом. Фрагменты террасоувальных россыпей местами рассечены боковыми притоками, в аллювий которых переотложена часть металла. Россыпи таких боковых притоков незначительны по протяженности и имеют "каплевидную" конфигурацию в плане. Золотины в них в основном сильно обработаны, и крупность их постепенно убывает вниз по течению главной долины.

Четкая приуроченность головок "каплевидных" россыпей к гипсометрическому уровню 900 - 920 м и отсутствие террасоувальной россыпи на этом горизонте заставляют предполагать, что этот уровень, возможно, фиксирует некий "потолок" эндогенного оруденения. Одновременно данный уровень совпадает с придолинными поверхностями выравнивания плиоцен-раннеплейстоценового возраста [Кусков, Васютина, 1977]. Поэтому данный возрастной рубеж можно считать началом вскрытия рудных тел и массового перехода металла в россыпи. Нижней границей этапа россыпьобразования является, по-видимому, период прекращения вреза водотоков в ложе долины, совпадающий с формированием комплекса льдистых отложений позднего плейстоцена-голоцена мощностью до 6-8 м.

Приведенный материал позволяет сделать следующие выводы:

1. Золотое оруденение в диафторитовых породах Сутамского района носит не рассеянный, а локальный характер и контролируется разломами преимущественно субмеридионального простирания.

2. Установленная концентрическая зональность изменения пробы россыпного золота позволяет высказать предположение о приуроченности коренного источника золота к невскрытому массиву гранитоидов мезозойского возраста.

3. Соотношение изолиний пробности россыпного золота с контурами ранне-позднепрской Алексеевской грабен-синклинали указывает на постледовский возраст золотого оруденения.

С п и с о к л и т е р а т у р ы

В е т л у ж с к и х В.Г. О возрасте и генезисе золотого оруденения в диафторитах сочленения Алданской и Становой докембрийских складчатых систем. - В кн.: Вопросы геологии Прибайкалья и Забайкалья. Чита, 1968, вып.3(5), с.30-31.

В е т л у ж с к и х В.Г. Магматический и тектонический контроль золотого оруденения на Становике и в южной части Алданского щита. - В кн.: Геология и полезные ископаемые Южной Якутии. Чита: Геогр. о-во СССР, Забайкальский филиал, 1972, с.62-67.

К о г е н В.С. Золотое оруденение Сутамского узла (Становой хребет). - В кн.: Генетические типы и закономерности размещения месторождений Дальнего Востока. Новосибирск: Наука, 1976, с.107-114.

К о р ж и н с к и й Д.С. Геология и полезные ископаемые южного района ЯАССР. - Тр.СОПС ЯАССР, 1933, вып.2, с.183-221.

К у с к о в А.П., В а с ю т и н а Л.Г. Структурно-фацальная зональность неоген-четвертичных отложений Станового хребта. - В кн.: Геология четвертичного периода (плейстоцен). Ереван, 1977, с.347-352.

Н е р о н с к и й Г.И., Д о б р а я В.Т. Пробность золота и характер его изменения в некоторых золотоносных районах Приамурья. - В кн.: Генетические типы и закономерности размещения месторождений Дальнего Востока. Новосибирск: Наука, 1976, с.45-58.

Н и к и ф о р о в А.Г. Закономерности изменения типоморфных особенностей золота в сложной россыпи. - В кн.: Тезисы докладов научно-практической конференции (горно-геологическая секция). Якутск, 1980, с.6-7.

С к р я б и н А.И. К вопросу о зональном распределении золота по пробности в бассейне р.Индигирки. - В кн.: Геология россыпей зо-

лота и закономерности размещения в центральной части Яно-Колымского складчатого пояса. М.: Наука, 1966, с.207-223.

С к р я б и н А.И. Особенности горизонтальной зональности золоторудных узлов. Якутск, 1978, с.88.

Т р у ш к о в Ю.Н. Генетическая связь россыпей с коренными источниками и реконструкция последних (геометрическая модель на простейших примерах). - В кн.: Росссыпи золота и их связь с коренными месторождениями в Якутии. Якутск, 1972, с.29-49.

Ш и л о Н.А., Ш у м и л о в Ю.В. Новые экспериментальные данные о поведении частиц золота в водной среде. - Докл.АН СССР, 1970, т.195, № 1, с.193-196.

УДК 549.283:553.068.54:(571.56)

А.Г.Никифоров

ХАРАКТЕРИСТИКА СВЯЗИ РОССЫПИ С КОРЕННЫМИ ИСТОЧНИКАМИ (на примере объекта Алексеевский, Южная Якутия)

Одним из основных признаков золотого оруденения, бесспорно, можно считать россыпную золотоносность. При этом большую информацию о рудном источнике несет само шлиховое золото: его морфология, обработанность, крупность, химический состав, внутренняя структура и т.д., которые по мере удаления от источника закономерно изменяются. В данной работе приводится характеристика россыпного золота с учетом геолого-геоморфологической обстановки месторождения. Делается попытка получить представление о местоположении основных поступлений рудного золота руч.Алексеевского и наметить пути их поисков.

Исследуемый объект находится в пределах Сутамского золотоносного района на участке сочленения структур Алданского щита со Становой складчатой областью и расположен в среднегорном рельфе. Наивысшая абсолютная высотная отметка рельефа 1572 м. Относительные превышения вершин гор над днищами долин составляют от 200 до 800 м. Территория участка характеризуется слабой обнаженностью.

Поперечный профиль долины руч. Алексеевского V-образный, асимметричный. Ширина днища долины на участке залегания россыпи достигает 300 м. Левый склон кругой, угол наклона меняется от 8 до 20°, правый склон более выпущенный - 4-5°. К нему приурочена наклонная эрозионно-аккумулятивная терраса 3-15-метрового уровня, которая слагает большую часть днища долины. Ручей Алексеевский характеризуется крайне неравномерным водным режимом. Аллювиальные отло-

жения в основном представлены тремя фациями: пойменной, русловой и приплотиковой. Пойменная фация сложена илисто-глинистым материалом, мощность ее до 1 м. Русловая фация состоит из песчано-гравийных и галечно-валунных слойков, мощность до 2 м. Приплотиковая фация сложена галечником со щебнем и другими продуктами разрушения подстилающих коренных пород. Мощность этой фации до 1 м.

Относительные контуры россыпи прослеживаются двумя старательскими полигонами вдоль днища долины общей протяженностью 2,6 км с 250-метровым "цепиком" в центральной части ручья. Коренное ложе в головке россыпи состоит из диагностированных образований, представленных архейскими кристаллическими сланцами и гнейсами, прорванными мезозойскими дайками, главным образом, гранитного состава. Средняя и нижняя части россыпи расположены вдоль контакта терригенных пород юры с архейскими гранитоидами (рис. I).

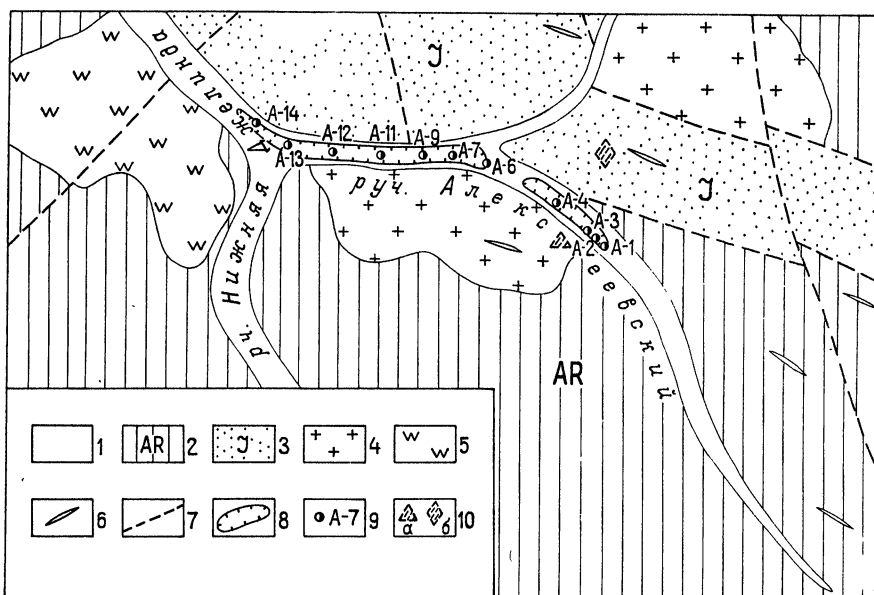


Рис. I. Схема геологического строения объекта Алексеевский . Масштаб 1:25000:

I - аллювиальные отложения; 2 - породы архейского возраста; 3 - юрские терригенно-осадочные отложения; 4 - архейские гранитоиды; 5 - архейские метасоматические кварциты; 6 - рои меловых даек; 7 - основные разрывные нарушения; 8 - контуры старательских отработок; 9 - пункты отбора проб; 10 - рудопроявления: а - Алексеевское - жильного типа, б - Перевальное - штокверкового типа

В начале этого столетия на основании находок обломков кварца с видимым золотом были выявлены рудные жилы. В настоящее время на данном объекте известны два слабоизученных рудопроявления: Алексеевское – жильного типа, расположение в гранитах, и Перевальное – штокверкового, находящееся среди юрских углистых сланцев. Согласно В.С.Когену [1976], рудопроявление Алексеевское относится к кварц-пирит-пирротиновому типу, а рудопроявление Перевальное – к кварц-пирит-арсенопиритовому. По содержанию золота оба рудопроявления крайне не выдержаны по простиранию и мощности. Изучение золота по соседним россыпям ручьев Андреевский и Петровский выполнено В.Е.Филипповым [1980] и А.Г.Никифоровым [1980].

Исследование характера связи россыпи с коренными источниками в методическом плане опирается на эволюционное представление о развитии россыпных месторождений, по Ю.Н.Трушкову и др. [1975]. Всего вдоль объекта изучено 14 навесок самородного золота, расположенных на расстоянии друг от друга не более 250 м. Из них выделено и детально проанализировано 10 опорных проб, начиная от вершины россыпи и далее вниз по ручью до её окончания.

В данной работе в качестве главных параметров самородного золота автором рассмотрены морфология, обработанность, крупность, химический состав и внутренняя структура.

Морфология и обработка золота по участкам россыпи (табл. I, рис. 2). Самая верхняя навеска (А-1) характеризует золото из головки россыпи и находится на расстоянии 2,6 км от устья руч. Алексеевского (рис. 2, а). Золото этой части россыпи состоит из двух разновидностей, различающихся по оттенку: желтое (70%) и светло-желтое (30%). Для обеих разновидностей характерны сравнительно малые размеры золотин. Пробность золота желтого цвета, определенная по отражательной способности, составляет 890–920. Форма его в основном комковидная и отростковидная, реже уплощенная. Металл слабой обработанности составляет 20%, остальная часть имеет среднюю обработанность. Поверхность золотин ямчатая, шагреневая со следами обмятости, трения, волочения в виде параллельных борозд. На единичных зернах в ямках отмечаются включения кварца, а также реликты выветрелых минералов. Золото светло-желтого цвета имеет пробность 840–850 и полностью представлено зернами рудного и субрудного облика. Форма золотин самая разнообразная – крючковидная, изометрическая, ажурная с тонкими острыми выступами и отростками, а также в виде правильных кристаллов с чуть прослеживающимися гранями октаэдра. На поверхности зерен отмечаются отпечатки минера-

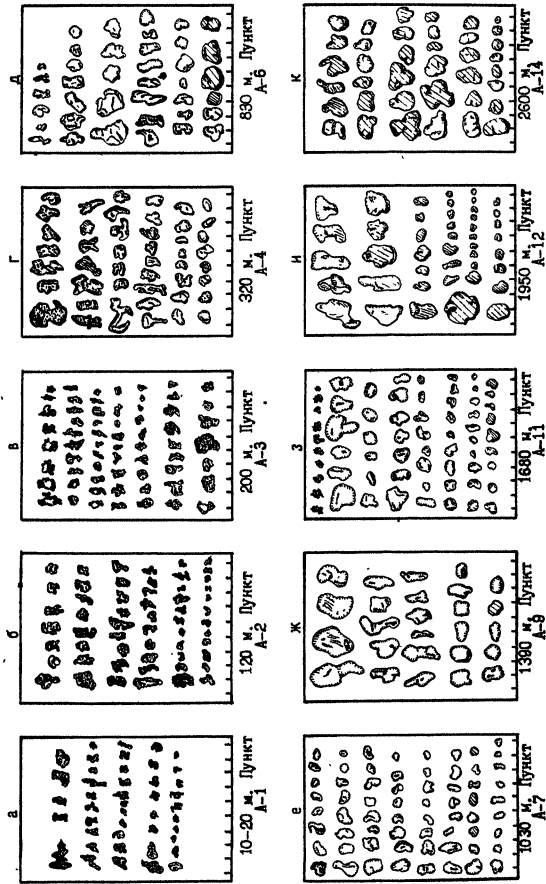


Рис. 2. Изменение морфологии самородного золота от головки россыпи до хвостовой её части. Интервал удаления от головки россыпи, м

Таблица I

Характеристика россыпного золота в золье россыпи

объекта Алексеевский

Ин- декс на- вес- ки нав- ес- ки и рас- сто- ние от голов- ки рос- сыпи, м	Пробо- ность	Количе- ство	Интервал размерности по толщине, мм	Типичная морфология	Обработанность	Выклинивания	Приле- чание	Данные пересечения на рудное золото
I	2	Высокопробное	70%	0,1-0,75	Комковидная, отростковид- ная	80% средняя 20% слабая	Кварц в за- прудниках	Участок поступ- ления
A-1	20	(880-820)			Кристаллическая, изометрическая, ажурная в виде правильных кристаллов	100% сладая (струйные формы)	Сростки с кварцем и кристалли- ческими сланцами	рудно- го зо- лота
A-2	120	Высокопробное	30%	Преоб- ладает во фракции $>0,5\text{мм}$	0,1-0,75	Комковидная, отростковид- ная, габбит- чатая	В целом средняя	То же
A-3	200	Высокопробное	60%	Преобла- дает во фракции $<0,5\text{ мм}$	0,1-0,75	Комковидная, отростковид- ная, уплощен- ная	Выклинивания кварца	"
								Сростки с кварцем и кристалли- ческими сланцами
								Средний, равно сла- бый
								То же
								"

Продолжение табл. I

I	2	3	4	5	6	7	8	9
A-3	Среднепробное	40%	0, I-0,75	Изометрическая в виде пра-вильных зе-рен	90% слабая	Сростки с кварцем и гипроокис-лами же-леза	Участок поступления рудного золота	
A-4	320	Высокопробное	100%	0, I до 1,0	Уплощенная, таблитчатая, комковидная, округлая	Средняя и хорошая	В запади-нах вклю-чения кварца и пелитово-го мате-риала	Корен-ной ис-точник золота пол-ностью зернисто-рассып-лен
A-6	830	"	100%	0, I-I,0	Комковидная, таблитчатая, лепешковид-ная, пластин-чатая	То же	В ямках зе-рения вклю-чения квар-ца	Поступ-ление рудного золота отсут-ствует
A-7	I030	"	100%	0, I до 1,0	Комковидная, таблитчатая, комковидная, таблитчатая, лепешковидная	Хорошая и средняя	Выявленный нет	Корен-ний источни-к золота эродирован
A-9	I390	"	100%	0, I, до 1,0	Таблитчатая, лепешковид-ная, пластин-чатая, комко-видная, т-ростковидная	То же	То же	То же
A-II	I680	"	100%	0, I-I,0				Незна-читель-ное пос-тупление рудного золота

Окончание табл. I

	1	2	3	4	5	6	7	8	9
A-12	1950	Высокопробное	Преобла- дает	0,1 до 1,0	Таблитчатая, пластинчатая	Хорошая	Включения нет	Присут- ствие единич- ных зерен внутри об- лака	
			Единич- ные зерна	<0,25	Комковидная, округлая	Слабая	То же		
A-14	2600	Высокопробное	100%	0,1-1,0	Таблитчатая, лепешковид- ная, пластин- чатая	Хорошая и средняя	"	Типичное хвосто- вое зо- лото	

лов. Местами на ровной поверхности кристаллов фиксируются зачатки "шагрени". Более 10% золотин находится в сростках с кварцем молочно-белого цвета и кристаллическими сланцами. Золото этой разновидности, судя по облику, и в настоящее время продолжает поступать из коренного источника в россыпь. С другой стороны, по морфологии вышехарактеризованного высокопробного золота можно говорить об активном воздействии на него аллювиальной среды за счет более раннего поступления в россыпь.

В 120 м ниже предыдущей точки золото отобранный пробы (A-2) аналогично вышеописанному (рис. 2, б). Отличительной его особенностью является высокая пробы относительно крупного золота ($> 0,5$ мм) и пониженная — мелкого. Форма золотин высокопробной разновидности в основном комковидная, отростковидная и таблитчатая. Обработанность металла в целом средняя, встречаются единичные зерна слабой и хорошей обработанности. Поверхность золотин ямчатая, шагреневая. Отдельные золотины имеют грубоямчатую поверхность, в западинах которых отмечаются включения кварца. Часть уплощенных золотин имеет различную обработанность разных их плоскостей: с одной стороны, слабую, характеризующуюся грубо-ямчатой поверхностью, с дру-

той – стяженную. Золото средней пробности самой разной формы – от правильного, каплевидного зерна до скелетной, ажурной и проволочко-видной. Оно представлено выделениями рудного и субрудного облика с острыми и тонкими выступами. Поверхность золотин яркая с металлическим блеском, свежими отпечатками выветрелых минералов. Интересно отметить, что отдельные зерна рудного облика имеют "рубашку" ржавого цвета, местами она отслаивается в виде скорлупы. Более 20% золотин находятся в сростках с молочно-белым кварцем и полупрозрачным неопределенным минералом темно-бордового цвета. В этой точке, как и в предыдущей, имеет место поступление рудного золота в россыпь в настоящее время. Отмеченные корочки ржаво-бурого цвета являются, по всей вероятности, продуктом процессов, происходящих в элювиальных и делювиальных отложениях. В активной аллювиальной среде они уничтожаются и сохраняются только её реликты.

В 200 м ниже головки россыпи золото (проба А-3) также разнопробное: высокопробное составляет 60% и низкопробное – 40% (рис.2,в). Для высокопробного золота характерна комковидная, отростковидная и уплощенная форма, в основном слабая и средняя обработанность, редко встречаются зерна хорошей обработанности. Поверхность золотин грубо-ямчатая, тонкошагреневая. В западинах отмечаются включения кварца, четко прослеживается свежая параллельная штриховка самородного металла. Более 30% золотин этой разновидности наблюдаются в сростках с кварцем и кристаллическими сланцами. Золото средней пробности характеризуется изометричными формами правильных кристаллов с гранями куба и октаэдра, реже встречается в виде дипирамидок. Металл в целом рудного и субрудного облика. Поверхность зерен яркая с металлическим блеском, отчетливо виделяются свежие отпечатки минералов. Около 15% золотин наблюдаются в сростках с кварцем и гидроокислями железа. Отдельные зерна имеют пленку малинового цвета. Эта навеска (А-3) характеризуется наличием слабообработанного золота высокопробной и среднепробной разновидностей. Таким образом, это пересечение россыпи также включает рудное золото двух разновидностей.

Начиная со следующего пункта, на расстоянии 190 м от вышеописанной навески, происходит резкое изменение облика золота (А-4) (рис. 2,г). Металл представлен здесь одной высокопробной разновидностью, крупность его резко возрастает. По этому параметру золото может быть разделено на две группы. Первая – это золотины более 1 мм, для нее характерна в основном уплощенная форма. Обработанность их средняя, ближе к слабой. У некоторых золотин обработанность различная: с одной стороны, средняя, с другой – слабая. Края и выступы обмыты,

приплюснуты, стяжены. Поверхность зерен грубоямчата, пупырчатая, в ямках отмечены включения кварца и пелитового материала. Вторая группа - это золотины менее 1 мм, имеют в основном округлую комковидную форму, реже таблитчатую. Обработанность этого золота средняя и хорошая. Поверхность зерен слабоямчата, шагреневая. Выступы стяжены, края округлены. Судя по характеристике металла, очевидно, что на этом участке поступления в россыпь золота из рудного источника в настоящее время не происходит. В то же время здесь отмечаются золотины, имеющие различную обработанность разных их плоскостей. В ямках наблюдаются включения кварца и пелитового материала. Все это дает основание предполагать, что на этом участке был коренным источником золота, который к настоящему времени полностью эродирован. Данной навеской заканчивается характеристика россыпного золота верхнего старательского полигона. Далее прослеживается "цепь" протяженностью 250 м, оставленный из-за резкого уменьшения содержания золота в россыпи на этом участке, причиной чего могло быть увеличение уклона русла и соответственно степени разубоживания металла.

В самом начале следующего полигона взята навеска золота (А-6), которое предоставлено одной высокопробной разновидностью (рис.2,д). Форма золотин комковидная, вытянутая, таблитчатая, лепешковидная, пластинчатая. Обработанность золота в основном средняя и хорошая. Поверхность золотин слабоямчата, грубошагреневая. На ней отмечаются свежие следы трения и скольжения в виде многочисленных параллельных борозд по всей поверхности. Встречаются отдельные пластинчатые золотины с завальцованными краями. В ямках зерен имеются включения кварца, хотя выступы и отростки золотин округлены и стяжены. Некоторые золотины покрыты налетом ржаво-бурового цвета. Золото данной навески однозначно свидетельствует об отсутствии поступления его в россыпь из рудного источника в настоящее время. Следует отметить, что на этом участке резко возросло процентное содержание уплощенного золота.

Следующая навеска золота (А-7), представленная одной высокопробной разновидностью, отобрана в 200 м ниже начала второго полигона (рис.2,е). Форма металла комковидная и таблитчатая. Золотины характеризуются хорошей и средней обработанностью. Поверхность зерен слабоямчата и грубошагреневая. Все отростки и выступы золотин стяжены и округлены.

В 200 м ниже по ручью золото (проба А-9) аналогично вышехарактеризованному (рис.2,ж). Форма золотин комковидная, таблитчатая, лепешковидная. Обработанность средняя и хорошая. Встречаются золотины, имеющие, с одной стороны, хорошую обработанность, с другой - среднюю,

ближе к слабой. Поверхность золотин редкоячматая, шагреневая. Отмечается свежая параллельная штриховка. Сростков золота с кварцем не наблюдается.

Предшествующая навеска золота (A-II), расположенная в 290 м ниже по ручью, представлена одной высокопробной разновидностью (рис.2,з). Форма золотин различная в зависимости от крупности. Для относительно крупных фракций (более 0,5 мм) характерна уплощенная форма – таблитчатая, лепешковидная, пластинчатая, для мелких – комковидная, отростковидная. Для первой характерна средняя и хорошая обработанность. Поверхность их грубошагреневая со следами штриховки. Пластинчатые разности имеют рваные, сплющенные края, местами они завальцованы, загнуты, частично разорваны. Для второй характерна различная обработанность – от хорошей до слабой. Субрудные золотины составляют около 10%. Поверхность этих золотин имеет яркий блеск. Следует отметить, что золото в сростках с кварцем и кристаллическими сланцами в этом пункте не наблюдается.

На расстоянии 1950 м от головки россыпи вниз по течению отобрана навеска (A-I2), в которой отмечается золото высокопробной разновидности таблитчатой и пластинчатой форм с единичными зернами средней пробности (рис.2,и). Обработанность их средняя и хорошая. Поверхность золотин грубоячматая с многочисленными следами различных деформаций. Особенно это характерно для уплощенных золотин, где отмечаются различные пережимы, перегибы и срезы зерен. Имеются золотины с рваными краями и штриховкой. На отдельных золотинах деформации застушеваны и наблюдаются только в реликтовой форме (рис.3,а,б). Единичные золотины средней пробности отмечены во фракции менее 0,25 мм

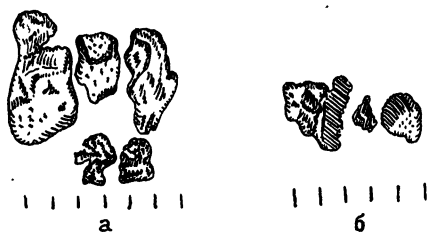


Рис.3. Деформации (а) и штриховки (б) шлихового золота в россыпи руч. Алексеевского (А-І2)

и представлены слабообработанными зернами окружной комковидной формы с ярко блестящей поверхностью, иногда с "зачатками" чуть заметной шагрени.

Хвостовую часть россыпи характеризует навеска (A-I4), отобранная в устье руч. Алексеевского на расстоянии 2600 м от головки россыпи (рис.2,к). Эта навеска полностью сложена золотом уплощенной формы –

таблитчатой, лепешковидной и пластинчатой, что типично в целом для нижней части россыпи. Обработанность золота хорошая и средняя. Поверхность слабоямчата, мелкошагреневая, изредка со следами штриховки.

Результаты детального изучения морфологии золота позволяют сделать некоторые выводы об источниках, питавших россыпь и продолжающих поставлять в нее рудное золото, их местоположении и перспективности. Наличие двух разновидностей золота разной пробы указывает на присутствие двух минеральных типов коренных источников. Металл высокопробной разновидности доминирует по количеству вдоль всей россыпи. Четко прослеживается дифференциация этого золота от округлых, комковидных золотин в верхней части россыпи до уплощенных, пластинчатых в устьевой ее части. Рассмотренные выше особенности золота дают основание утверждать, что данную россыпь в основном сформировали коренные источники высокопробной разновидности металла к настоящему времени, полностью эродированные на участках проб (A-4 и A-9). Вместе с тем это золото поставляется в долину руч. Алексеевского на участках (A-I, A-3 и A-II), расположенных соответственно в 20,200 и 1680 м от головки россыпи, где, по-видимому, сохранились рудные источники золота этого типа. Другой тип коренных источников, поставляющих в долину золото средней пробы, распространен локально в верхней части россыпи (участки проб A-I, A-2, A-3) до 200 м ниже по ручью от головки россыпи. Бессспорно, что коренные источники этой группы вскрываются в настоящее время в верховьях ручья. Факт присутствия единичных зерен рудного золота рассматриваемого типа ниже по россыпи свидетельствует о его незначительном рассеивании из верхней части россыпи. Исходя из этого и учитывая резкое уменьшение содержания золота между полигонами, можно предположить, что россыпь верхнего полигона в основном образовалась за счет рудных источников, вскрытых в недавнее время.

Важно подчеркнуть, что поверхность некоторых золотин вдоль всей россыпи несет на себе следы различной обработки, в том числе, в виде параллельных борозд трения и скольжения. Отмечаются следы различных деформаций – рваные, завальцованные и перегнутые края. Большей частью они характерны для уплощенного золота (рис.За,б). Все это однозначно указывает на активность движущейся аллювиальной среды.

Дифференциация золота по толщине вдоль россыпи изучалась путем разделения навесок на щелевидных ситах в целях выделения фракций равнопадающей [Филиппов, 1976]. Обе разновидности золота по пробности при рассмотрении

его дифференциации по толщине объединены. На основании полученных данных был построен график уплощенности шлихового золота по россыпи (рис.4). На графике видно, что золото толщиной более 1 мм в россыпи

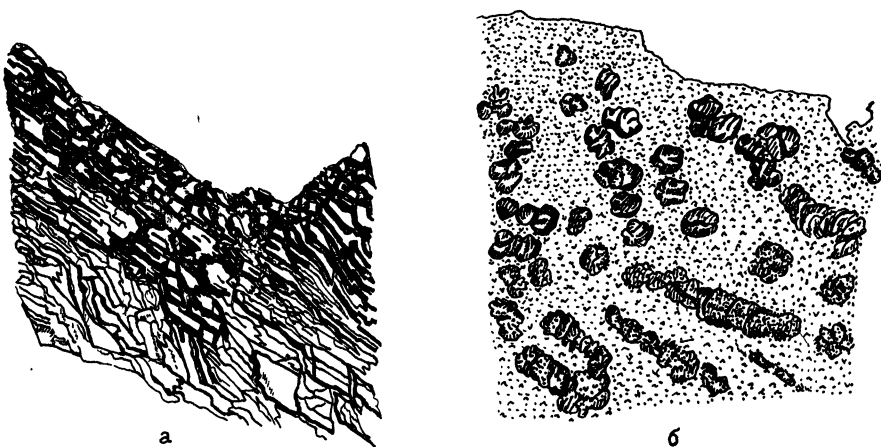


Рис.4. Распределение шлихового золота по толщине вдоль россыпи

установлено лишь на отдельных участках (пробы A-4, A-7, A-9, A-12). Учитывая слабую миграционную способность такого золота, предполагается большая вероятность денудации на этих участках рудных источников. Но вследствие хорошей обработанности шлихового металла предполагаемые рудные источники, питавшие* россыпь, можно считать полностью уничтоженными к настоящему времени. Далее важно отметить дифференциацию самой мелкой фракции (-0,1 мм). Как видно из графика, она приурочена к головке россыпи и к её хвостовой части. В верхней части россыпи мелкое золото имеет в основном субрудный облик с острыми отростками, включениями кварца и сланцев. В нижней части россыпи оно представлено уплощенными, пластинчатыми разностями. Отсюда следует, что золото мелкой фракции слабой обработанности является, вероятно, поисковым признаком рудного источника золота, размываемого в настоящее время.

По данным химического анализа пробность золота колеблется в россыпи от 849 до 920 (табл.2). Необходимо учесть, что пробность определялась не по отдельным разновидностям золотин, выделенных по отражательной способности, а в целом из фракций 0,25–0,5 мм. Тем не менее разница пробности составляет 71%. А проведенный двухфазовый анализ пробы золота показывает, что облагораживание внешнего слоя золотин (проба A-6) происходит в пределах

Таблица 2
Химический анализ самородного золота

Индекс навески	Расстояние от головки россыпи, м	Au	Ag	Cu	Hg	Fe	Пробность
A-2	120	88,17	11,89	0,06	0,018	Не обн.	881
A-3	200	84,63	15,03	0,1	0,028	Следы	849
A-5	840	87,14	12,53	0,06	Не обн.	Не обн.	874
A-7	1390	89,3	10,71	-	-	Не обн.	893
A-8	1650	88,91	10,99	0,06	Не обн.	Следы	890
A-II	2600	89,68	9,59	0,07	Не обн.	Следы	900

27%. (табл.3). Это изменение пробности поверхностного слоя существенно повлиять на общую пробность не может. Из элементов-примесей в золоте присутствуют медь, ртуть и железо. Медь является достаточно постоянной примесью в золоте, содержание ее колеблется от 0,1 до 0,06%. Максимальное количество меди приурочено к золоту навески (A-3), расположенной в 200 м от головки россыпи. Ртуть обнаружена только в двух его навесках (A-2, A-3), также расположенных в непосредственной близости от начала россыпи. Железо отмечается лишь в виде следов и только в золоте верхней и нижней частей россыпи. Проведенным химическим анализом не обнаружены мышьяк, титан, висмут, никель.

Таблица 3
Двухфазовый анализ пробности золота из навески

Золотина	I	2	3
Внешний слой	887	895	920
Внутренний слой	887	875	893

Внутренняя структура золота анализировалась по материалам Э.Д.Избекова. Установлено преимущественно плотное и массивное его строение. После травления выявлена различная внутренняя структура золота, в том числе листовато-ромбические и лагчатые выделения в виде дендритовых остатков на протравленной поверхности золотин (рис.5,а,б). Часть золотин имеет незначительную высокопробную оторочку золота. По Э.Д.Избекову, она соизмерима с таковыми у золотин из эпилейстоценовых россыпей Яно-Колымского поля.

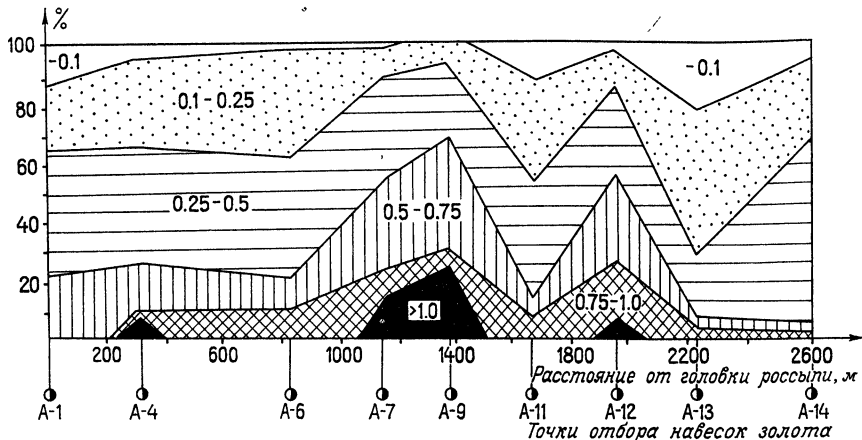


Рис.5. Внутренняя структура самородного золота:

а - листовато-ромбические кристаллиты золотин, увел.400, б - лапчатая скелетно-дendритовая структура, увел.400 (по материалам Э.Д.Избекова)

Большое влияние на формирование россыпи имела история развития самой долины руч.Алексеевского. Наличие террасы по правому борту и присутствие значительного количества рудного золота в верхней части россыпи свидетельствуют, что основная масса золота на этом участке поступила в россыпь в период одностороннего бокового вреза в левый борт долины. Этот вывод соответствует предположению о северо-восточном направлении рудоконтролирующих структур золотоносного оруднения в Сутамском золотоносном узле [Филиппов, 1980]. Он также позволяет объяснить причину отрицательных результатов ранее проведенных геолого-разведочных работ на этом участке с целью подсечения золоторудных зон субширотного простирания в пределах грабена.

Таким образом, в результате детального анализа шлихового золота вдоль россыпи можно предполагать два типа коренных источников. Первый тип поставляет в россыпь высокопробную разновидность золота, составляющую основную массу металла в россыпи. Ему принадлежит главная роль в формировании россыпи руч.Алексеевского. В настоящее время большая часть рудопроявлений этого типа эродирована на рассматриваемой территории полностью, за исключением площади трех пересечений в 20 м (A-I), 200 м (A-3) и 1680 м (A-II) от головки россыпи. Временный интервал образования россыпи представляется нам как эоплейстоцен - верхний плейстоцен. Судя по характеристике золота из этих пересечений, поступление рудного высокопробного золота здесь весьма незна-

чительно. Второй тип коренного источника поставляет в россыпь золото средней пробности рудного и субрудного облика и находится в верхней части россыпи (А-1, А-2, А-3). Следовательно, золото этого типа поступает в россыпь в настоящее время из вскрытых рудных тел. Отсюда и участки, характеризуемые навесками (А-1, А-2, А-3), являются наиболее перспективными на поиски рудного золота. Учитывая историю развития долины руч. Алекоевского, поиски рудных источников золота необходимо проводить по левому склону на выделенных перспективных площадях с целью подсечения рудоконтролирующих структур субмеридионального простирания.

С п и с о к л и т е р а т у р ы

В е т л у ж с к и х В.Г. Закономерности размещения и история формирования узлов россыпей золотоносности на юге Алданского щита и в Становой складчатой области. - В кн.: Геология и полезные ископаемые в Южной Якутии. Чита, 1972, с.77-81.

Г о р б у н о в Е.З. Закономерности распределения золота в аллювиальных россыпях и их практическое значение при поисках. - В кн.: Геология россыпей, М., 1965, с.140-141.

И з б е к о в Э.Д. Обработанность золота как критерий возраста россыпей современных долин. - В кн.: Вопросы рудоносности Якутии. Якутск: ЯФ СО АН СССР, 1974, с.187-193.

К о г е н В.С. Золотое оруденение Сутамского узла (Становой хребет). - В кн.: Генетические типы и закономерности размещения месторождений золота Дальнего Востока. Новосибирск: Наука, 1976, с.107-114.

Н и к и ф о р о в А.Г. Особенности распределения золота на одном из объектов Южной Якутии. - В кн.: Особенности россыпей золота и их поисковое значение. Якутск: ЯФ СО АН СССР, 1980, с.78-97.

Т р у ш к о в Ю.Н., И з б е к о в Э.Д., С е р г е е н к о А.И. Основные факторы перемещения золота в россыпях. - В кн.: Поиски и опыт реконструкции коренных источников золота по разведенным россыпям. Якутск: ЯФ СО АН СССР, 1975, с.29-49.

Т р у ш к о в Ю.Н., И з б е к о в Э.Д. Эволюция россыпи. - В кн.: Минеральные месторождения. М.: Наука, 1976, с.147-155.

Ф и л и п п о в В.Е. О понятии фракции равнопадаемости и методике её выделения из шихового золота. - В кн.: Закономерности проявления эрозионных и русловых процессов в различных природных условиях. М.: Изд-во МГУ, 1976, с.316-317.

Филиппов В.Е. Особенности россыпного золота Сутамского золотоносного района. – В кн.: Особенности россыпей золота и их поисковое значение. Якутск: ЯФ СО АН СССР, 1980, с.69–77.

УДК 549.283

Э.Д.Избеков

ШАРОВИДНОЕ ПУСТОТЕЛОЕ ЗОЛОТО КАК ИНДИКАТОР
ФОРМИРОВАНИЯ ДРЕВНИХ БЕРЕГОВЫХ ЗОН

(на примере восточной части Сибирской платформы)

В строении самородного золота находят отражение как гипогенные, так и экзогенные условия образования [Петровская, 1973]. В предлагаемом аспекте оно практически не изучалось, и автор пытается в порядке постановки вопроса осветить существующий пробел в этой области познания.

Известно, что береговая линия и область шельфа меняют свое положение в течение геологической истории Земли. Распространение древнего шельфа устанавливается по комплексу литолого-стратиграфических, палеонтологических, минералогических и других признаков, включая определение остатков морской фауны в отложениях, изучение текстур осадочных пород, анализ окатанности и сортированности обломочного материала и т.д. Нами предлагается своеобразный минералогический критерий определения местоположения древней береговой линии по распространению сложнодеформированного золота сковородкообразной или шаровидной формы, изученного ранее [Избеков, 1972, 1977].

Для применения этого критерия необходимы следующие предпосылки:

- региональный характер зараженности территории золотом,
- достаточная частота его встречаемости,
- уверенное диагностирование сложнодеформированного золота по внешнему облику,
- незначительная величина перемещения рассматриваемого золота.

Все эти предпосылки установлены при изучении металлоносности восточной части Сибирской платформы. Здесь на территории площадью свыше 500000 км² выявлены обширные золотоносные площади, сложенные терригенными отложениями фанерозоя. Существующая региональная золотоносность обусловлена неоднократным воздыманием и размывом ныне погребенных блоковых выступов пород кристаллического фундамента типа Сунтарского, Наманинского, Якут-

ского и других, которые пространственно контролируют местоположение золотоносных отложений разного возраста. При размыве этих выступов в определенной мере был эродирован золотоносный орогенный комплекс зеленокаменных пород докембрия [Михайлов и др., 1976] со значительным количеством металла. Морфология этого золота главным образом чешуйчатая и тонкопластинчатая [Трушков и др., 1975, с.70-73]. Впоследствии дополнительные порции металла поступили на дневную поверхность в результате размыва золотоносных площадей среднепалеозойского и мезозойского этапов оруденения.

Правомерность выделения предлагаемого критерия возможна лишь в том случае, если частота встречаемости золота в терригенных отложениях достаточна для обнаружения его простыми поисковыми приемами. Исследуемое золото по крупности имеет основной размер 0,1 - 0,25 мм. Средняя масса одной золотины данного размера (пробность 940-960) составляет 0,002-0,007 мг. При среднем содержании золота в отложениях порядка 10 мг/м³ количество его — 500-1500 штук на 1 м³, т.е. на 10 л приходится в среднем 10 золотин. При достаточной квалификации промывальщика оно может быть обнаружено промывкой обычных или укрупненных шлиховых проб. На практике объем промывки на опорных точках составляет один кубический метр металлоносных галечников, на промежуточных — 2 ендовки (40 л). Промывка в первом случае осуществляется на переносной дюралевой бутаре общей массой 10-12 кг с постелью из войлока или на винтовых сепараторах, во втором — деревянными мелкими (по высоте) лотками увеличенного размера. Объем в кубический метр необходим для намыва сравнительно больших навесок золота, пригодных для достоверного ситового анализа и выявления частоты встречаемости деформированного золота к общему его количеству в рассматриваемом пункте.

Предлагаемые в качестве минералогического критерия деформированные золотины четко диагностируются под бинокуляром, благодаря своей уникальной сковородкообразной и шаровидной (рис. I) формам. Поверхность этих золотин хорошо отполирована. Изу-



Рис. I. Золото из древних пляжей, в разной степени деформированное:

а - шаровидное, б - сковородкообразное

чение шаровидного золота в амелиях показывает, что оно пустотелое и внутри обычно имеет перегородку. Пустотелость золотин можно в первом приближении обнаружить, разрезав их острым лезвием и поместив срезы под бинокуляр. Именно таким образом нами в 1967 г. была обнаружена эта особенность (пустотелость) золота из аллювия руч. Чокул. Различные варианты сечений этих шароидов золота обусловлены как многообразием форм деформаций чешуйчатого золота, так и характером среза золотин в той или иной плоскости (рис.2).

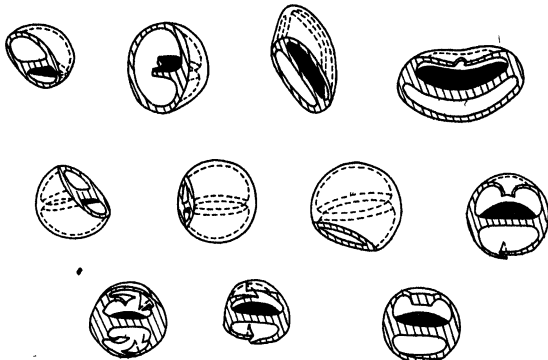


Рис.2.

Различные идеализированные варианты сечений деформированного золота в амелиях

Доказательства связи закономерно деформированного золота с береговыми зонами нами приведены ранее [Избеков, 1972]. Ими являются:
1) высокая степень обработанности (окатанности), которая наблюдается прежде всего по его хорошей полированности; на отполированной поверхности иногда сохраняются следы отпечатков других минералов более мелких фракций, образовавшиеся при захоронении золотин в промежуточных коллекторах; 2) высокая степень сортированности – кумулятивные кривые ситовых анализов рассматриваемого золота идентичны таковым ильменита, монацита и циркона из бразильских прибрежно-морских россыпей; 3) наличие окатанных включений кварца, ильменита и других минералов, а также органики внутри шароидов золота.

Напомним, что деформированные золотины образуются по схеме: чешуйчатое → сковородкообразное → шаровидное. Шаровидная пустотелая форма представляет собой конечный результат полного цикла деформаций чешуйчатого золота в пляжевой зоне, сковородкообразная – отражает промежуточную степень незавершенной деформации. В связи со слабой изученностью этого вопроса в целом находки такого золота в современном шельфе не известны. Возможно, обстановки древних шельфов, особенно в части длительности процессов и условий существования береговой

пляжевой зоны, по-видимому, существенно отличались от современного, и описанное золото отлагалось только в палеошельфовых осадках. Известные автору современные россыпи золота в пляжевых зонах территории СССР отражают лишь кратковременное их существование в этих зонах и к тому же сложены сравнительно крупным недеформированным золотом. Деформированное россыпное золото изучалось также Б.Р.Шунтом [1970] и С.В.Яблоковой [1972], однако представления этих исследователей о происхождении такого золота отличается от наших.

О незначительном перемещении этого золота в современных долинах при размыве промежуточных коллекторов можно судить по тому факту, что оно концентрируется в верховых бассейнов речек Тонгую, Кемпендий и других, в их притоках - Даалыгыр, Табасында и

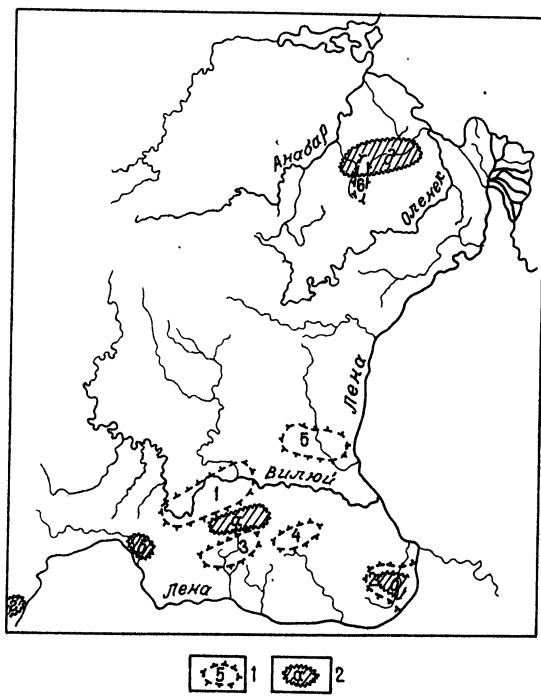


Рис.3.
Распространение деформированного золота в восточной части Сибирской платформы:

1 - погребенные дохембрейские поднятия;
2 - площади распространения деформированного золота в аллювии

более мелких речках - Керимде, Чаал и в других, в которых оно формирует пласты на плотике. Интересно отметить, что в россыпи руч. Даалыгыр чешуйчатое золото, имеющее гидрокрупность 3-7 см/с, распространено по всему 3-5-метровому разрезу аллювия, а шаровидное, несмотря на малые размеры, имеющее гидрокрупность от 6 до 15 см/с, "просело" до плотика.

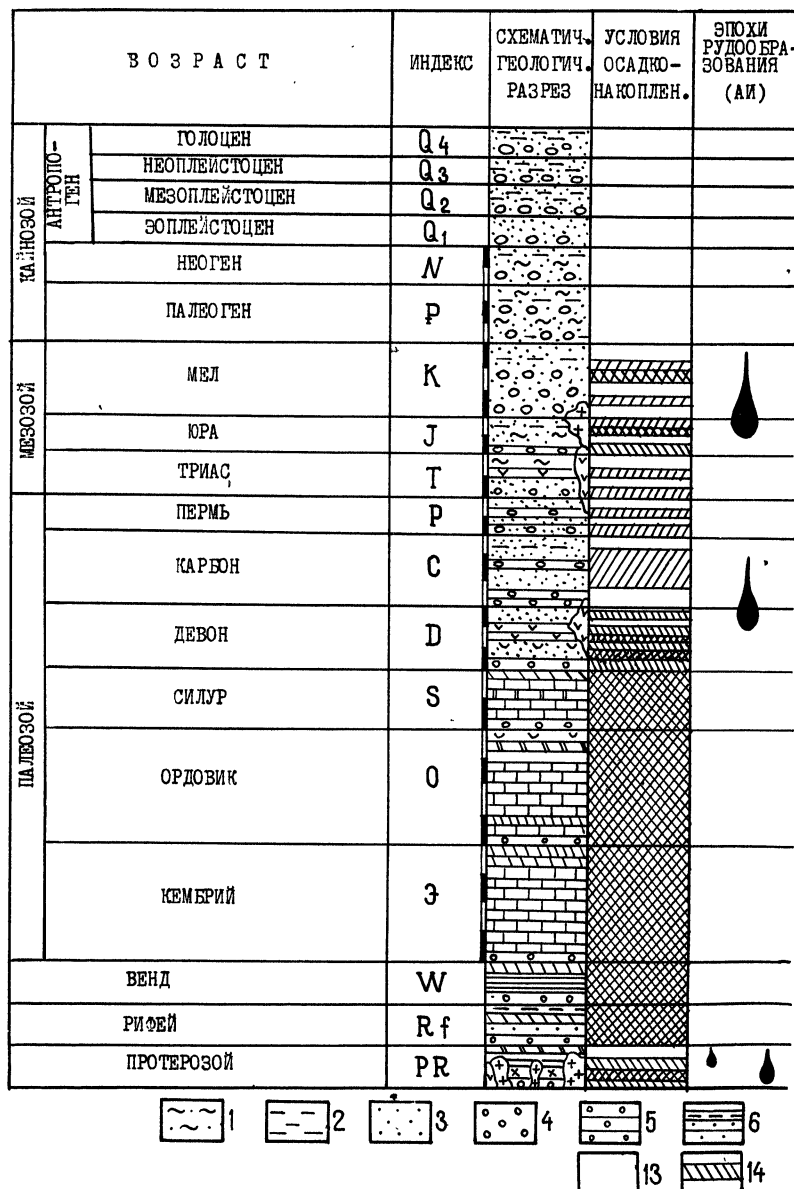
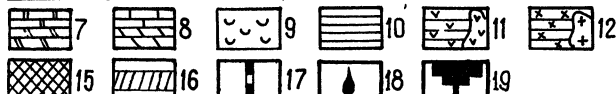


Рис.4. Условия осадконакопления и металлогенеза восточной части Сибирской платформы:

I-12 - породы стратиграфической колонки; 1 - суглинки, 2 - алевриты, 3 - пески, 4 - галечники, 5 - конгломераты, 6 - аргиллиты, алевролиты и песчаники, 7 - доломиты. 8 - мергели. 9 - известняки,

ГЕНЕТИЧЕСКИЕ ТИПЫ	МОРФОЛОГИЧЕСКИЕ И ЛИТОЛОГИЧЕСКИЕ ТИПЫ	ПРАКТИЧЕСКОЕ ЗНАЧЕНИЕ
АЛлювиАЛЬНЫЕ, АЛлюв.-СОЛИФЛЮЦ.	КОСОВЫЕ, РУСЛОВЫЕ, ТЕРРАСОВЫЕ	
АЛлювиАЛЬНЫЕ, АЛлюв.-СОЛИФЛЮЦ.	ТЕРРАСОВЫЕ, ДОЛИННЫЕ	
АЛлювиАЛЬНЫЕ	ТЕРРАСОВЫЕ, ДРЕВНИЕ ДОЛИНЫ	
АЛлювиАЛЬНЫЕ, ЭЛЮВИАЛЬНО-АЛлюв.	ВОДОРАЗДЕЛЬНЫЕ ГАЛЕЧНИКИ	
ЭЛЮВ.-АЛлювиАЛЬНЫЕ, ОЗЁРНЫЕ	ДРЕВНИЕ ДОЛИНЫ, ОСТАТОЧНЫЕ ПОВЕРХНОСТИ	
ЭЛЮВИАЛЬНО-АЛлювиАЛЬНЫЕ АЛлювиАЛЬНО-ОЗЁРНЫЕ	РЕЛИКТЫ ОТМЕРШИХ ДОЛИН, ЭРОЗИОННО-ЛЕНДУАЦИОННЫЕ ОСТАТОЧНЫЕ ПОВЕРХНОСТИ	
АЛлювиАЛЬНЫЕ, АЛлювиАЛЬНО-ОЗЁРНЫЕ	ПЕСКИ, ВНУТРИФОРМАЦИОННЫЕ ГРАВИНИКИ, ГАЛЕЧНИКИ, КОНГЛЮМЕРАТЫ	
АЛлювиАЛЬНО-ОЗЁРНЫЕ, ПРИБР.-ЛАГУН.	ПЕСКИ, ПЕСЧАНИКИ, КОНГЛЮМЕРАТЫ	
ЭЛЮВИАЛЬНО-АЛлювиАЛЬНЫЕ, ОЗЁРНЫЕ	КОНГЛЮМЕРАТЫ	
АЛлювиАЛЬНО-ОЗЁРНЫЕ	ВНУТРИФОРМАЦИОН. КОНГЛЮМЕРАТЫ	
АЛлювиАЛЬНО-ОЗЁРНЫЕ	БАЗАЛЬНЫЕ КОНГЛЮМЕРАТЫ	
АЛлювиАЛЬНЫЕ, ПРИБРЕЖНО-ЛАГУННЫЕ, ДЕЛЬТОВЫЕ	ВНУТРИФОРМАЦИОННЫЕ ПРОСЛОИ ГРАВЕЛИТА	
ПРИБРЕЖНО-МОРСКИЕ	БАЗАЛЬНЫЕ КОНГЛЮМЕРАТЫ	
ПРИБРЕЖНО-МОРСКИЕ	БАЗАЛЬНЫЕ КОНГЛЮМЕРАТЫ	
ПРИБРЕЖНО-МОРСКИЕ	БАЗАЛЬНЫЕ КОНГЛЮМЕРАТЫ	
ПРИБРЕЖНО-МОРСКИЕ, ДЕЛЬТОВЫЕ	КОНГЛЮМЕРАТЫ	
ПРИБРЕЖНО-МОРСКИЕ, ДЕЛЬТОВЫЕ	КОНГЛЮМЕРАТЫ	



ГО - траппии, II - базальтоиды, I2 - гранитоиды; I3-I6 - условия осадкоаккумуляции: I3 - континентальные, I4 - пресноводных бассейнов, лагунные, I5 - прибрежно-морские, I6 - аллювиально-озерные; I7 - масштаб времени, I8 - эпохи рудообразования, I9 - относительная частота встречаемости золота в тех или иных отложениях

Основной распространенной (фоновой) формой золотин на рассматриваемой площади является чешуйчатая. Чешуйчатое золото встречается повсеместно в бассейнах рек Анабар, Оленек, Вилой, Олекма, Алдан, Чара и среднего течения р. Лены. Содержание чешуйчатого золота меняется от 0,9 мг/м³ в голоценовых песках близ г. Якутска до нескольких сотен миллиграммов и в ряде случаев граммов на кубический метр в плейстоценовых галечниках Лено-Вилойского водораздела. На фоне постоянной встречаемости чешуйчатой разновидности металла довольно необычно выглядят шлихи со сковородкообразным и шаровидным золотом.

В настоящее время оно обнаружено на пяти разобщенных площадях – Кенкеме-Чокульской, Кемпендей-Намана-Чыбыдинской, Нийской, Киренской и Анабаро-Оленекской (рис. 3). Часто чешуйчатое, сковородкообразное и шаровидное пустотелое золото встречается совместно. При рассортировке навесок со смешанным металлом на классы – 0,1; -0,16; -0,25; -0,5; -0,75; -1,0 мм и т.д. последние две формы золота встречаются во фракциях менее 0,25 мм, а чешуйчатое золото, которое как бы маскирует деформированное, – в более крупных фракциях. Примерно в количестве 5% к общей навеске золота (чешуйчатого) оно диагностировано нами в коллекции А.И. Кетовой в Кирсановской россыпи (р. Вятка); аналогичное золото описано Н.И. Анисимовым, Е.И. Тищенко, М.Д. Тищенко [1975] в верховьях р. Лены; весьма близко ему, суть по описанию, золото, установленное Б.В. Рыжовым, Л.А. Николаевой, Ю.С. Будилиным, И.П. Ланцевым [1977] на Северном Урале и В.З. Негруца [1973] в восточной части Балтийского щита. Изучение этого золота может осветить некоторые вопросы образования россыпей с весьма мелкими выделениями полезного компонента, а также выявить возможные условия формирования докембрийских золотоносных конгломератов.

Важно различать особенности условий денудации золотосодержащих отложений разного возраста на платформе. Анализ сравнительно позднего этапа ее геологической истории от докембрая до антропогена показывает длительность существования (почти 70% времени этого этапа) морских условий в раннее время и континентальных – в позднее. На рис. 4 по вертикали этот этап осадконакопления построен в масштабе абсолютного геологического времени. При наличии бассейнов существовала и береговая зона, постоянно менявшая границы в зависимости от тектонической обстановки. Вдоль нее на площадях размыва золоторудных источников в раннее время и промежуточных коллекторов в позднее при стечении благоприятных обстоятельств формировались латеральные россыпи. Сравнительно длительное формирова-

ние россыпей в спокойных пляжевых условиях приводило к деформации чешуйчатого золота. Последнее, судя по литературным данным, весьма характерно для метаморфогенных месторождений. По нашим данным, прибрежные россыпи силурийского и ордовикского возраста на рассматриваемой территории показывают сравнительно высокие содержания металла — в пределах нескольких граммов на тонну. Этого количества золота было достаточно для обнаружения деформированного золота в кимберлитовых трубках, прорывающих эти отложения [Избеков, Маршинцев, Шамшина, 1977]. В сравнительно более позднее время в прибрежной зоне денудировались главным образом промежуточные коллекторы золота и кроме того был возможен размыт рудопроявлений мезозойского возраста.

Таким образом, необходимо подчеркнуть, что на многих участках рассматриваемой территории береговая линия существовала неоднократно и в принципе погребенные шельфовые ореолы золота различного возраста возможны на участках размыта рудоносных площадей или промежуточных источников. В дальнейшем вследствие денудации шельфовых металлоносных отложений металл переотлагался в формирующиеся на их месте аллювиальные отложения, сохранив свою уникальную форму, которая может служить четким критерием древних береговых зон.

Список литературы

Анисимов Н.И., Тищенко Е.И., Тищенко М.Д. Дальность сноса и условия накопления золота в аллювиальных отложениях зоны сочленения Сибирской платформы с Байкальской горной областью. — В кн.: Транспортировка полезных ископаемых в россыпях. Якутск, 1975, с.79–80.

Избеков Э.Д. Особенности россыпного золота Вилейской синеклизы и прилегающих районов. — В кн.: Рассыпь золота и их связи с коренными месторождениями Якутии. Якутск, 1972, с.178–199.

Избеков Э.Д. Критерий определения положения древней береговой зоны. — В кн.: Процессы формирования россыпей в береговых зонах древних и современных морей и океанов. Рига, 1977, с.189–191. (Тезисы докладов У Всеобщего совещания по геологии россыпей).

Избеков Э.Д., Маршинцев В.К., Шамшина Э.А. Золото в кимберлитовых трубках Сибирской платформы. Якутск: ЯФ СО АН СССР, 1977, с.25–30.

Михайлов В.А., Гаврильев Н.Н. Роль орогенных комплексов Вилейской синеклизы в золотоносности ее платформенного чехла. — Изв.АН СССР. Сер.геол., 1976, № 12, с.110–118.

Н е г р у ц а В.З. Некоторые закономерности распределения и морфологические типы золота в докембрийских метатерригенных породах восточной части Балтийского щита. - Докл.АН СССР, 1973, т.211, № 1, с.197-200.

П е т р о в с к а я Н.В. Самородное золото. М.: Наука, 1973. 347 с.

Р и ж о в Б.В., Н и к о л а е в а Л.А., Б у д и л и н Ю.С., Ланцев И.П. Типоморфные особенности золота россыпей Северного Урала. - Изв.вузов. Геология и разведка, 1977, № 5, с.72-79.

Т р у ш к о в Ю.Н., И з б е к о в Э.Д., Т и м о ф е е в В.И., Томская А.И. Золотоносность Вилойской синеклизы и ее обрамления. Новосибирск: Наука, 1975. 160 с.

Ш п у н т Б.Р. Генетические типы проявлений золота в северо-западной части Сибирской платформы.-Ученые записки региональной геологии, 1970, вып.18, с.5-14 (Тр.НИИГА).

Я бл о к о в а С.В. О новой морфологической разновидности золота и её происхождении. -Докл.АН СССР. Сер.геол., 1972, т.205, № 4-6, с.936-939.

УДК 553.4II.068.5(57I.56)

А.И.Скрябин

О СВЯЗИ РОССЫПЕЙ ЗОЛОТА С ЭНДОГЕННЫМИ РУДНЫМИ СТОЛБАМИ

Решение практических задач геологии россыпей в значительной мере зависит от разработки вопроса о связи их с источниками питания, который сравнительно удовлетворительно решается на примере богатых россыпей, развитых в долинах низких порядков. Эти россыпи непосредственно связаны с коренными источниками, представленными месторождениями золото-кварцевой формации - участками или рудными столбами эндогенной концентрации (обогащения) металла в них. Последние контролируются главным образом узлами пересечения разноориентированных тектонических нарушений и их изгибами при определенной роли пликативных структур и литологии вмещающих пород.

Менее пригодны для решения подобных задач россыпи в долинах высоких порядков, так как они являются сложными образованиями, часто полигенными, возникшими за счет размыва мелких рассредоточенных коренных источников и промежуточных коллекторов.

Многими исследователями [Крейтер, 1956; Бородаевский, 1960; Смирлин, 1970, 1975; Петровская, 1973; Проблемы..., 1972] отмечается,

что самородки золота наиболее часты в рудных столбах. Так, например, из рудных столбов Кумакского месторождения было извлечено 88 кг металла, Ключенского - около 73 кг, Джатыгорского - 120 кг и др. Таких примеров много.

Важное значение имеет изучение гранулометрического состава золота для определения роли месторождений золото-кварцевой формации в россыпебразовании. В частности, это относится к соотношению субмикроскопического и видимого золота. На месторождениях Яно-Колымского пояса, по В.И.Найгородину [1975], видимое золото резко преобладает над субмикроскопическим. Это соотношение подтверждается материалами автора. Следует однако отметить, что другими исследователями [Фирсов, 1969 и др.] предполагаются обратные соотношения, а также укрупнение золота в россыпях или в подзоне вторичного обогащения кор выветривания [Альбов, 1960, 1972; Нестеров, 1982]. По данным В.И.Найгородина [1975], около 50% общих запасов металла заключено в рудных столбах.

Автор настоящего сообщения под рудными столбами понимает участки рудных тел (или рудных полей), приуроченные к узлам пересечения разрывных нарушений и характеризующиеся повышенным содержанием металла, наличием самородков. Следует однако при этом иметь в виду, что изученность известных рудных тел отвечает в большинстве случаев стадии общих поисков или предварительной разведки. В значительной мере это затрудняет выделение обогащенных металлом рудных столбов. В таких случаях более надежными признаками рудных столбов могут служить находки самородков и видимых выделений золота в участках кварцевых жил и их контроль узлами пересечения разрывных нарушений, а также пространственная связь с ними богатых россыпей или обогащенных их участков, включаяших самородки. Автор, не претендую на полноту раскрытия форм связи россыпей с коренными источниками питания, продолжая и детализируя ранее изложенное представление [Цхурбаев, Скрябин, 1977], считает необходимым обратить внимание геологов на возможную связь богатых россыпей с эндогенными рудными столбами.

Ниже рассмотрим примеры связи россыпей коротких долин с коренными источниками - рудными столбами.

Первый пример раскрывает связь россыпи с коренными источниками золото-шеелит-арсенопиритового типа. Рассыпь была открыта Г.П.Дороненко в 1953 г., а коренные источники позднее изучались В.Д.Николаевым, Ю.Г.Толпегиным и др. Автор сообщения проводил полевые исследования рудно-россыпного узла в 1959-1961 гг., результаты которых по условиям формирования и связи россыпей с источниками питания частично опубликованы [Скрябин, 1972, 1975].

По времени и условиям образования россыпь подразделяется на две части: раннечетвертичную на водоразделе и голоценовую в современной долине. Водораздельная россыпь аллювиально-аллювиального генезиса, несмотря на свои ограниченные размеры и глубокое залегание (до 30 м) золотоносного пласта, выделяется своей продуктивностью, крупным металлом и самородками.

Коренные источники россыпи расположены на склоне древней долины и, что очень важно, в коренном плотике. Они представлены кварцевыми минерализованными зонами дробления, жилами и прожилками, образующими три жильные свиты. Крутопадающие рудные тела пересекают песчаники и песчано-глинистые сланцы, иногда следуют по их напластованию.

Жильные свиты и кварцевые жилы контролируются узлами пересечения продольных северо-западных нарушений с поперечными северо-восточными. Обогащенные участки рудных тел содержат видимые выделения золота — самородки, которые могут рассматриваться как признаки проявления рудных столбов. В пределах жильных свит обогащенные участки рудных тел и видимые выделения золота фиксируются вблизи поперечных разрывных нарушений на участках сопряжения нескольких жил или на суженной части рудного тела (рисунок, а).

Так, например, в головке россыпи на плотике вскрыта жильная свита северо-западного простирания, характеризующаяся обогащенностью металлом, в том числе видимым, основной жилы на участке ее сужения. Здесь кварц полосчатый, мелкокристаллический, содержит примесь сульфидов. Золото образует комковидные, неправильные и жилковидно-пластинчатые зерна, часто приуроченные к полоскам углистого вещества и межзерновым пустоткам в кварце. Соотношение фракций в рудной протоличке массой 535 мг: крупная (2–4 мм) — 21%, средняя (1–2 мм) — 35, мелкая (0,1–1 мм) — 40%, показывает, что основное количество металла представлено россыпебобразующими фракциями.

По минеральному составу многие коренные источники этой россыпи сходны между собой и содержат арсенопирит, галенит, редко шеелит, карбонаты, скородит и лимонит, составляющие в совокупности не более 1%. Золото представлено комковидными, жилковидно-пластинчатыми, неправильными и дендритовидными зернами размером 1–3 мм; ассоциирует часто с галенитом, арсенопиритом и карбонатами. Эти данные несомненно указывают на эндогенную природу его образования.

Водораздельная долина сформировалась в доледниковое время, была проложена вдоль серии разрывных нарушений северо-западного направления. Восточное продолжение долины в результате неотектонического

опускания по поперечным нарушениям было глубоко погребено под рыхлыми отложениями.

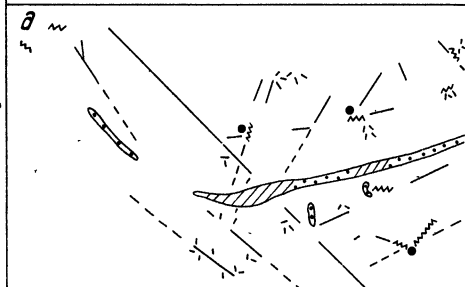
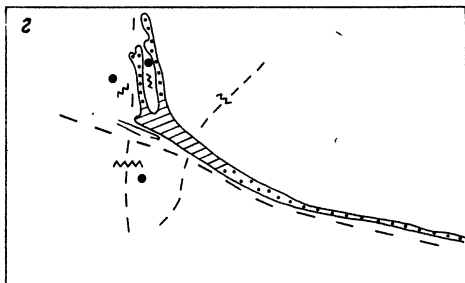
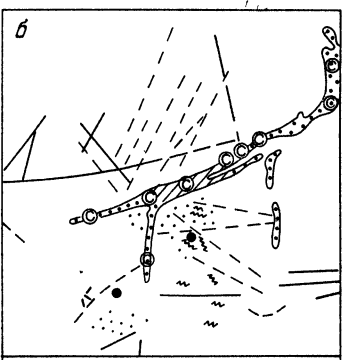
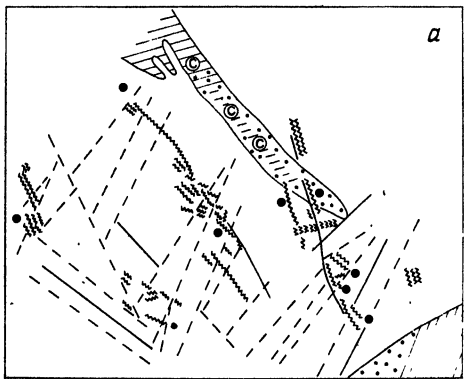
Образование раннечетвертичной россыпи на водоразделе происходило при врезе древней гидросети на глубину 100-150 м, в результате чего разрушались коренные источники - жильные свиты с рудными столбами, остатки которых мы видим сейчас на склонах и в плотике россыпи. В склоновых отложениях отмечена слабая золотоносность.

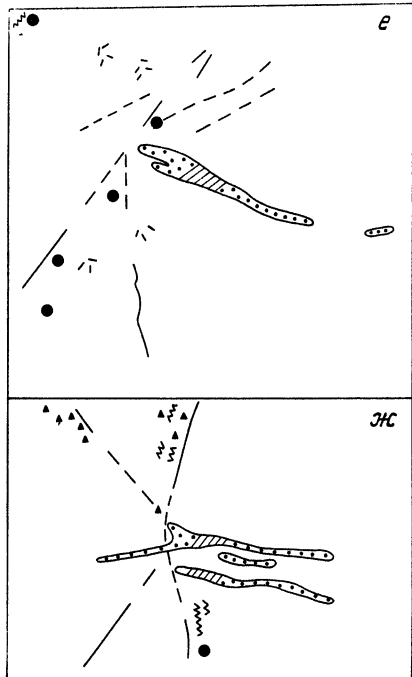
Для описываемой россыпи характерно следующее распределение отдельных фракций: крупная (6 мм) - 35%, средняя (2-6 мм) - 45, мелкая (2 мм) - 19%. Средняя крупность 5,75 мм. Из соотношения фракций видно, что роль мелкой фракции металла в россыпи незначительна. Некоторые из множества самородков, обнаруженных в процессе разведочных работ, достигали по диаметру 25 мм, а по массе - десятков граммов. Данный участок характеризуется металлом преимущественно в форме неправильных и в меньшей степени дендритовидных зерен. Многие зерна имеют субрудный облик, содержат значительное количество кварца. В дендритовидных золотинах отмечались включения арсенопирита и других минералов. Пробность россыпного золота (841-874) существенно не отличается от рудного (803-870).

В нижнем правом углу схемы (рисунок, а) показана головка более молодой верхнечетвертичной россыпи, отличающейся тем, что продуктивный ее пласт залегает на "ложном" плотике. Формирование ее происходило в условиях неотектонического погружения. Она имеет отчетливую связь с жильной свитой, вскрытой на плотике древней россыпи. При этом продолжение жильной свиты занимает уже секущее положение по отношению к простиранию золотоносной струи, наиболее обогащенный участок которой удален на сотни метров (до 600) от источников питания. Головка россыпи отличается преобладанием металла субрудного облика, содержащего вrostки кварца.

Таким образом, формирование богатых россыпей в данном рудно-россыпном узле в значительной мере было определено наличием эндогенных рудных столбов - обогащенных участков рудных тел (жильных свит).

Вторая россыпь также имеет связь с источниками питания аналогичного минерального состава. Она была открыта еще в 1942 г., а её коренные источники стали известны с 1945 г. Некоторые уточнения по структуре рудного поля были получены нами при маршрутных исследованиях 1958 г. и 1974 г. В частности, было подтверждено предположение о присутствии на глубине невскрытого массива, выраженного ореолом контактово-метаморфизованных пород, - песчаников и алевропелитов.





- | | | | | |
|---|---|---|---|----|
| 1 | 2 | 3 | 4 | 5 |
| 6 | 7 | 8 | 9 | 10 |

Схемы связей обогащенных участков россыпей и их коренных источников с узлами пересечения разрывных нарушений (рудных столбов):

1-2 - разрывные нарушения (1 - установленные, 2 - предполагаемые); 3 - кварцевые жилы и их развали; 4 - участки крупного золота в кварцевых жилах или развалиах; 5 - контуры россыпи; 6 - обогащенные участки россыпи; 7 - места находок россыпных самородков; 8 - участки пиритизации; 9 - дайки гранитоидов; 10 - участки ороговикования

Коренные источники - крутопадающие полосчатые кварцевые жилы и прожилки с видимым золотом установлены в самом русле и на склонах, непосредственно над обогащенным участком россыпи (рисунок, б). Обогащенный участок одной из жил приурочен к пересечениям минерализованных зон дробления. При механическом дроблении небольшого количества полосчатого кварца было извлечено 462 мг металла. Ситовой анализ его показал следующее соотношение фракций: крупнее (2 мм) - 45%, в пределах 0,25-1 мм - 42 и 0,1-0,25 мм - 5,6 и мельче (0,1мм) - 5,9%, т.е. господствующее положение видимых выделений металла.

На левом склоне верхнего правого притока долины кварцевый прожилок содержал достаточно крупные выделения золота. В непосредственной близости от этого участка в данной долине ранее был обнаружен самородок.

Россыпь размещается в долине низкого порядка, где для образования ее благоприятным оказалось пересечение долиной участка интенсивной минерализации с зонами дробления, жилами и прожилками. Часть рудных тел на склоне прослежена горными выработками. Особого внимания

ния заслуживает богатый средний участок, расположенный между двумя боковыми притоками и совпадающий с участком интенсивной минерализации. Концентрация металла здесь происходила при значительной (до 400 м) глубине вертикального вреза долины. Средняя крупность золотин 5,15 мм. Пробность россыпного золота 880–900, рудного – 889.

Этот обогащенный участок наиболее богат крупными самородками, составляющими вместе с крупными фракциями 17–30% проситованного золота. Наиболее из них был обнаружен по линии I2 в сотнях метрах от золотоносных жил, расположенных на склонах и в русле ручья. Масса самородка в срастании с кварцем составляла 4977 г, а без кварца – 3894 г. Пробность его (865) почти не отличается от пробности рудного золота (889). Несколько ниже и выше от места находки были найдены другие килограммовые самородки.

Для образования россыпей благоприятны также коренные источники золото-арсенопирит-пиритового типа. Ниже на двух примерах рассмотрим структурное положение подобных россыпей. Описываемые россыпи известны давно, но геолого-структурные особенности их уточнились работами последних лет. На рисунке (в) показан участок с несколькими россыпями, расположение которых контролируется пересечениями северо-западных нарушений с северо-восточными. К пересечениям приурочены кварцевые жилы и минерализованные зоны дробления с примесью арсенопирита, галенита, пирита и видимого золота. Долина, в которой выявлена россыпь, протягивается вдоль минерализованных зон дробления, включающих множество кварцевых жил. В плотике одного из обогащенных участков россыпи нами задокументированы небольшие кварцевые жилы с арсенопиритом и скородитом, которые являлись одним из источников питания. Рассыпное золото в целом однотипное, средняя крупность около 5 мм, средняя пробность 884. Имеются самородки, масса которых колеблется от десятков граммов до первых килограммов.

Другая россыпь находится в зрелой долине трапециевидной формы, развитой вдоль минерализованной зоны дробления, как это предполагал Е.П.Даниловский (рисунок, г). Но наиболее благоприятной для россыпнеобразования была верхняя часть долины, где водотоки размывали осевую часть брахиантиклинальной складки с повышенной трещиноватостью, седловидными кварцевыми жилами и прожилками, приуроченными к узлам сопряжения разрывных нарушений, пересекаемых долинами.

Основные коренные источники россыпей – кварцевые жилы и прожилки наблюдаются на склонах и плотике. Главный рудный минерал в них – арсенопирит, редко встречаются блеклые руды и крупные выделения золота с пробностью от 865 до 931. По минеральному составу они могут

быть отнесены к золото-арсенопирит-пиризовому и частично золото-сульфоантимонитовому типам. Форма и размер видимых золотин весьма разнообразны: жилковидно-пластинчатая (от 0,1 до 3 мм), пластинчато-чешуйчатая (до 10 мм), дендритовидная (0,5–5 мм) и кристаллографическая (до 9 мм в поперечнике).

Более обогащенные металлом участки, по данным Е.В.Троицкой, приурочены к висячему боку седловидных жил, развитых в сильнотрещиноватых частях свода брахиантиклинали. Эти данные еще раз доказывают правомерность вывода М.Н.Альбова [1972] о локализации первичных рудных столбов в сводах антиклинальных структур.

Россыпь начинается непосредственно с перечисленных размытых коренных источников. Перемещение основной массы металла вниз по россыпи составляет 200–400 м [Скрябин, 1972]. Золото россыпи крупное (1,5–2,18 мм), средняя пробность 923. В головке россыпи непосредственно над и вблизи кварцевых жил преобладает неокатанное золото.

Следующие ниже примеры относятся к россыпям коротких водотоков, коренные источники которых относятся к золото-сульфоантимонитовому типу золото-кварцевой формации (рисунок, д, е, ж). На рисунке (д) показана россыпь, коренные источники которой известны и сохранились на водоразделах и склонах. По наличию минералов сульфоантимонитов, галенита и высокой пробности золота (921–973) кварцевые жилы относятся к золото-сульфоантимонитовому типу. В кварце нередки видимые выделения металла, в одном случае масса его составляет 9 г. Судя по рисунку (д) и полевым наблюдениям, можно отметить, что места частых находок крупного золота приурочены к участкам сопряжения разрывных нарушений, выделенных В.Г.Владимировым в 1974 г., представляющим первичные рудные столбы. Головка основной россыпи, где и выявлена ее обогащенная часть, приурочена к пересечению продольных и поперечных по отношению к долине минерализованных зон дробления. Образование россыпи в долине происходило при галом (сотни метров) смещении металла вниз по течению [Скрябин, 1972]. Пробность россыпного золота в общем соответствует пробности рудного, имея среднее значение 931–940. Средняя крупность золота основной россыпи 2,41 мм, россыпи левого водотока 3,6 мм. Последняя тяготеет к участку сгущения серии разрывных нарушений. Наибольшая крупность золотин 6–14 мм.

Следующий пример – пойменная россыпь, выявленная в верхней части долины. Обогащенный участок россыпи удален на 200–400 м от источников питания [Скрябин, 1975]. Коренные источники представлены кварцевыми жилами, залегающими в минерализованной зоне дробления, пересекающей поперек долину. Показанные на рисунке (е) находки видимых

выделений металла в кварце объясняются нами приуроченностью участка к благоприятным геологическим структурам. Средняя крупность россыпного металла 3,2 мм, по составу оно высокопробное (914–941).

Последняя схема (рисунок, ж) иллюстрирует приуроченность головки двух золотоносных струй (террасовых и пойменных) к участку пересечения минерализованных зон дробления, характеризующемуся интенсивным освещением, окварцеванием и пиритизацией песчано-сланцевых пород. Четковидные кварцевые жилы в них по аналогии с вышеописанным рудоизвлечением могут быть отнесены к золото-сульфоантимонитовому типу. Непосредственно над головкой россыпи в высыпках кварца на склоне нами обнаружены золотины размером 1–2 мм.

Основная масса россыпного золота концентрировалась в рыхлых отложениях на расстоянии 200–300 м от коренных источников [Скрибин, 1975]. О связи россыпи с указанным минеральным типом коренных источников свидетельствует, наряду со шлиховым составом минералов, исключительно высокопробный (964–985) состав золота, а также некоторое уменьшение его крупности (средняя 1,48 – 2,13 мм), причем выход фракции +4,0 составляет всего 8%. Россыпь начинается с расширенного участка долины, ширина которой не соответствует мощности современного водотока.

Из приведенных выше примеров следует, что наблюдаемое обогащение двух россыпей в устьевых частях боковых водотоков, нередко характеризуемых и крупным металлом, в том числе и самородками, является результатом размыва структур, благоприятных для формирования эндогенных рудных столбов. Даже в долинах коротких (1–3 км) водотоков, в верхних частях наблюдается значительное их расширение, несоразмерное с длиной, как следствие расположения нескольких водотоков вдоль минерализованных зон дробления, т.е. расширение долин происходит на участках сопряжения секущих нарушений. В таких расширениях долин нередки случаи выявления головки россыпи и обогащенных ее участков, что объясняется структурными условиями, благоприятными для формирования рудных столбов и проявления эрозионной деятельности.

В рассматриваемых нами рудно-россыпных полях находки видимых выделений золота в жильном кварце наиболее часто наблюдались на участках пересечения разрывных нарушений, содержащих кварцевые жилы. С этими участками связаны богатые россыпи, содержащие самородки. В прилегающих к этим участкам частях россыпи количественная доля крупных (+4 мм) фракций и самородков увеличивается до 50%. Во многих рудно-россыпных узлах среди десятков россыпных месторождений наиболее богатыми являются одна или две россыпи, отличающиеся от осталь-

ных тем, что коренные источники содержат большой процент крупных (+6 мм) золотин и множество самородков. Крупные золотины в полосчатых кварцевых жилах приурочены к трещинам, межзерновым пустотам, углистым прослойкам и скоплениям сульфидов, образуют пластинчатые, жилковидно-пластинчатые и комковидные формы, реже хорошо образованные кристаллы.

Часть самородков в россыпях пояса содержит вrostки кварца, редко сульфидов. Россыпи включают также зерна и агрегаты арсенопирита, шеелита, халькопирита, блеклых руд, антимонита и других, легкоокисляемых в зоне гипергенеза минералов. Сохранность ассоциации самородного золота с сульфидами как в кварцевых жилах, так и в россыпях свидетельствует, видимо, о слабом проявлении в коренных источниках процессов гипергенеза и преобразования эндогенного золота.

Таким образом, изложенный материал позволяет сделать следующие выводы:

1. В коренных источниках россыпей крупность золота в общем случае зависит от их формационной принадлежности и других факторов, но в пределах месторождений и рудных тел она может заметно увеличиваться в рудных столбах эндогенного происхождения. На это указывают давно установленное весьма неравномерное распределение металла и частая приуроченность крупных его выделений к местам пересечения разрывных нарушений. Это может служить рабочей гипотезой при полевых наблюдениях и прогнозной оценке золоторудных проявлений Яно-Колымского пояса, а также при оценке роли последних в россыпнеобразовании.

2. Многие аллювиальные россыпи золота сформировались при размыве эндогенных рудных столбов, приуроченных к благоприятным структурам – пересечениям серии разрывных нарушений, обогащенным крупными выделениями самородного металла.

3. Для постановки поисковых работ на россыпное золото первоочередными являются такие участки, которые приурочены к пересечениям серии локальных разрывных нарушений.

4. Отмеченные структурные признаки локализации эндогенных рудных столбов будут иметь более эффективное поисковое значение, если удачно сочетать их с геологическими, геоморфологическими и минералогическими критериями.

Список литературы

Альбов М.Н. Вторичная зональность золоторудных месторождений Урала. М.: Госгеотехиздат, 1960. 215 с.

Альбов М.Н. Закономерности распределения золотого орудене-

ния в жильных месторождениях. - В кн.: Проблемы образования рудных столбов. Новосибирск: Наука, 1972, с.55-81.

Б о р о д а е в с к и й Н.И. Материалы по методам изучения и геологической перспективной оценке месторождений золота. М., 1960. 417 с. (Тр.ЦНИГРИ, вып.35).

К р е й т е р В.М. Структуры рудных полей и месторождений. М.: Госгеолтехиздат. 1956. 272 с.

Н а й б о р о д и н В.И. О некоторых "экстраполированных" ошибках и фактических данных в проблеме тонкодисперсного золота. - Колыма, 1975, № 4, с.45-48.

Н е с т е р о в Н.В. Зоны гипергенного обогащения руд золота и их значение для развития золотодобывающей промышленности. - Геология и геофизика, 1982, № 12, с.55-64.

П е т р о в с к а я Н.В. Самородное золото. М.: Наука, 1973. 347 с.

П р о б л е м ы образования рудных столбов. Новосибирск: Наука, 1972, 436 с.

С м о л и н А.П. Самородки золота Урала. М.: Недра, 1970.144 с.

С м о л и н А.П. Структурная документация золоторудных месторождений. М.: Недра, 1975. 238 с.

С к р я б и н А.И. Связь золотоносных россыпей с коренными источниками в Тарыно-Эльгинской зоне. - В кн.: Рассыпи золота и связь с коренными месторождениями в Якутии. Якутск, 1972, с.46-103.

С к р я б и н А.И. Оценка дальности переноса золота в россыпях, коренные источники которых расположены вкрест простирания долин.- В кн.: Поиски и опыт реконструкции коренных источников золота по разведанным россыпям. Якутск: ЯФ СО АН СССР, 1975, с.120-148.

Ф и р с о в Л.В. О некоторых фактических и экстраполированных закономерностях гранулярного состава золота Яно-Колымского пояса. Геология и геофизика, 1969, № II, с.44-54.

Ц х у р б а е в Ф.И., С к р я б и н А.И. О продуктивности золотоносных долин разных порядков в Восточной Якутии. - В кн.: Экономические особенности подготовки сырьевой базы промышленности Якутской АССР. Якутск: ЯФ СО АН СССР, 1977, с.38-45.

О СУБАВТОХОННОСТИ РОССЫПНОГО ЗОЛОТА
ВИЛЮЙСКОЙ СИНКЛИЗЫ

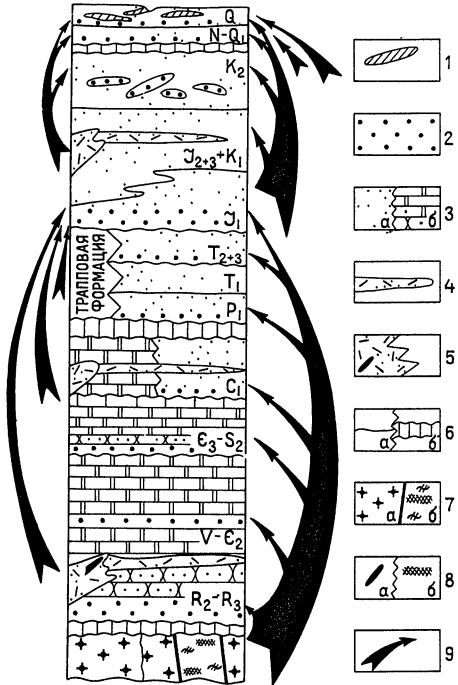
При составлении долгосрочных планов освоения минеральных ресурсов Якутии необходимо учитывать наличие антропогеновых россыпей проявлений комплексного состава на территории Вилуйской синеклизы [Михайлов, 1980]. Они географически приурочены к легкодоступным и экономически освоенным районам Центральной Якутии. Рост технической оснащенности добывающих предприятий, совершенствование технологии извлечения мелких полезных компонентов несомненно будут способствовать вовлечению россыпей с мелким и тонким золотом в промышленное освоение [Биланенко и др., 1977].

На основании геолого-литологических исследований металлоносности бассейна р. Вилуй сотрудниками лаборатории генезиса россыпей Института геологии ЯФ СО АН СССР сделан вывод о наличии промежуточных коллекторов золота и разработана модель эволюции россыпей Вилуйской синеклизы по следующей схеме: коренные источники – промежуточные коллекторы – антропогенные комплексные россыпи (рисунок). В этой системе наиболее слабо освещен вопрос о наличии и характере местных источников россыпного золота. В то же время его решение имеет особо важное значение для обоснования самостоятельности и оценки практической ценности Вилуйской металлоносной провинции.

Основные факторы, контролирующие формирование, локализацию и размещение золотого оруденения, разработаны В.М.Крейтером, В.И.Смирновым, В.В.Аристовым и др. Поисковые критерии рудных месторождений золота обоснованы в трудах Ю.А.Билибина, Н.В.Петровской, С.Д.Шера, И.С.Рожкова, Н.А.Шило и т.д.

Применительно к золоторудным месторождениям главные поисковые геологические критерии (предпосылки) и признаки, подразделяемые на региональные, локальные и прямые, для Восточной Якутии рассмотрены Г.Н.Шаровым [1977], а для Южной Якутии – Н.В.Нестеровым, А.Я.Кочетковым [1976], А.Я.Кочетковым и др. [1979]. В Западной Якутии, где выделяется самостоятельная Вилуйская металлоносная провинция, основные рудоконтролирующие факторы золотого оруденения еще достаточно не обоснованы.

В данной статье рассматриваются некоторые локальные и региональные критерии (предпосылки) поисков коренных источников золота на



Принципиальная схема формирования металлоносных отложений Вилойской синеклизы:

1 - комплексные россыпь-проявления; 2 - промежуточные коллекторы; 3 - отложения платформенного чехла:
а - пески, песчаники, б - терригенно-карбонатные; 4 - вулканогенно-осадочные; 5 - проявления активизации (неоактивизации); 6 - стратиграфические: а - границы, б - перерывы; 7 - доплатформенное основание: а - архейский кристаллический фундамент, б - орогенные комплексы; 8 - возможные рудопроявления: а - областей активизации; б - доплатформенного основания; 9 - пути поступления полезных компонентов

территории Вилойской синеклизы, возможно, новых типов, характерных для древних платформ, областей тектонической активизации и т.д.

Локальные критерии

Под локальными критериями нами подразумеваются предпосылки, касающиеся основных типоморфных характеристик металла, их изменения в экзогенной среде и особенности распределения кластогенного золота и минералов-спутников в промежуточных коллекторах и кайнозойских россыпях среднего течения р. Вилой. По Э.Д. Избекову [1980], в отдельных случаях они могут отвечать прямым поисковым признакам для коренных источников.

Морфология, крупность и пробность самородного золота платформенного чехла Вилойской синеклизы изучались В.И. Тимофеевым [1966] и Э.Д. Избековым [1972] (табл. I). Основная масса россыпного золота (85-95%) Вилойской синеклизы представлена чешуйчатыми и пластинчатыми зернами (вилойский тип) мелкого и тонкого металла высокой пробы (925-975). За счет золо-

Таблица I
Характеристика россыпного золота Вилюйской синеклизы (по Э.Д.Избекову
[Грушков и др., 1975])

Тип и имеющаяся толщина (конгломерат)	Форма	Пробо- ность	Преобразующий размер, мм	Расстояние от корнища или проме- жуточного кол- лектора, км	Обработан- ность	Необработанное
Бидигэс-хайский (конгломерат)	Иллювийчатая, депонитовидная, изометрическая	Свыше 900	+0,1–0,16	0–десятки		
Вилюйский (галечники, гравийники и т. д.)	Цепуйчатая	910–980	+0,1–0,5	0–десятки, реже сотни	От необработан- ного до весьма обработанного	
Баатинский (галечни- ки, песок с гравием)	Сквозиродкообраз- ная	958 (средняя)	+0,1–0,25	10–сотни	Очично обрабо- танное	
Чокульский (галечни- ки, песок с гравием)	Шаровидная (средняя)	964	+0,1–0,16	Первые сотни	То же	
Коелихский (галеч- ники)	Пластиничатая, комковидная	879	+0,5–2,0	0–десятки	От необработан- ного до весьма обработанного	
Курганахский (галеч- ники, песчано-глы- нистые отложения)	Цепуйчатая, пластиничатая, губчатая, дендритовидная	846–960	+0,1–2 до 7	0–десятки, реже сотни	То же	

тин вилюйского типа в ходе осадочной дифференциации в разные эпохи корообразования и переотложения в прибрежно-морских условиях возникли баагинский (сковородкообразный) и чокульский (шаровидный) типы россыпного золота. Внутренняя структура вновь образованных типов золота свидетельствует о значительной степени перекристаллизации.

Для сравнения россыпного золота Вилюйской синеклизы и областей ее обрамления рассмотрим некоторые данные по кластогенному металлу Центрально-Алданского золотоносного района и Ленской провинции.

По данным И.П.Лика [1980], в золотоносных россыпях Центрального Алдана основная масса золота представлена фракциями 2-1,0 мм, 1,0-0,5 и 0,5-0,25 мм. Следует особо подчеркнуть, что мелкое золото россыпей, приуроченных к положительным морфоструктурам, видимо, далеко не вынесено, о чем свидетельствует их значительное количество. Так, в россыпях Центрального горста и Верхнеспелигдарского водового поднятия мелкое золото (1-0,1 мм) составляет 50-70%. Пробность золота алданских россыпей колеблется в широких пределах от 800 до 970. В целом, по сравнению с россыпным золотом Вилюйской синеклизы, самородный металл Центрального Алдана гораздо крупнее, и, что особенно важно, относительно слабо отсортирован по крупности.

Значительно отличается от вилюйского россыпное золото Байкало-Патомской области, хотя до сих пор существует мнение, что вилюйское мелкое золото вынесено из Ленской провинции. Крупность и пробность золота Ленской провинции рассматривались в работах Л.А.Николаевой [1960, 1961], А.В.Поляницына [1969], В.П.Самусикова [1975]. Ленское золото отличается большим разнообразием по пробности и относительно более крупным размером, чем вилюйское. Вилюйскому золоту по пробности наиболее близко соответствует лишь золото мараканской генетической разновидности (930-960), но по размеру оно приблизительно на один порядок крупнее. По данным А.В.Поляницына [1969], средний размер россыпного золота Ленской провинции составляет 3,39 мм. Это почти не транспортируемое золото, о чем свидетельствуют следующие факты.

Во-первых, основная золотоносная территория Патомского нагорья приурочена к внутренней Бодайбинской впадине, которая полукольцом окаймляется приподнятой зоной, включающей Тондоское и Лонгдорское поднятие. Последние на большом протяжении отделяются от Приленской плоской возвышенности отчетливо выраженным уступом высотой 200-300 м в предгорной области [Казакевич, Ревердатто, 1972]. Во-вторых, в свою очередь, Бодайбинский синклиниорий состоит из антиклинальных и синклинальных зон, разбитых на блоки. И мелкое золото россыпей

Ленской провинции, питающихся в основном за счет сульфидизированных зон, не перемещено на значительные расстояния даже в пределах соседних приподнятых и опущенных зон, испытавших интенсивные неотектонические движения в эоплейстоцене. Так, например, в Маракано-Тунгусской синклинальной зоне россыпного золота размером менее 1,0 мм содержится в восемь раз меньше, чем в прилегающей Кадаликанской антиклинали, т.е. мелкое золото не выносились из приподнятой зоны [Тищенко, Коткин, Артамонов, 1969].

Таким образом, в близлежащих к Вилойской синеклизе основных золотоносных районах (Центрально-Алданском и Ленском) мелкое и весьма мелкое золото далеко не выносились и в основном аккумулировалось вблизи источников питания – в депрессиях, например, в таких, как Куранахская впадина. Отсутствие золота отдаленных провинций в вилойских россыпях подтверждается различием в составе и содержаниях элементов-примесей в золоте из всех трех районов.

Транспортируемость мелкого золота. В последние годы достаточно четко установлено, что подавляющее количество россыпного золота (75-90%) размером более 2,0 мм в четвертичных и современных россыпях аллювиального генезиса главным образом в складчатых областях (Восточная Якутия, Чукотка, Урал и т.д.) перемещается от первых сотен метров до 5 км. Дальность переноса значительной части мелкого золота (в основном класса 0,25+0,1 мм) составляет 10-12 км [Дальность переноса..., 1977; Перемещение..., 1977]. Ю.Н. Трушков и др. [1975] подчеркивали, что при формировании современных россыпей через промежуточные коллекторы в бассейне р. Вилой дальность переноса кластогенного золота составляет в среднем 20-30 км.

При изучении путей предполагаемого сноса обломочного материала и кластогенного золота с Патомского нагорья в Вилойскую синеклизу (бассейны рек Джерба, Нурчуку и Намана) Э.Д. Избековым установлено, что содержания золота увеличиваются в направлении от р. Лены к р. Вилой; крупность, морфология и обработанность самородного золота при этом зависят от местных источников питания.

Типы концентраций россыпного золота. Поисково-разведочные работы Амакинской экспедиции показали [Трушков и др., 1975], что в бассейнах рек Далыгыр, Тонгую, Чыбыда чаще всего присутствуют плотиковые концентрации. Со слов местного жителя Г.С. Мачахтырова для добычи металла в долине Далыгыра старатель проходили наклонные шахты до плотика. Поэтому есть основания предполагать приуроченность основной массы золота к нижним горизонтам аллювия. Как считает большинство исследователей [Билибин, 1955;

Карташов, 1972] пластовые россыпи всегда располагаются вблизи источников питания (в том числе и промежуточных коллекторов) или даже непосредственно на них [Обручев, 1961; Петров, 1976].

Типичные косовые ("оторванные") россыпи золота (в понимании Ю.А.Билибина) в бассейне р. Вилкой также широко распространены. Металлоносные полигоны и объекты здесь могут быть типизированы по геолого-геоморфологическому признаку - береговые намывные косы (Черкес, Поднамская), бичевники (Усун-Кюель, Усть-Тюян), намывные острова (острова вблизи Тао-Юряха, Усть-Тюяна), осередковые косы на островах (Салга-арыта, Сата-арыта) и т.д.

Региональные критерии

Геологические структурные критерии. Согласно современным геологическим представлениям, Вилкойской синеклизы имеет блоковое и гетерогенное доплатформенное основание [Мокшанцев и др., 1975; Михайлов и др., 1974, 1976, 1980], которое сложено в основном породами орогенного структурного этажа (AR_3-PR_1). Наиболее крупный Сунтарский блоковый выступ, представляющий собой основной предполагаемый источник золота в терригенных отложениях позднего палеозоя и мезозоя, находится в зоне пересечения Байкало-Верхоянского и Анабаро-Алданского поясов глубинных разломов. При инверсионных подвижках блоковых выступов, главным образом, Сунтарского (Харьялахская площадь), и видимо, Якутского, в разное время, особенно в рифее, вскрывались и размывались слабометаморфизованные комплексы орогенного структурного этажа. Последний этап размыва совпал по времени с ранним карбоном - ранней крой. За это время процессы эрозии переработали, по-видимому, значительный объем древних золотоносных толщ.

Геофизические критерии. Геофизические исследования также свидетельствуют, что в пределах Вилкойской синеклизы имеются благоприятные стратиграфические уровни, структуры и зоны для локализации золоторудных проявлений.

По последним данным Д.В.Аброскина и Ю.Х.Протопопова, блоковое строение фундамента и зоны глубинных разломов Вилкойской синеклизы подтверждается характером гравитационного поля [Алексеев и др., 1982]. Зоны глубинных разломов и разрывных нарушений между блоками могли служить каналами для поступления рудоносных растворов. Согласно среднемасштабным аэромагнитным и гравитационным съемкам, на территории Вилкойской синеклизы имеются невскрытые тела типа щелочных и основных пород. Наличие изверженных пород мезозойского воз-

растя непосредственно на территории Лено-Вилкойского водораздела установлено Э.Д.Избековым и др. [1977].

Палеогеоморфологические критерии. Массовому привносу кластогенного золота со стороны Патомского нагорья и Алданского щита противоречат сохранность в этих регионах остаточных кор химического выветривания мезозойского и кайнозойского возраста, а также интенсивное карстообразование на путях транспортировки обломочного материала.

По мнению Ю.П.Казакевич и М.В.Ревердатто [1972], сохранность кор глубокого химического выветривания мезозойского и третичного возраста в пределах Патомского нагорья свидетельствует, что в юрское и третичное время на данной территории преобладал слаборасчлененный рельеф низкогорной страны. Интенсивное воздымание Байкало-Патомской области началось лишь в конце эоплейстоцена - раннем плеистоцене, когда она начала приобретать черты современной горной страны. При этом особо следует отметить, что "водораздельные галечники" и аллювиальные образования У и УІ террас неоген-раннечетвертичного возраста среднего течения р.Вилкой золотоносны, а одновозрастные с ними красноцветные отложения в центральной части Байкало-Патомского нагорья (реки Витим, Хомолко и др.) не золотоносны [Казакевич, Ревердатто, 1972]. Это свидетельствует о том, что в неоген-раннечетвертичное время на территории Патомского нагорья, по-видимому, эрозионным срезом еще не были вскрыты россыпьобразующие золоторудные формации.

На путях сноса с Патомского нагорья и Центрального Алдана в раннеюрское и неоген-раннечетвертичное время существовал карстовый барьер (котловины, депрессии, пещеры и др.), развитый на карбонатных толщах палеозоя и рифея [Родионов, 1973; Шофман, 1977; Казаринов, 1967; Разин, Рожков, 1966]. Карстовые полости являлись "улавливателями" для дисперсного, тонкого и, естественно, для более крупного кластогенного золота, которое поступало из области денудации, и это препятствовало выносу самородного металла в отдаленные области аккумуляции, например, в Вильйскую синеклизу. Об этом свидетельствуют данные Н.Г.Родионова [1973] о золотоносности СреднегоПриленья. Этот исследователь придает решающее значение карстовым полостям как "аккумуляторам" древних галечников, в составе которых участвуют обломки пород "патомского" комплекса. На основании этих данных можно сделать вывод, что подавляющая масса золота в кайнозое, поступившая со стороны Байкало-Патомского нагорья, видимо, аккумулировалась вблизи области сноса, т.е.на карбонатном карстовом барьере.

Литологоминералогические критерии основываются на изучении терригенных компонентов осадочных продуктивных толщ, типоморфных особенностей полезных компонентов и их минералов-спутников. При этом применяется принцип преемственности и унаследованности терригенных компонентов (псебитовый материал, аллотигенные акцессории тяжелых фракций и т.д.) осадочных комплексов от состава питающих петрографических провинций [Батурин, 1947; Мильнер, 1968].

Состав грубообломочного материала. В пределах Вилойской синеклизы и ее обрамления широко распространена "экзотическая группа" псевдитового материала [Михайлов и др., 1974, 1976]; участки его распространения удалены от "вероятных" областей сноса (Байкало-Патомское нагорье, Становая складчатая область) на 300–500 км.

Здесь уместно заметить, что гранитные гальки в реках горных областей Киргизии истираются уже на расстоянии 30–40 км от интрузий [Смирнов, 1941], а гальки полуокисленных сульфидных руд – на удалении 3,5–7 км. В.И.Красников [1957] также указывает, что рудные гальки прослеживаются на расстоянии не более 7–10 км от места нахождения рудных тел.

Если учесть существование равнинных условий переноса грубообломочного материала на территории Вилойской синеклизы, то можно допустить, что галечный материал изверженных, эфузивных и метаморфических пород здесь отделяется от источника сноса не дальше, чем на 100 км, причем это расстояние преодолевается при неоднократном переотложении. Поэтому при широком распространении на территории "экзотического обломочного материала" наиболее вероятными областями сноса могли служить ныне погребенные в пределах синеклизы блоковые выступы, главным образом, Якутский и Сунтарский.

Минералогический состав. По составу и распространению терригенных акцессориев в промежуточных коллекторах золота верхнего палеозоя, мезозоя и кайнозоя выделены северо-западная Вилойско-Тунгская (эпидот-ильменит-ротовообманковая) и южная Якутско-Синская (циркон-гранатовая с дистеном и ставролитом) терригенно-минералогические провинции [Коссовская, 1962]. Изучение акцессориев разрезов верхнего палеозоя и мезозоя по склонам Сунтарского поднятия и Халчагайского мегавала позволило выделить автору Сунтарскую терригенно-минералогическую провинцию и Халчагайскую терригенно-минералогическую подпровинцию. Эти провинции имеют черты унаследованности вещественного состава пород блоковых выступов фундамента Вилойской синеклизы [Алексеев, Михайлов, 1973].

Характерно, что промежуточные коллекторы золота (Pz_3-Kz) содержат вилойский метаморфический комплекс акцессориев (В М К А): хлоритоид, дистен, андалузит, ставролит, гранаты и минералы группы эпидота. В площадном распространении данный комплекс минералов тяготеет к склонам и бортам Сунтарского, Якутского и других блоковых выступов фундамента Вилойской синеклизы и их содержание составляет 25–75% состава тяжелой фракции.

Важно подчеркнуть, что в юго-западном обрамлении синеклизы, в наиболее вероятных областях сноса (Уринский антиклиниорий, Предпатомский прогиб и др.), подобный комплекс акцессориев количественно незначителен (5–15%) и содержится в составе тяжелой фракции терригенных отложений патомской серии (R_2-V) Уринского антиклиниория и толбинской серии (R_2-V) западного склона Алданского щита. Это все дополнительно подтверждает вывод о том, что Байкало-Патомское нагорье в палеозое и мезозое не могло служить питающей провинцией по отношению к золотоносным отложениям Вилойской синеклизы.

Комплексность россыпных минералов. Установлено, что в антропогеновых отложениях среднего течения р. Вилой часто присутствуют совместно ценные компоненты – золото, платиноиды, алмазы, циркон, ильменит, кассiterит и т.д. [Тимофеев, 1966; Трушков, Избеков и др., 1975; Михайлов и др., 1980, 1982]. Здесь возможно выявление нескольких основных типов комплексных россыпей: золото-платиновых, титан-циркониевых, редкометальных и др. Например, в Сунтарской излучине р. Вилой в кайнозойских отложениях присутствуют золото, платиноиды, алмазы, циркон, ильменит и кассiterит; в бассейне р. Тонггуо – золото, циркон, рутил, ильменит и т.д. Таким образом, в обрамлении Сунтарского блокового выступа намечаются антропогеновые комплексные россыпи, подобные полиминеральным кайнозойским россыпям Восточно-Европейской платформы. Как известно, областями питания последних были формации кор выветривания на магматических и метаморфических породах блоковых поднятий.

Характер кластогенного золота, поликомпонентный состав россыпных минералов (платина, редкометальные и др.), размещение антропогеновых россыпей вблизи блоковых выступов и литологическая характеристика промежуточных коллекторов [Михайлов, 1977] свидетельствуют, что россыпьобразующие компоненты претерпели неоднократные процессы переотложений и консервации.

По геологической позиции относительно погребенного Сунтарского поднятия, долгоживущих зон древних глубинных разломов и комплексному содержанию россыпьобразующих компонентов намечаются несколько

россыпных районов и участков на территории Вилойской синеклизы – Сунтарский, Верхневилойский, Тонгунский и Чыбыдинский.

М е т а л л о г е н и ч е с к и е критерии. В последнее время на территории Вилойской синеклизы и её обрамления выявлены эндогенные рудопроявления золота – сульфидные руды, кварцевые жили, минерализованные зоны, контактово-метасоматические и другие образования, парагенетически связанные с палеозойским [Еловских, 1970; Масайтис, 1970] и мезозойским магматизмом [Тимофеев, 1968; Трушков и др., 1975]. С этими рудопроявлениями, видимо, связаны кюелляхский и куранахский типы (табл. I) россыпного золота, выделяемые Э.Д.Избековым [1972].

Геолого-структурное положение, некоторые металлогенические черты региона, литологическая характеристика промежуточных коллекторов кластогенного золота верхнего палеозоя и мезозоя Вилойской синеклизы [Мокшанцев и др., 1975; Михайлов и др., 1974, 1976; Михайлов, 1977], размещение россыпей вблизи блоковых выступов [Тимофеев, 1966; Трушков и др., 1975] и типоморфные особенности самородного золота [Тимофеев, 1968; Избеков, 1972] позволяют считать, что современные россыпи золота среднего течения р. Вилой питались местными источниками.

Коренные источники золота располагались, вероятно, в пределах погребенных поднятий, главным образом Сунтарского, Якутского и других, и на отдельных участках в пределах зон глубинных разломов, ограничивающих выступы платформенного основания региона.

На территории Вилойской синеклизы существовали, по нашему мнению, благоприятные условия для формирования золота осадочно-метаморфогенного типа, характерного для кембрийским месторождениям золота древних платформ. На это указывают геолого-структурное положение Палеовилойского авлакогена [Мокшанцев и др., 1975; Михайлов и др., 1974, 1976], обширные в десятки тысяч квадратных километров ореолы золота в разновозрастных отложениях платформенного чехла, а также "древний" облик самородного металла.

Как выше было показано, россыпное золото Вилойской синеклизы представлено в основном мелким и высокопробным металлом. Необходимо подчеркнуть, что преобладающая высокая пробность (более 900), мелкий и тонкий размер золота характерны для золоторудных месторождений платформенных областей мезохриона [Шер, 1972]. В этой связи очень интересны новые данные по кластогенному золоту месторождения Витватерсrand (табл. 2), где преобладает исключительно мелкое и высокопробное золото. Чешуйчатая и пластинчатая формы золотин также

Таблица 2

Сравнительная характеристика по крупности золота

Воз- раст к- к-	Регион	Крупность, мм				Au в углеро- вистом вещест- ве	Au, связ- анное с пы- литом	Проб- ность	Литера- турный источник
		>1,0	-1,0 +0,5	-0,5 +0,25	<0,1				
Н- К-	Вильская синекзия	1,3	2,0	21,3	69,3	I6,I	-	-	>900 [Избеков, 1972]
Хуцир		0,3	6,3	31,1	49,6	I2,7	-	-	>900 [Мордвин, 1972]
А	Битватерранд	-	-	-1,0 +0,3	-0,3 +0,15	-0,15 +0,075	-0,075 <0,05	-	-
	A	-	-	3	8	27	6	39	I7
	B	-	-	7	19	44	-	5	25
	C	-	-	16	21	I9	5	I9	20
	D	-	-	49	9	9	2	8	4
								I9	>900 [Feather, 1970]
									>900 [Koen, 1972]

тически для докембрийских металлоносных толщ, в частности, для отложений венда (табл. 2) Восточного Присаянья [Стаников, 1972] и рифей Енисейского кряжа [Петров, 1976].

На основе обобщения новых геолого-геофизических данных, а также данных о проявлении магматической деятельности, составе и распределении аллотигенных акцессорных минералов верхнеюрско-нижнемелового структурного подъяруса Вилойской синеклизы установлены процессы мезозойской (J_3-K_1) тектоно-магматической активизации [Михайлов, 1979]. С этой активизацией, по-видимому, связаны единичные известные здесь проявления минерализации разных типов (сульфидные, барит-гематитовые и др.). В этой связи не исключено, что на территории Вилойской синеклизы возможно обнаружить эндогенные источники золота областей активизации. Рудопроявлениям этого возраста (табл. I), видимо, соответствует билигэс-хайский тип кластогенного золота [Избеков, 1972].

Таким образом, в настоящее время имеется немало доказательств, что на территории Вилойской синеклизы существуют благоприятные геолого-структурные, металлогенические и другие предпосылки (признаки), свидетельствующие о возможности выявления рудопроявлений золота. Эти данные должны учитываться при оценке россыпной металлоносности региона и определении перспектив его освоения.

Резюмируя все вышеизложенное, можно сделать следующие выводы:

1. Источниками сноса для золотоносных отложений Вилойской синеклизы служили в позднем палеозое и раннем мезозое (ранний карбон – средняя юра) блоковые выступы доплатформенного основания Вилойской синеклизы, сложенные слабо или умеренно метаморфизованными толщами, сходными с борсалинским (Ar_3), субганским и удоканским (Pr_1) комплексами;

2. Золото терригенных отложений Вилойской синеклизы поступало из местных коренных источников: осадочно-метаморфического типа, локализованного в орогенном структурном этаже погребенных поднятий, и гидротермальных рудопроявлений протерозоя и мезозоя, связанных с активизацией Байкало-Верхоянского и Алдано-Анабарского поясов глубинных разломов древнего заложения.

Список литературы

Алексеев Н.Н., Михайлов В.А. К распределению акцессориев в нижнеюрских отложениях Вилойской синеклизы. – В кн.: Нефтегазоносность Западной Якутии. Новосибирск: Наука, 1973, с. 58–62.

Алексеев Н.Н., Гаврильев Н.Н., Михайлов В.А. и др. Влияние мезозойской тектоно-магматической активизации на нефтегазоносность чехла центральной части Вилойской синеклизы. - В кн.: Нефтегазоносные отложения Западной Якутии. Якутск: ЯФ СО АН СССР, 1982, с.98-108.

Батурина В.П. Петрографический анализ геологического прошлого по терригенным компонентам. М.-Л.: Изд-во АН СССР, 1947. 338 с.

Билиненко В.А., Есипов А.В., Калинин В.М., Шаров Г.Н. Значение теории переноса и концентрации полезных иско-
паемых при формировании аллювиальных россыпей. - В кн.: Перемеще-
ние полезных компонентов в долинах. Якутск: ЯФ СО АН СССР, 1977,
с.3-8.

Билибин Ю.А. Основы геологии россыпей. М.: Изд-во АН СССР,
1955. 471 с.

Дальностъ переноса золота при формировании россыпей.
Якутск: ЯФ СО АН СССР, 1977. 178 с.

Дик И.П. Гранулометрическая и минералогическая дифференциация
в россыпях Центрального Алдана. - В кн.: Особенности россыпей золо-
та и их поисковое значение. Якутск: ЯФ СО АН СССР, 1980, с.60-68.

Еловских В.В. Металлогеническое районирование территории
Якутской АССР. - В кн.: Материалы по геологии и полезным иско-
паемым Якутской АССР, вып.17. Якутск: Кн.изд-во, 1970, с.16-22.

Избеков Э.Д. Особенности россыпного золота Вилойской си-
неклизы и прилегающих районов. - В кн.: Россыпи золота и их связи
с коренными месторождениями в Якутии. Якутск: Кн.изд-во, 1972,
с.178-199.

Избеков Э.Д. К вопросу использования в качестве поисковых
признаков особенностей распределения золота в россыпных месторожде-
ниях. - В кн.: Особенности россыпей золота и их поисковое значение.
Якутск: ЯФ СО АН СССР, 1980, с.154-158.

Избеков Э.Д., Маршинцев В.К., Михайлов
В.А., Скорняков Н.А. Новые площади локализации изверженных пород
на территории Вилойской синеклизы. - Геология и геофизика, 1977,
№ 8, с.137-140.

Казакевич Ю.П., Ревердатто М.В. Ленский золо-
тоносный район. Т.2. Геология кайнозойских отложений и типы золото-
носных россыпей Ленского района. М.: Недра, 1972. 152 с. (Тр.ЦНИГРИ,
вып.88).

Казаринов А.И. Закономерности размещения главных типов
золотого оруденения в Алданском районе и принципы их перспективной
оценки. - Тр.ЦНИГРИ, 1967, вып.68, с.5-30.

К а р т а ш о в И.П. Развитие аллювия горных стран. М.: Наука, 1972. 184 с.

К о с с о в с к а я А.Г. Минералогия терригенного мезозойского комплекса Вилюйской впадины и Западного Верхоянья. М.: Изд-во АН СССР, 1962. 234 с. (Тр. ГИН, вып. 63).

К о ч е т к о в А.Я. Поисковые критерии золото-сульфидно-кварцевых месторождений в карбонатных породах Южной Якутии. - Изв. вузов. Геология и разведка, 1979, № 3, с.45. Деп. в ВИНИТИ, №3874-78. 29 с.

К о ч е т к о в А.Я., И г у м н о в а Н.С., А б р а м о в В.А. Поисковые критерии золоторудных месторождений лебединского и куранахского типов. - Разведка и охрана недр, 1979, № 12, с.19-23.

К р а с н и к о в В.И. Развитие методики поисков рудных месторождений. - Советская геология, 1957, № 60, с.165-179.

М а с а й т и с В.Л. Допермские базиты Сибирской платформы: Автореф. дис. ... докт. геолого-минералогических наук. Л., 1970. 41 с.

М и льн е р Г.Б. Петрография осадочных пород. Т.П. М.: Недра, 1968. 568 с.

М и х а й л о в В.А., М о с к в и т и н И.Е., А л е к с е е в Н.Н. К вопросу о доплатформенном основании и золотоносности Вилюйской синеклизы. - В кн.: Вопросы прикладной физики. Якутск: Кн. изд-во, 1974, с.154-159.

М и х а й л о в В.А., Г а в р и л ё в Н.Н. Роль орогенных комплексов Вилюйской синеклизы в золотоносности её платформенного чехла. - Изв. АН СССР. Сер. геол., 1976, № 12, с.110-118.

М и х а й л о в В.А. Об источниках питания промежуточных коллекторов Западной Якутии. - В кн.: Дальность переноса золота при формировании россыпей. Якутск: ЯФ СО АН СССР, 1977, с.96-100.

М и х а й л о в В.А. О мезозойской тектоно-магматической активизации в пределах Вилюйской синеклизы Сибирской платформы. - В кн.: Геология и тектоника рудоносных регионов Якутии. Якутск: изд. ЯГУ, 1979, с.54-62.

М и х а й л о в В.А. К вопросу о выделении и районировании Вилюйской золотоносной провинции. - В кн.: Особенности россыпей золота и их поисковое значение. Якутск: ЯФ СО АН СССР, 1980, с.121-127.

М и х а й л о в В.А., И з б е к о в Э.Д., Ш а р о в Г.Н. и др. К вопросу о выявлении комплексных россыпей крупных речных долин на востоке Сибирской платформы. - В кн.: Мелкие ценные минералы в аллювии. (Тезисы докладов). Пермь, 1982, с.18-19.

М о к ш а н ц е в К.Б., Г о р н и ш т е й н Д.К., Г у с е в Г.С. и др. Тектоника Якутии. Новосибирск: Наука, 1975. 197 с.

Мордвин А.П. Хужирское рудопроявление золотоносных конгломератов. - В кн.: Геология и золотоносность рифей и венда южного обрамления Иркутского амфитеатра. Иркутск: Вост.-Сиб.кн.изд-во, 1972, с.154-189.

Нестеров Н.В., Кошетков А.Я., Игумнова Н.С. и др. Комплексная система критериях поисков и оценки месторождений золото-сульфидно-кварцевой формации в карбонатных породах (Центральный Алдан). - БНТИ. Геология и полезные ископаемые Якутии. Якутск: ЯФ СО АН СССР, февраль 1976, с.18-21.

Николаева Л.А. Некоторые данные о химическом составе самородного золота Ленского золотоносного района. - Тр.ЦНИГРИ, 1960, вып.30, с.167-175.

Николаева Л.А. Некоторые морфологические особенности золота различных генетических типов в Ленском золотоносном районе. - Тр.ЦНИГРИ, 1961, вып.38, с.107-118.

Обручев В.А. Избранные труды. Т.Ш. М., 1961.567 с.

Перемещение полезных компонентов в долинах. Якутск: ЯФ СО АН СССР, 1977. 124 с.

Петров В.Г. Золото в опорных разрезах верхнего докембрия западной окраины Сибирской платформы. Новосибирск: Наука, 1976. 214 с.

Поляничины А.В. Статистические характеристики гранулометрии золота Ленских россыпей. - В кн.: Вопросы геологии и золотоносности Ленского района. Иркутск: Вост.-Сиб.кн.изд-во, 1969.223 с.

Разин Л.В., Рожков И.С. Геохимия золота в коре выветривания и биосфере золоторудных месторождений куранахского типа. М.: Наука, 1966. 254 с.

Родионов Н.Г. Геоморфология и россыпная золотоносность Среднего Приленья: Автореф.дис.... канд.геогр.наук. Казань, 1973. 28 с.

Самусиков В.П. Минералогические особенности самородного золота как критерий физико-химических условий рудоотложения. - В кн.: Золоторудные формации и геохимия золота Верхояно-Чукотской складчатой области. М.: Наука, 1975, с.309-328.

Смирнов В.И. Коэффициент окатанности аллювиальных валунов и расстояние до коренного выхода. - Тр.МГРИ, 1941, т.17, с.120-124.

Стаников В.А. О первоисточнике золота ископаемых россыпей нижнемелового времени в восточном Присаяне. - В кн.: Геология и золотоносность рифей и венда южного обрамления Иркутского амфитеатра. Иркутск: Вост.-Сиб. кн.изд-во, 1972, с.99-104.

Тимофеев В.И. О генезисе вилойского типа россыпного золота. - В кн.: Труды IX научной конференции инж.-техн. фак-та ЯГУ (Тезисы докладов). Якутск: Кн.изд-во, 1966, с.135-137.

Тимофеев В.И. Генезис россыпного золота в бассейне р. Вилюя. - В кн.: Тектоника, стратиграфия и литология ЯАССР. Якутск: Кн.изд-во, 1968, с.269-275.

Тищенко Е.И., Коткин В.В., Артамонов Г.Г. Некоторые вопросы поисков рудного золота в Ленском районе. - В кн.: Вопросы геологии и золотоносности Ленского района. Иркутск, 1969, с.244-254.

Трушков Ю.Н., Избеков Э.Д., Томская А.И., Тимофеев В.И. Золотоносность Вилойской синеклизы и её обрамления. Новосибирск: Наука, 1975.148 с.

Шаров Г.Н. Поисковые критерии и поисковые признаки рудных месторождений золота Восточной Якутии. - В кн.: Минералы эндогенных образований Якутии. Якутск: ЯФ СО АН СССР, 1977, с.39-54.

Шер С.Д. Металлогения золота (Северная Америка, Австралия и Океания). М.: Недра, 1972. 296 с.

Шофман И.Л. Строение мезозойских россыпей в Северо-Восточной части Патомского нагорья. - В кн.: Древние и погребенные россыпи СССР. Киев: Наукова думка, 1977, ч.II, с.98-102.

Feather C.E., Koen G.M. The mineralogy of the Witwatersrand reefs. -"Mines. Sci. and Eng", 1975, 7, N 3, p. 189-224.

УДК 549.283:553.068.5

В.Е.Филиппов

ГИДРАВЛИЧЕСКАЯ КРУПНОСТЬ И ПЕРЕМЕЩЕНИЕ РОССЫПНОГО ЗОЛОТА

С давних времен исследователи подметили сортированность золота в россыпях вдоль русла водотока, которая обусловлена дифференциацией золотин по их миграционной способности. Однако параметры, определяющие дальность переноса золотин в водно-аллювиальной среде, до сих пор не установлены. Большинство исследователей считают главным среди них крупность золотин, некоторые - степень уплощенности [Тищенко, 1974]. Другие полагают, что "растаскивание" металла по долине происходит лишь в составе рудных обломков и что по мере развития россыпнеобразующего процесса золотины освобождаются от скрепок других минералов и отлагаются тут же на месте.

По теоретическим представлениям Ю.Н.Трушкова [1972] и его последователей, россыпь рассматривается как рой частиц полезного компонента, закономерно спроектированных от их коренных источников на уровень россыпнеобразования. При этом предполагается, что миграция частичек металла не является непрерывным процессом, а происходит главным образом в периоды перемыва металлоносных рыхлых толщ и разрушения плотика [Шумилов, 1970].

Учитывая, что некоторые исследователи отрицают горизонтальное перемещение золотины водным потоком, нами выполнен опыт по наблюдению поведения золотин в размываемой толще. Для проведения подобного опыта был изготовлен деревянный желоб длиной 150 см, высотой и шириной по 40 см, закрытый с торцов легкосъемными горизонтальными планками высотой по 5 см. В желоб засыпали слабосортированный песок, содержащий до 10% гальки и щебня. Затем желоб погружали в речку со скоростью водного потока 80 см/с.

После пропитки песка водой на его поверхность в 30 см от переднего торца желоба поместили несколько золотин различной степени уплощенности. По мере смыва обломочного материала с торцов желоба последовательно снимались планки. Таким образом имитировался размыв рыхлого материала, близкий к естественному. При этом визуально отмечено несколько особенностей размыва грунта и поведения в нем частиц золота.

Скорость движения размываемого материала на разных уровнях желоба была различной. На верхнем уровне движущейся массы скорость перемещения илистого материала соответствует скорости потока. На более низких уровнях скорость движения частиц резко уменьшалась, и они перемещались волочением и перекатыванием.

Перемещение золотин происходило в основном в основании части нижнего уровня движущейся массы. Было подмечено, что золотины значительно отстают в скорости движения от частиц песка и более крупных обломков, ориентируясь своей уплощенной плоскостью параллельно размываемой поверхности и длинной осью по направлению потока. Обычно золотины "садятся" на песчинки, которые, перекатываясь, легко освобождаются от "седоков", передавая их друг другу с верхних слоев к нижним. Таким образом песчинки играли роль пассивного транспорта золотин.

После полного выноса рыхлого материала из желоба было обнаружено, что все золотины переместились в горизонтальном направлении от 40 до 120 см и более.

Результаты проведенных наблюдений показали возможность перемеще-

ния золотин в аллювии и позволили создать кинематическую схему этого перемещения. Они также позволили высказать предположение, что миграционная способность золотины находится в обратной зависимости от ее способности "продавливать" движущуюся массу обломочного материала и связана с гидравлической крупностью (ГК).

Гидравлическую крупность россыпного золота, как функционально зависящую от других параметров величину, первым изучил М.И.Львович [1938]. Он предложил эмпирическую формулу для определения гидравлической крупности (в мм/с): $v_0 = \frac{620}{y \cdot 0,63} \cdot \theta^{\frac{0,48}{0,16}}$, где θ – диаметр частицы, мм, y – коэффициент уплощенности золотины. В целом эта формула отражает связь гидравлической крупности золотин с их крупностью и формой.

Ю.Н.Трушков с соавторами [1975] теоретически показали, что гидравлическая крупность золотин зависит от их толщины, а не от диаметра. Это предположение наглядно иллюстрируется результатами сделанного нами опыта. Сущность его заключается в том, что мы определили гидравлическую крупность пластин свинца, последовательно разрезая их на половину. При этом у них изменялись масса, медианный размер, коэффициент уплощенности, но толщина оставалась постоянной. В таблице под индексом А внесены показатели исходных пластин, под индексами Б и В – уменьшенных.

Гидравлическая крупность пластин свинца при последовательном уменьшении их размера

Номер опыта	Этап уменьшения пластин	Параметры пластин				ГК, см/с
		масса, г	длина, мм	ширина, мм	толщина, мм	
1	A	150	4,0	4,0	0,92	38 + 40
	B	76	4,0	2,0	0,92	35 + 39
	V	39	2,0	2,0	0,92	40
2	A	148	6,0	5,0	0,46	26 + 28
	B	79	5,0	3,0	0,46	27 + 29
	V	41	3,0	2,5	0,46	27 + 29
3	A	52	6,5	3,5	0,25	19 + 21
	B	31	3,5	3,0	0,25	19 + 21
	V	16	3,0	1,8	0,25	22 + 23

Приведенный опыт показал, что в пределах точности измерений гидравлическая крупность изученных частиц свинца различной размерности, но одинаковой толщины практически не изменялась. Таким образом, под-

тврждается наличие функциональной зависимости гидравлической крупности частиц от их толщины.

Физический смысл связи гидравлической крупности частиц и ее толщины заключается в следующем. Толщина количественно отражает массу вещества, приходящуюся на единицу площади наибольшего сечения частицы, которая давит на жидкость и определяет скорость погружения золотины. Таким образом, более правильно связывать гидравлическую крупность не с толщиной, а с массой вещества, приходящейся на единицу площади наибольшего сечения частицы, т.е. $\Gamma K = f(P/s)$, где P - масса частицы, s - площадь наибольшего сечения.

Выполненное по материалам М.И.Львовича [1938] графическое построение зависимости гидравлической крупности россыпного золота от P/s отчетливо показывает их тесную функциональную зависимость (рис. I),

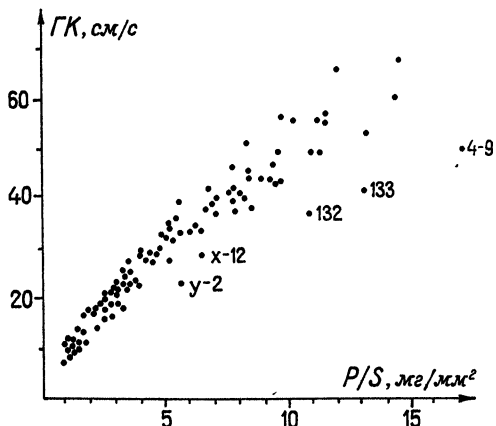


Рис. I. Зависимость гидравлической крупности россыпного золота от массы, приходящейся на единицу площади наибольшего сечения золотины (по материалам М.И.Львовича и автора)

при которой частицы при погружении в жидкость ориентируются наибольшей плоскостью перпендикулярно вертикальной нормали движения частицы.

При работе с частицами различной плотности зависимость гидравлической крупности от P/s становится неполной (рис. 2). Кривые на рисунке показывают, что на значения гидравлической крупности минерала оказывает влияние его плотность. Отсюда следует, что более полная зависимость гидравлической крупности минеральных частиц может быть выражена в виде функции: $\Gamma K = f(P/s, b)$, где b - плотность минеральной частицы.

При исследовании гидравлической крупности золотин различной степени обработанности [Филиппов, Шумилов, 1982] частички золота субрудного облика без минеральных сростков ведут себя при погружении

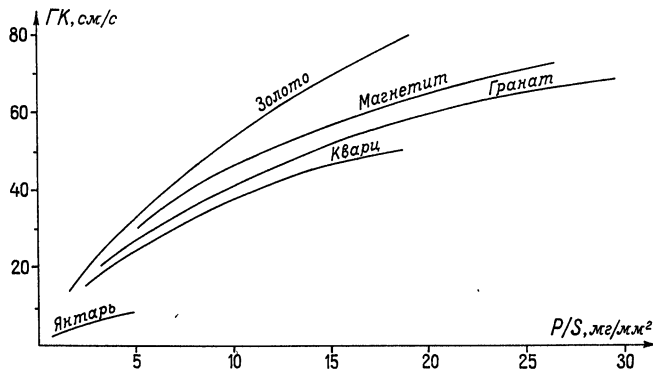


Рис.2. Зависимость гидравлической крупности минеральных частиц различной плотности от массы, приходящейся на единицу площади наибольшего сечения

в жидкость, подобно минералам средней плотности (рис.1, точки замеров с номерами). Это явление тем сильнее, чем "ажурнее" золотина. Объясняем мы это следующим образом. Выемки золотины сложной формы заполняются водой, образуя застойные очаги при движении частички. По Л.П.Мацуеву [1960], формирование подобных очагов происходит вследствие их изоляции в выемках пограничным слоем жидкости, что приводит к снижению общей плотности золотины. Подобное снижение плотности вызывает уменьшение гидравлической крупности и способствует повышению миграционной способности. Именно этим, на наш взгляд, объясняется одна из особенностей строения элементарной россыпи – отрыв зоны максимального накопления металла от коренных источников. Величина этого отрыва отражает процесс преобразования золотин субрудного облика в россыпное с пониженной миграционной способностью.

Распределение золота в россыпях по гидравлической крупности изучалось по материалам, любезно предоставленным автору Э.Д.Избековым.

Методика исследования заключалась в следующем. Из навесок золота, отобранных вдоль россыпей, выбирались три фракции по крупности, которые наиболее распространены в исследуемых россыпях. Затем определяли гидравлическую крупность каждой золотины по отдельности во всей фракции и подсчитывали частоту встречаемости золотин по этому показателю с интервалом 5 см/с. Таким образом, золото рассматривалось

мой россыпи подразделялось на три группы по ситовой крупности, внутри которых изучалось распределение золотин по гидравлической крупности, исключив влияние размерности.

Гидравлическую крупность определяли в стеклянной трубе со столбом воды 120 см. Полученные величины гидравлической крупности, возможно, отличаются от истинной, но применение единой методики в определении этого показателя в данной работе дает возможность судить о закономерностях распределения золота в россыпях.

Россыпь Лазо расположена в северной части Верхнеадычанской металлогенической зоны и детально изучена Э.Д.Избековым с соавторами [1975]. Установлено, что россыпь сформировалась за счет коренного источника штокверкового типа, расположенного в ее головке. Признаков существенной подпитки россыпи ниже по течению от коренного источника не отмечено. Протяженность россыпи составляет более пяти километров, т.е. она является относительно крупной и по своему строению элементарной. На рис.3 показан характер распределения золотин по гидравлической крупности по трем из семи исследованных навесок металла, представляющим собой верхнюю (А), среднюю (Б) и нижнюю (В) части россыпи.

Верхний участок россыпи характеризуется наличием во всех трех фракциях крупности золотин с более широкой, по сравнению со средним и нижним участками россыпи, дисперсией показателя гидравлической крупности и повышенной ролью золотин с гидравлической крупностью более 30 см/с. Пределы показателей и величина значений гидравлической крупности золотин во всех трех фракциях уменьшаются вниз по протяжению россыпи.

Уменьшение вниз по течению частоты встречаемости золотин с гидравлической крупностью более 30 см/с, вплоть до полного исчезновения в хвосте россыпи, объясняется их малой миграционной подвижностью. Аналогичное поведение золотин с гидравлической крупностью менее 10 см/с обусловлено, наоборот, их интенсивным выносом водным потоком. При этом золотины с гидравлической крупностью менее 10 см/с в заметном количестве отмечаются лишь на участке их поступления в долину из коренного источника или вблизи него. При каждом очередном перемыве пластовой россыпи частицы металла с низкими показателями гидравлической крупности подхватываются русловым потоком и, не оседая на нижних участках россыпи, перемещаются вниз по течению транзитом или отлагаются в косовых россыпях.

Россыпь Петер расположена в пределах Дебин-Тыэлахского района Яно-Колымского золотоносного пояса. Рассыпь по своему строению эле-

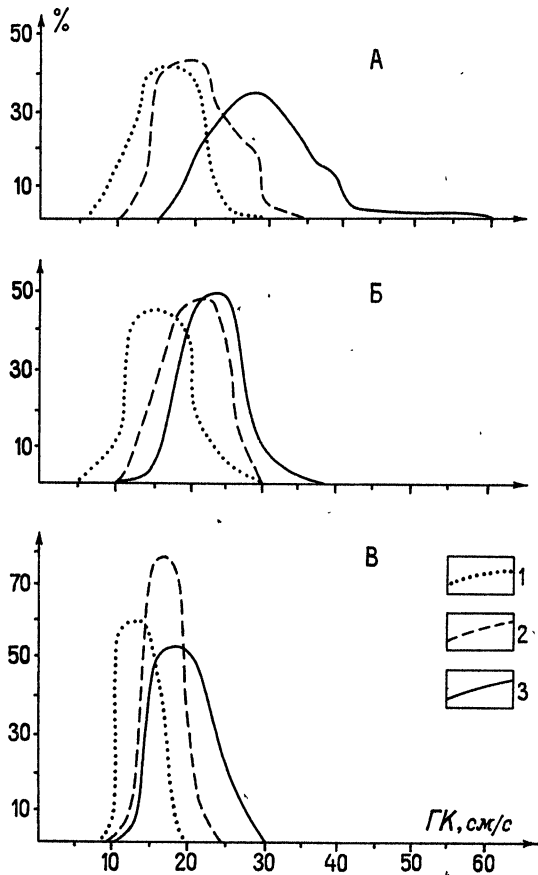


Рис.3.

Частота встречаемости золотин по гидравлической крупности во фракциях различной ситовой крупности в навесках, отобранных на различных участках россыпи Лазо:

А, Б, В - верхняя, средняя и нижняя части россыпи соответственно; крупность золота: 1 - 0,25-0,5 мм; 2 - 0,5-1,0 мм; 3 - 1,0-2,0 мм

ментарная. По данным Э.Д.Избекова, питание ее из коренного источника происходило только в раннюю стадию формирования, что отразилось на характере распределения золота (рис.4). Графики А, Б и В отражают характер поведения золота соответственно в верхнем, среднем (в 0,4 км от головки) и нижнем (в 2,8 км) участках россыпи.

В целом результаты замеров гидравлической крупности металла подтверждают вывод Э.Д.Избекова о том, что россыпь длительное время перемывалась в условиях прекращения поступления свежих порций металла из коренных источников. В результате этого в головке россыпи золотины в подавляющем большинстве представлены частицами с гидравлической крупностью менее 10 см/с, а в нижней - частицами от 15 до 35 см/с. Золото с гидравлической крупностью менее 10 см/с в исследованных на-

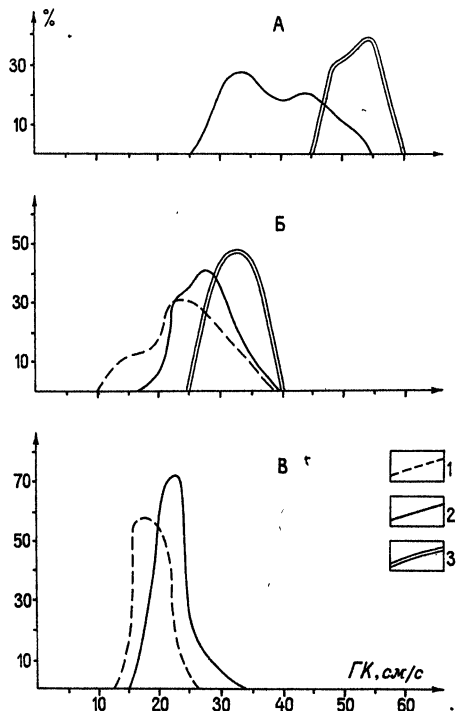


Рис.4.

Частота встречаемости золотин по гидравлической крупности во фракциях различной ситовой крупности в навесках, отобранных на различных участках россыпи Петер:

А, Б, В - верхняя, средняя и нижняя части россыпи соответственно; крупность золота: 1 - 0,5-1,0 мм; 2 - 1,0 - 2,0 мм; 3 - 2,0-3,0 мм

весоках отсутствует полностью, так как оно в процессе перемывов было полностью вынесено за пределы россыпи.

На рис.5 показано двухэтапное развитие россыпи Петер. Ранний этап включает вскрытие коренного источника и характеризуется увеличением протяженности россыпи за счет накопления металла путем неоднократных поступлений его из коренного источника. На втором этапе углубление долины сопровождалось разубоживанием металла и еще большим проявлением дифференциации золотин по миграционной способности.

Россыпь Бынкчан расположена в Аллах-Юньском золотоносном районе Южного Верхоянья. На основе минералогического исследования В.П.Самусиков и Л.Н.Цабул [1972] установлено, что в рассматриваемую россыпь металл поступал из множества коренных источников почти на всем ее протяжении. Замеры гидравлической крупности золотин семи навесок,

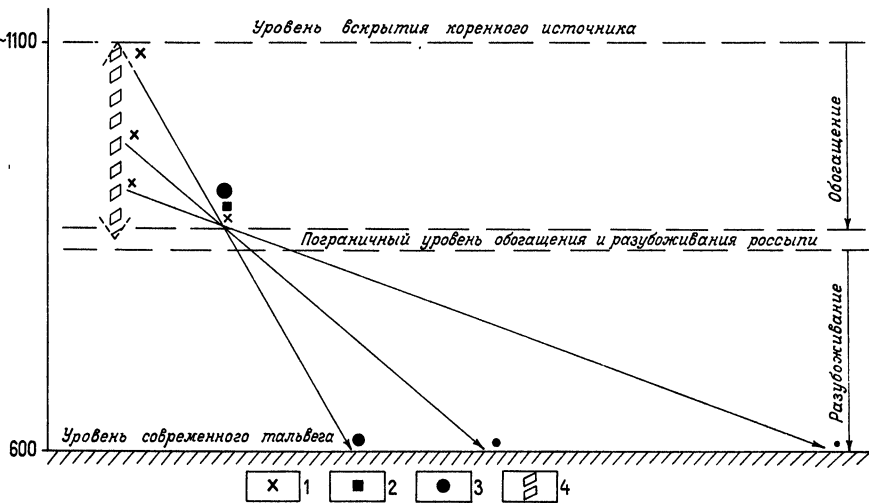


Рис.5. Схема эволюции россыпи Петер в зависимости от степени вскрытия коренного источника и углубления долины. Степень обработанности золота:

I – слабая, 2 – средняя, 3 – сильная, 4 – вертикальный размах золотого оруденения

отобранных вдоль россыпи, повсеместно показали почти полное отсутствие сортированности золотин, доказывая правомерность выводов этих авторов.

Наряду с описанной дифференциацией золотин по гидравлической крупности в россыпях отмечается также их сортированность по размерности и коэффициенту уплощенности. Это объясняется следующим. Замер толщины частиц рудного золота различной крупности показал, что относительное количество "толстых" золотин во фракциях крупного золота в 1,5-3 раза больше, чем во фракциях, меньших по размерности. Отсюда следует, что тонкие золотинки мелких фракций сопровождаются при перемещении незначительным количеством золота крупных фракций. Вследствие этого наблюдается быстрое снижение содержания крупных золотин по протяжению россыпи.

Выводы

I. Зональное строение россыпей предопределено различной миграционной способностью свободных частиц золота в аллювиальной среде.

2. Миграционную способность свободного золота в водно-аллювиальном потоке наиболее полно, в сравнении с другими параметрами, отражает его гидравлическая крупность.

3. Гидравлическую крупность частиц россыпного золота из всех линейных параметров наиболее однозначно определяет их толщина.

4. Признаки сортированности металла в россыпях по ситовой крупности объясняются преобладанием количества "толстых" золотин в крупных фракциях по сравнению с таковыми в мелких фракциях.

5. В элементарной россыпи отрыв зоны максимального накопления металла от ее коренного источника вызван тем, что миграционная способность золотин субрудного облика в целом выше, чем обработанного в аллювии золота.

С п и с о к л и т е р а т у р ы

Бондаренко Н.Г. Образование, строение и разведка россыпей. М.: Недра, 1975. 57 с.

Избеков Э.Д., Яковлев Я.В., Бичус Б.Я. Опыт изучения связи россыпи с ее коренными источниками на примере Лазо и Неизвестный. - В кн.: Поиски и опыт реконструкции коренных источников золота по разведенным россыпям. Якутск, 1975, с.67-107.

Мадуев Л.П. К вопросу об определении скорости свободного падения твердых тел в жидкости. - В кн.: Обогащение и металлургия. - Тр.ВНИИ-1, 1960, т.ХV, с.231-282.

Львович М.И. Гидравлическая крупность частиц россыпного золота. - В кн.: Труды треста Золоторазведка и института НИГРИзолото. М.-Л., 1938, вып.8, с.92-130.

Самусиков В.П., Цабул Л.Н. Химический и гранулометрический состав золота россыпей Аллах-Юньского района. - В кн.: Рассыпи золота и их связи с коренными месторождениями в Якутии. Якутск, 1972, с.122-144.

Тищенко Е.И., Тищенко М.Д. Коэффициент уплощенности золота в россыпях. - Разведка и охрана недр, 1974, № 3, с.52-54.

Трушков Ю.Н. Теоретическая связь россыпей с коренными источниками и реконструкция последних (геометрическая модель на простейших примерах). - В кн.: Рассыпи золота и их связь с коренными месторождениями в Якутии. Якутск, 1972, с.5-31.

Трушков Ю.Н., Избеков Э.Д., Сергеенко А.И. Основные факторы перемещения золота в россыпях. - В кн.: Поиски и опыт реконструкции коренных источников золота по разведенным россыпям. Якутск, 1975, с.29-49.

Филиппов В.Е., Шумилов Ю.В. Связь гидравлической крупности минералов с распределением их в россыпях. - В кн.: Континентальные россыпи Востока СССР (Тезисы докладов IV Всесоюзного совещания по геологии россыпей). Благовещенск, 1982, ч. I, с. 218-220.

Шумилов Ю.В. К вопросу о количественной оценке процессов россыпнеобразования. - В кн.: Проблемы геологии россыпей. Магадан, 1970, с. 123-132.

УДК 553 068.57 (57I.56)

Н.Н. Зинчук

ТИПОМОРФНЫЕ ОСОБЕННОСТИ ПРОДУКТОВ ВЫВЕТРИВАНИЯ
РАЗЛИЧНЫХ ПОРОД ЗАПАДНОЙ ЯКУТИИ В СВЯЗИ
С ПРОБЛЕМОЙ ПОИСКОВ ПОТРЕБЕННЫХ РОССЫПЕЙ АЛМАЗОВ

На Сибирской платформе наиболее мощные эпохи корообразования проявились в позднедевонское-раннекаменноугольное и средне-позднетриасовое время [Вербицкая, Плотникова, 1971; Мишин, 1971; Рожков и др., 1967; Шамшина, Шунт, 1975]. В Малоботубинском и Далдыно-Алакитском алмазоносных районах Якутии в указанный период выветриванию подвергались терригенно-карбонатные породы нижнего палеозоя, среднепалеозойские кимберлитовые породы, туфы и туффобрекции трубок взрыва, а также туфогенные образования корвунчанской свиты перми и долериты нижнего триаса [Давыдов и др., 1975; Зинчук и др., 1978]. Существенное различие структурно-текстурных, минералого-геохимических и генетических характеристик этих пород предопределило типоморфные особенности продуктов, образованных по ним кор выветривания.

Позднедевонская-раннекаменноугольная кора выветривания по карбонатным породам нижнего палеозоя выявлена в северной части Малоботубинского района под покровом верхнепалеозойских и мезозойских осадочных толщ на склонах палеовпадин [Давыдов и др., 1975; Зинчук и др., 1978], а также в Далдыно-Алакитском районе, где ее мощность изменяется от 0,1 до 4 м.

Четких отличительных признаков разных возрастных групп кор выветривания не установлено, что связано, главным образом, с близкими физико-химическими условиями их образования. В наиболее полных профилях кор выветривания обеих групп наблюдаются две зоны. Нижняя зона (до 2-3 м) представлена серыми, желтовато-серыми дезинтегрированными терригенно-карбонатными породами, разбитыми многочисленными трещинами и микротрещинами. Структурно-текстурные особенности мате-

ринских пород в этой зоне практически сохраняются полностью. Верхняя зона (до 5, реже 10 м) обычно сложена карбонатными желтовато-коричневыми, серовато-желтыми и зеленовато-серыми глинами. Первичные структурно-текстурные особенности пород субстрата обычно отмечается только в отдельных, наименее измененных участках. Поскольку верхняя зона коры выветривания значительно размыта, то зачастую мы имеем дело лишь с ее нижними горизонтами, цвет и состав образований которых зависит как от состава субстрата, так и от мощности элювиальной толщи и степени ее химической переработки. Для коры выветривания этой группы довольно характерным признаком является широкое развитие линз, желваков и прожилков белых и серовато-белых вторичных образований, состоящих из смеси альунита, базалюминита, гипса и кальцита.

В целом для легкой фракции продуктов выветривания терригенно-карбонатных пород характерны повышенные концентрации полуокатанных и окатанных зерен кварца и халцедона, а также угловатых обломков опала. Здесь отмечены также повышенные по сравнению с корами по другим породам содержания кислых плагиоклазов (альбит, олигоклаз) и сидерита. При этом в верхних горизонтах разрезов зерна последних чаще всего регенерированы и изменены. В большинстве случаев зерна плагиоклазов имеют неправильную форму со склаженными углами. Для выветрелых пород этого типа свойственно, как уже отмечалось выше, присутствие новообразований на основе сульфогрупп.

Для тяжелой фракции довольно характерны полуокатанные и окатанные зерна апатита, альмандин, турмалина, циркона, эпидота, а также повышенные в большинстве случаев концентрации пирита, сидерита, барита и ярозита. В разрезах этого типа отмечены также единичные пластинчатые обломки хлоритоида, брукита, муассанита, не встречающиеся в других изученных разрезах выветрелых толщ.

Типоморфным признаком для глинистой составляющей из образований коры выветривания терригенно-карбонатных пород можно считать повсеместное присутствие диоктаэдрической гидрослюды ($2M_I$) и ее постоянную ассоциацию с каолинитом. Последнему свойственна несовершенная структура, с неупорядоченным смещением слоев в направлении оси "в" [Зинчук, Котельников, 1980]. Для нижних горизонтов коры выветривания этого типа типичны смешаноолайные образования монтмориллонит-гидрослюдистого (политипной модификации IM) и хлорит-монтмориллонитового типов с упорядоченной тенденцией чередования пакетов [Лариш, Сахаров, 1976].

В верхней зоне профилей выветривания этого типа (зоне выщелачивания) происходит разложение триоктаэдрических минералов, в том чис-

ле и хлорит-монтмориллонитовых смешанослойных образований. Поэтому сохраняются лишь диоктаэдрические разновидности гидрослюды и смешанослойной фазы [Зинчук и др., 1978]. На это указывают параметр "в" элементарных ячеек минерала и наличие двух эндотермических эффектов на кривых ДТА дериватограмм. Вверх по разрезу происходит относительное уменьшение содержания монтмориллонит-гидрослюдистой смешанослойной фазы и ухудшается степень совершенства ее структуры. Это приводит к появлению в верхних частях профилей выветривания донижнеурского возраста примеси каолинита, связанной с преобразованием смешанослойной фазы [Котельников, Зинчук, 1980].

Высокая пористость продуктов выветривания рассмотренных пород, обусловленная выщелачиванием карбонатов и триоктаэдрических минералов, обеспечивает интенсивное дренирование пород, что облегчает полный вынос частиц смешанослойной фазы, содержащей К и Fe, из прилегающих к поверхности поровых каналов [Котельников, Зинчук, 1980₂]. Одновременно из пород удаляется избыток Si, а также происходит уменьшение концентраций Mn, Mg, Fe²⁺, Ca и CO₂. В конечном итоге это приводит к полному очищению порового пространства от щелочных, щелочно-земельных и фемических элементов. Сопровождающее этот процесс локальное снижение pH среды (с 7,69 до 4,26), особенно на участках движения промывных вод, способствует уменьшению подвижности Al, что является необходимым условием для образования каолинита. На данной стадии выветривания гидрослюда 2M₁ остается относительно стабильной. Отмечается уменьшение степени совершенства ее кристаллической структуры.

Кора выветривания средне-позднетриасового возраста установлена в центральной части Малобутовинского района, где она развивается по долеритам трапповой формации. В Далдыно-Алакитском районе она также тяготеет к пониженным участкам траппового плато [Зинчук и др., 1978; Черный и др., 1977]. В наиболее полных разрезах коры выветривания этого типа также выделяются две зоны: 1) дезинтеграции и начального выщелачивания и 2) выщелачивания и начального гидролиза. Нижняя зона мощностью до 5 м представлена в различной степени измененными долеритами. Верхняя зона в таких профилях сложена желтовато-бурыми и желтовато-зелеными глинистыми образованиями, реликтовые первичные структуры долеритов (пойкилоофитовая, интерсеральная и др.) наблюдаются здесь редко.

В коре выветривания по долеритам возникновение разбухающих слоистых силикатов связано, главным образом, с трансформацией биотита, разложением вулканического стекла и плагиоклазов, являющихся

ся главными породообразующими минералами материнских пород. При этом в нижней части коры выветривания по средним плагиоклазам в качестве промежуточной фазы развивается диоктаэдрический монтмориллонит, нередко с Na^+ в межслоевых промежутках [Зинчук и др., 1978]. Образуются также вермикулит и ди-триоктаэдрический монтмориллонит $\text{Mg} - \text{Fe}^{3+}$ -типа с Mg^+ в межслоевых промежутках обоих минералов. Указанные фазы вверх по разрезу в результате частичного выноса Mg^+ из структуры монтмориллонита и окисления Fe^{2+} в структуре вермикулита испытывают постепенную "диоктаэдризацию", в связи с чем параметр "в" кристаллической решетки этих минералов уменьшается. Характерной особенностью слабоизмененных профилей коры выветривания долеритов является совместное присутствие монтмориллонита и вермикулита. В верхних горизонтах более измененных профилей коры выветривания долеритов вермикулит исчезает и возникает смешанослойный вермикулит-монтмориллонитовый агрегат с беспорядочным чередованием пакетов [Зинчук, Котельников, 1981].

Кора выветривания туфов и туфогенных образований также имеет ограниченное распространение [Давыдов, Мишин, 1977; Зинчук и др., 1978]. Сохранилась она от размыва в основном в северо-западной части Малоботубинского района. Здесь обычно присутствуют только нижние горизонты зоны дезинтеграции и начального выщелачивания, сложенные желтовато-серыми и желтовато-бурыми слабоизмененными туфами и туфогенными породами. Реже отмечаются верхние (более зрелые) горизонты, сложенные желтовато-бурыми глинистыми образованиями. Первичные структурно-текстурные особенности пород сохранились только в отдельных фрагментах.

Значительно меньше распространена кора выветривания по агломератовым туфам и туфобрекциям, образующим тела трубочного типа. В одних случаях (трубка Аи-49 и др.) удалось выделить нижнюю (до 50 и более метров мощностью) и верхнюю (10–20 м) зоны [Зинчук и др., 1978]. Нижняя зона является глинистым структурным эловием, цементирующим обломки агломератовых туфов. Верхняя зона обычно представлена желтовато-коричневыми, вишневыми и серовато-желтыми глинистыми образованиями с реликтами первичных пород. В других случаях по телам трубочного типа (Аи-50 и др.) агломератовых туфов и туфобрекций сформировалась мощная (свыше 60 м), сравнительно однородная, полиминеральная кора выветривания.

Характерными минералами легкой фракции выветрелых пород трапповой формации являются в различной степени измененные плагиоклазы (от андезина до битовнита) и гейландинит. При этом вверх по разрезу

выветрелых толщ обычно увеличивается содержание олигоклаза, что связано с меньшей устойчивостью к воздействию гипергенных процессов средних и основных плагиоклазов. В слабоизмененных плагиоклазах не-редко наблюдаются полисинтетические двойники. Гейландит присутствует в виде мелких угловатых пластинок неправильной формы. Довольно характерным минералом коры выветривания туфов и туфогенных пород можно считать аллофан.

Типоморфным минералом тяжелой фракции пород трапповой формации является ильменит. В разрезе коры выветривания долеритов обычно доминируют его толстотаблитчатые и пластинчатые кристаллы с хорошо развитыми гранями и угловатые обломки с реликтами огранки. В коре выветривания туфов и туфогенных пород присутствуют зерна ильменита преимущественно неправильной формы со стяженными краями, реже - остроугольные обломки. Характерными для тяжелой фракции являются также значительные концентрации амфиболов, моноклинных пироксенов, эпидота, клиноцизита, цоизита, турмалина, циркона, дистена и вулканического стекла. В группе амфиболов доминирует роговая обманка, представленная призматическими и уплощенными обломками с характерными за-нозистыми вершинами, а также пластинчатыми, удлиненными или изометричными зернами. Различной формы угловатые обломки, реже таблитчатые кристаллы авгита свойственны корам выветривания долеритов, туфов и туфогенных пород. Здесь встречаются довольно часто и минералы группы эпидота, среди которых можно выделить несколько морфологических и цветовых разностей. Присутствуют также клиноцизит и цоизит, которые практически отсутствуют в выветрелых туфах и туфогенных породах. Характерным для кор выветривания пород трапповой формации является присутствие турмалина нескольких цветовых и морфологических разностей. Одной из типоморфных особенностей выветрелых образований трапповой формации можно считать присутствие значительного количества красновато-бурых обломков вулканического стекла. В комплексе аутигенных минералов тяжелой фракции резко доминируют выделения гидроокислов железа различной формы.

Для нижних горизонтов коры выветривания туфов и туфогенных образований Западной Якутии наиболее характерными слоистыми силикатами являются вермикулит и хлорит, последний из которых разлагается в верхних горизонтах коры выветривания. Это стимулирует вынос из структуры вермикулита некоторого количества Mg и частичное окисление Fe²⁺, приводящие к возникновению Mg-Fe³⁺-монтмориллонита [Зинчук, Котельников, 1980₂]. Резкие различия в строении долеритов (монолитные плотные породы), туфов и туфогенных образований

(рыхлые микроагрегатные породы) способствуют массовому образованию каолинита на их контакте. Каолинит образуется по микроклину, средними плахиоклазам (через стадию их монтмориллонитизации) и вермикулитом-монтмориллонитовому смешанослойному образованию. Последние две фазы характеризуются ухудшением степени совершенства кристаллической структуры. Следует отметить, что псевдоизометрическая форма кристаллов каолинита, особенно образовавшихся по смешанослойной фазе, выражена неотчетливо, что характерно для продуктов выветривания основных пород.

Преобладание средних и основных плахиоклазов (по отношению к микроклину) в составе исходных пород некоторых тел трубочного типа (Ан-48, Ан-50 и др.) и корвинчанской свиты привело к резкому увеличению в продуктах выветривания метагаллуазита, который можно считать типоморфным минералом продуктов выветривания этого типа. Следует отметить, что вверх по разрезу элювиальных образований подобного состава увеличивается количество минералов каолинит-метагаллуазитовой ассоциации и возрастает их упорядоченность.

Кора выветривания кимберлитовых пород имеет, как известно [Харьков, 1978; Шамшина, 1979 и др.], локальное распространение, ограниченное контурами самих тел. В большинстве случаев четкой зональности в распределении по разрезам продуктов выветривания кимберлитов не наблюдается. Независимо от положения пород в разрезах представляется возможным выделить разности, соответствующие разным стадиям выветривания (слабо-, умеренно- и сильновыетрельные породы). Только в единичных случаях, с некоторой долей условности, в профиле выветривания выделяются две зоны [Харьков, Мельник, 1970]. Образования нижней зоны представляют собой рыхлую породу пестрой окраски с явно выраженной обломочной структурой. Верхняя зона сложена серовато-бурыми, кремовыми и грязно-зелеными глинистыми образованиями, лишенными текстурно-структурных признаков первичных пород.

Для легких фракций коры выветривания кимберлитовых пород характерно присутствие бледно-оливковых и желтовато-зеленых чешуек флогопита и продуктов его изменения (хлорита и вермикулита), обломков серпентина, а также глинисто-карбонатных агрегатов, состоящих преимущественно из смеси глинистых минералов, кальцита и доломита.

В глинистой составляющей коры выветривания кимберлитов, кроме серпентина, хлорита и вермикулита, присутствует также переменное количество монтмориллонита, неупорядоченного монтмориллонит-гидрослюдистого смешанослойного образования и гидрослюды. При этом, судя по значению параметра "в", в октаэдрических сетках структуры раз-

сухающих минералов содержатся главным образом AI и частично Fe^{3+} . В нижней и средней частях коры выветривания кимберлитов указанная смешанослойная фаза характеризуется тенденцией к упорядоченному чередованию пакетов, в то время как к верхам профилей она приобретает явные элементы разупорядочения структуры [Зинчук, Котельников, 1980_I]. Кристаллохимические особенности монтмориллонит–гидрослюдистой смешанослойной фазы в рассматриваемом типе коры выветривания существенно отличаются от аналогичной разновидности, развитой в зоне гипергенеза терригенно–карбонатных пород. Это обусловлено иной природой исходного материала в кимберлитах, за счет которого возникло указанное образование, представленное продуктами диоктаэдризации флогопита [Котельников, Зинчук, 1980₂] и дальнейшей деградации их. Образующаяся в ряде случаев за счет изменения флогопита гидрослюда также наследует свойственный последнему политип IM. Во фракции мельче 0,001 мм кимберлитов серпентин представлен пластинчатой разновидностью, структура которого состоит из слоев типа A и B [Зинчук, Котельников, 1980_I]. Серпентин сохраняется до самых верхов профилей выветривания, где характеризуется политипом A.

Проведенные исследования разновозрастных кор выветривания по различному субстрату показали, что сложный многокомпонентный состав исходных пород в изученных корах выветривания обусловил замедленное преобразование первичного материала. Развитие неполных профилей выветривания определило слабый вынос двухвалентных катионов из структур первичных минералов, поэтому вновь возникающие фазы сохраняют в ряде случаев смешанный состав структурных катионов, характеризующийся ди-триоктаэдричностью. В изученных корах выветривания смешанослойные образования в зависимости от природы исходных минералов, за счет которых они возникли, характеризуются как различным видом переслаивания пакетов, так и неодинаковым химическим составом в одном и том же типе указанных фаз, что является их важным типоморфным признаком. Накопление продуктов кор в пресноводных континентальных водоемах, а также небольшая мощность сформировавшихся осадочных толщ и незначительные погружения их определили слабую роль катагенетических преобразований. Поэтому глинистые минералы верхнепалеозойских и мезозойских отложений алмазоносных районов Западной Якутии, связанные в основном с процессом переотложения продуктов кор выветривания, сохраняют определенную унаследованность структурных и кристаллохимических особенностей элювиальных образований. Это позволяет использовать охарактеризованные типоморфные признаки минералов глинистой фракции для идентификации в осадочных толщах исход-

ных субстратов выветривания, что должно способствовать повышению эффективности поисков кимберлитовых тел.

Список литературы

- Вербижская Н.П., Плотникова М.И. Региональные и локальные закономерности размещения экзогенных месторождений алмаза. Л.: Недра, 1971. 80 с.
- Градусов Б.П. Минералы со смешанной структурой в почвах. М.: Наука, 1976. 126 с.
- Давыдов Ю.В., Мишин В.М., Шамшина Э.А. Коры выветривания Ботуобинского района. - В кн.: Древние коры выветривания Якутии (Тр.ЯФ СО АН СССР). Якутск, 1975, с.86-108.
- Давыдов Ю.В., Мишин В.М. Древние коры выветривания бассейнов рек Малой Ботуобии и Мархи (Западная Якутия). - В кн.: Кора выветривания и гипергенное рудообразование. М.: Наука, 1977, с.272-276.
- Дриц В.А., Сахаров Б.А. Рентгеноструктурный анализ смешанослойных минералов. М.: Наука, 1976. 256 с. (Тр.ГИН АН СССР, вып.295).
- Зинчук Н.Н., Тараненко В.И., Борис Е.И. и др. Коры выветривания бассейна р.Вилай. - Изв.АН СССР. Сер.геол., 1978, № 8, с.108-121.
- Зинчук Н.Н., Котельников Д.Д. О преобразовании серпентина в процессе выветривания кимберлитов Якутии. - Докл.АН СССР, 1980₁, т.250, № 3, с.697-702.
- Зинчук Н.Н., Котельников Д.Д. Генезис каолинита и галлуазита в коре выветривания на туфах и туфогенных породах Якутии. - Докл.АН СССР, 1980₂, т.251, № 1, с.193-198.
- Зинчук Н.Н., Котельников Д.Д. Монтмориллонит в древних корах выветривания на долеритах Якутии. - Докл.АН СССР, 1981, т.256, № 1, с.168-171.
- Котельников Д.Д., Зинчук Н.Н. Механизм образования каолинита в коре выветривания терригенно-карбонатных пород нижнего палеозоя Западной Якутии. - Докл.АН СССР, 1980₁, т.250, № 6, с.1441-1444.
- Котельников Д.Д., Зинчук Н.Н. Специфические особенности смешанослойных образований в древних корах выветривания Якутии. М.: ВИНТИ, 1980₂. 17 с.
- Мишин В.М. Уровни формирования предположительно бокситоносных кор выветривания Якутии. - В кн.: Континентальные перерывы и

коры выветривания Сибири. Новосибирск, 1971, с.109-110 (Тр. СНИИГТИМС).

Рожков И.С., Михалев Г.П., Прокопчук Б.И., Шамшина Э.А. Алмазоносные россыпи Западной Якутии. М.: Наука, 1967. 280 с.

Харькив А.Д. Минералогические основы поисков алмазных месторождений. М.: Наука, 1978. 136 с.

Харькив А.Д., Мельник Ю.М. Древняя кора выветривания кимберлитовых пород трубы имени XXIII съезда КПСС (Малоботубинский алмазоносный район). - В кн.: Геология, петрография и минералогия магматических образований северо-восточной части Сибирской платформы. М.: Наука, 1970, с.230-246.

Черный Е.Д., Борис Е.И., Зинчук Н.Н., Мельник Ю.М. Коры выветривания на породах основного состава южной части Малоботубинского района. - В кн.: Кора выветривания и гипергенное рудообразование. М.: Наука, 1977, с.264-272.

Шамшина Э.А. Коры выветривания кимберлитовых пород Якутии. Новосибирск: Наука, 1979. 150 с.

Шамшина Э.А., Шпунт Б.Р. Эпохи корообразования на территории Якутии. - В кн.: Древние коры выветривания Якутии. Якутск, 1975, с.3-29 (Тр.ЯФ СО АН СССР).

УДК 553.4II.068.5 (57I.56)

М.А.Егорова

МЕТАЛЛОНОСНОСТЬ АНТРОПОГЕННЫХ ОТЛОЖЕНИЙ ЛЕВЫХ ПРИТОКОВ СРЕДНЕГО ТЕЧЕНИЯ РЕКИ ЛЕНЫ

Левобережье среднего течения р.Лены от р.Джерба на западе до р.Кенкеме на востоке относится к слабоизученным в металлогеническом отношении площадям. Изучение металлоносности этой части Сибирской платформы, расположенной на стыке Вилойской синеклизы и северного склона Алданского щита, важно и с точки зрения оценки источника региональной золотоносности Вилойской синеклизы.

Регион сложен в основном карбонатными кембрийскими, ордовикско-силурийскими, а также терригennыми мезозойскими толщами (рис. I). В меньшей мере представлены рифейские (низовья р.Джерба, бассейн р.Ура и др.) и девонские (реки Бирюк, Намана) отложения. Ограниченно распространены изверженные и эфузивные породы основного и

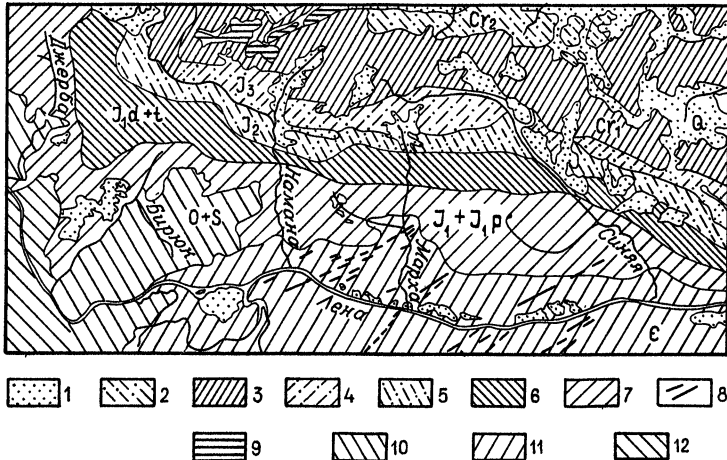


Рис. I. Схема геологического строения левобережья среднего течения р.Лены:

I - пески, суглинки с примесью гальки (Q); 2 - пески с прослойями глины (K_2); 3 - пески с прослойями глин, аргиллитов, глинистых мергелей и бурого угля (K_T); 4 - песчано-алевритоглинистые породы; 5 - алевролиты с эпизодическими песчаниками (J_2); 6 - песчано-алевритоглинистые породы ($J_{1,d+t}$); 7 - песчано-алевритовые породы ($J_1 + J_{1,p}$); 8 - дайки среднепалеозойского возраста; 9 - полевошпатово-кварцевые песчаники, алевролиты (D); 10 - доломиты и мергели, глины, алевролиты с прослойями кварцевых песчаников и плоскогалечными конгломератами ($O + S$); II - кембрийские доломиты, известники; 12 - докембрийские отложения

щелочного состава, главным образом среднепалеозойского возраста.

Широко развиты также отложения антропогенного возраста, детально изученные М.Н.Алексеевым [1978], М.В.Ревердатто [1960] и др. По данным этих авторов, в долине р.Лены выделяются семь уровней террас с относительными высотами: 140–170, 100–120, 75–100, 45–65, 25–40, 20–25 и 12–18 м. В ее притоках им соответствуют террасы более низких уровней. Остатки реликтов древней гидросети, соответствующей по возрасту верхнему (миоцен–плиоценовому) уровню террас, сохранились в междуречьях и придолинных участках рассматриваемой территории.

История изученности района подразделяется на несколько этапов: этап эпизодических геологических маршрутов, старательской разведки и отработки обнаруженных россыпей проявлений (конец XIX – по 30-е годы XX вв.), этап планомерных геологических исследований и площад-

ной геологической съемки (50–60-е гг.) и этап целенаправленного изучения россыпной и коренной золотоносности, охватывающий последние два десятилетия.

Ценная информация как в геологическом, так и в отношении полезных ископаемых сосредоточена в работе А.Г.Ржончицкого [1918]. Важно отметить, что в ранних работах геологов упоминается не только о наличии на этой территории золота, но и платины [Грунвальд, 1927]. Сведения о золоте основывались на данных старательских работ и заявках. Старательские разработки производились по р.Намана (притоки Ет-Кюель, Кыгыны и др.), по р.Намылджалах (приток р.Марха), по р.Чына (приток р.Синяя) и др.

Значительно больше информации о золотоносности было получено во время этапа планомерных геологических съемок и исследований. Работами Ботуобинской экспедиции в 1960–1969 гг. на левобережье р.Лены была установлена устойчивая повышенная золотоносность русловых отложений рек Джерба, Чына, Намылджалах и др. Начиная с 1967 г., изучение коренной и россыпной золотоносности этой территории проводится Институтом геологии ЯФ СО АН СССР. Г.В.Коробков и О.В.Степанов, изучавшие золотоносность территории левобережья р.Лены от устья р.Намана до устья р.Марха, отметили метасоматические залежи, сформированные на контакте юрских и кембрийских отложений и имеющие связь с дайковым комплексом субшелочного состава. О связи проявлений золотоносности с разрывными нарушениями в бассейне р.Джерба упоминал Б.И.Колеватов [1966].

Золотоносность Приленского района длительное время изучалась Н.Т.Родионовым [1969], который установил, что золото в россыпях связано с высвобождением его из обломков золотосодержащих пород при процессах выветривания, происходивших в конце мезозоя – начале кайнозоя, с последующим переотложением продуктов кор выветривания. Наиболее перспективными в отношении золотоносности он считает древние долины. В.М.Мишнин [1977] описал золотоносный неоаллювий на смежной территории, который, безусловно, может служить своего рода дополнительным источником для формирования русловых россыпей.

В.Л.Масайтис [1965, 1967], В.Л.Масайтис, Ю.Г.Старицкий и Е.В.Туганова [1969] на основе изучения изверженных пород и выяснения связи с ними различных эндогенных полезных ископаемых отметили, что со среднепалеозойским траптовым магматизмом, проявившимся в различной форме в пределах рассматриваемого региона, связаны проявления магнетита, галенита и золота. Самородный свинец и галенит постоянно встречаются в шлихах русловых отложений р.Намана.

М.А.Чумак, В.И.Тимофеев и Б.Р.Шпунт [1967] считали первичными источниками россыпного золота Юго-Западной Якутии сульфидные рудопроявления, приуроченные к участкам интенсивной трещиноватости карбонатных пород вблизи разломов, и полагали возможность обнаружения здесь рудных залежей куранахского типа.

Таким образом, мнения различных исследователей об источниках золота в россыпях Юго-Западной Якутии весьма разнообразны и противоречивы.

В геоморфологическом отношении территория сложная и лишь условно выделяется как единое Лево-Ленское плато [Трушков и др., 1975]. Сложность рельефа обусловлена, с одной стороны, антецедентным характером развития левых притоков р.Лены и, с другой стороны, широким вскрытием на большой площади контакта терригенных юрских отложений с карбонатными породами палеозоя. Вершинная поверхность имеет общий наклон в сторону р.Билкой.

Рассмотрим россыпную металлоносность двух типичных геологого-геоморфологических профилей, пересекающих основные геологические образования территории. Шлиховое опробование рыхлых отложений вдоль этих профилей произведено Э.Д.Избековым. В обработке материалов опробования участвовала автор этой работы.

Металлоносность русловых отложений р.Намана изучалась от руч.Ходуса-Юрях до ее устья (рис.2). Отобраны 2I валовая крупнообъемная пробы ($0,25-1\text{ m}^3$) и 83 мелкообъемных пробы ($0,01-0,1\text{ m}^3$). Опробованию подвергались русловые отложения мелких кос, бичевников и перекатов.

На территории размыва среднеюрских и верхнеюрских отложений русловой аллювий представлен в основном разнозернистыми песками. В русловых песках содержание золота размером $0,1-0,25\text{ mm}$ составляет несколько знаков на кубический метр промытого грунта при наличии галечно-гравийных обломков – от единиц до десятков миллиграммов на кубический метр.

Таким образом, в пределах размыва среднеюрских и верхнеюрских отложений металлоносность руслового аллювия слабая. Как исключение более высокая золотоносность отмечена в местах распространения и переотложения доплейстоценовых галечников. Одним таким местом является участок русла р.Намана в 10 км выше устья р.Кейиктэ напротив оз.Онкучак-Кюель, где встречены переотложенные галечники кремнисто-кварцитового состава.

О характеристике металла на этом участке можно судить по золоту, намытому в русле р.Намана в 1,5 км выше оз.Ойбон-Кюель (рис.3,а).

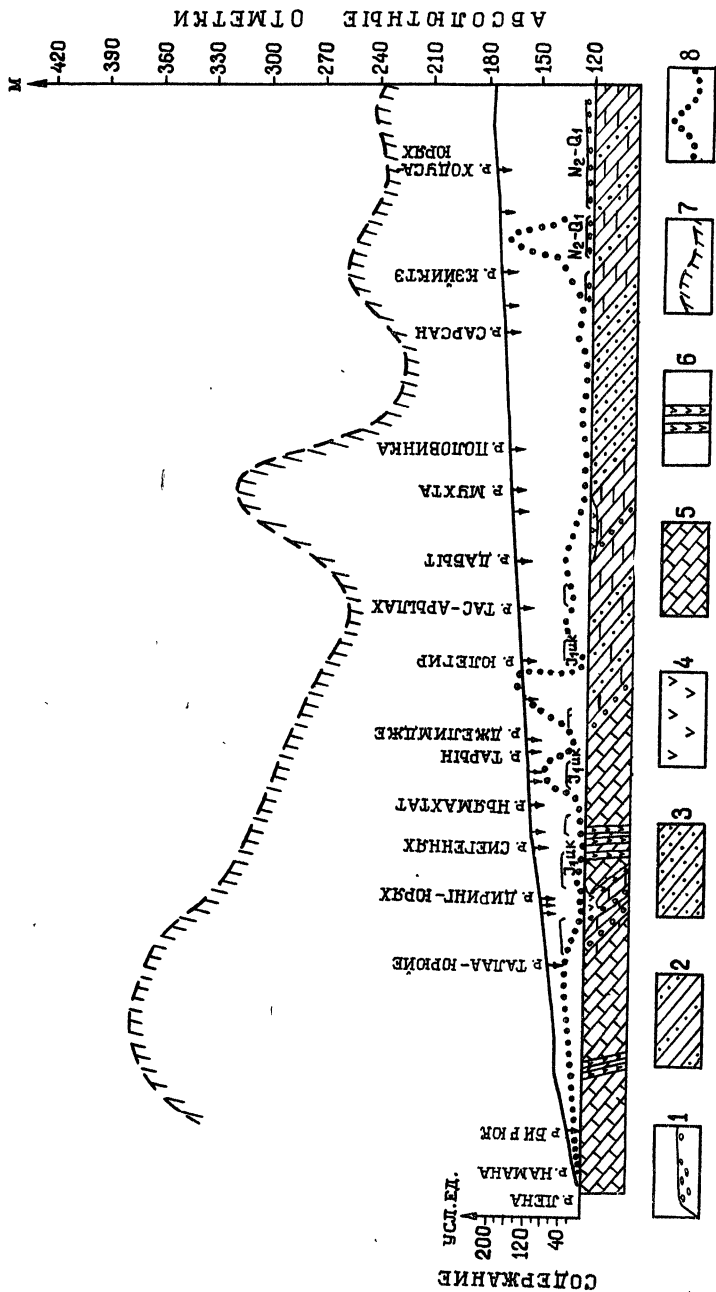


Рис. 2. Геолого-геоморфологический профиль и металлоносность вдоль р. Намана:
 1 - неоген-четвертичные отложения (N_2 - Q_1); 2 - юрские алевродиты с эпизодическими песчаниками (J_2+3); 3 - юрские песчаники (J_1 иск.); 4 - покровы трахисазальтов, гравийно-глинистых и др. (D_3); 5 - кеморийские карбонатные отложения (E'); 6 - дайки среднепалеозойского возраста; 7 - верхняя поверхность; 8 - содержание золота, усл. ед.

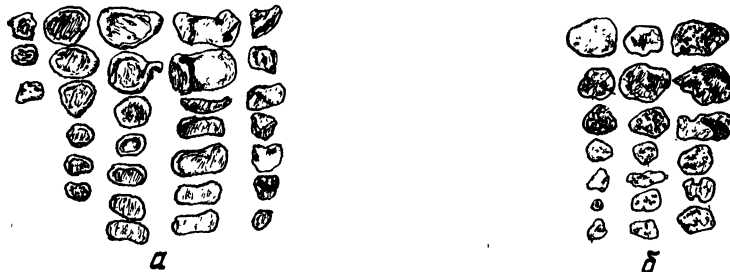


Рис.3. Основные типы золота русловых отложений р.Намана:

а - баагинский тип, сковородкообразное золото (проба Н-5), б - вилайский тип, чешуйчатое золото (проба Н-48)

Здесь при промывке 0,25 м³ грунта получено 185 золотин, которые имеют отличную и хорошую обработанность, 25% золота относится к фракции более 0,25 мм, 75% - менее 0,25 мм. По морфологии 64 золотины относятся к чешуйчатой, 91 - к сковородкообразной и 27 - к комковидной формам. Встречаются золотины с остатками оранжевых пленок, свидетельствующих об их пребывании в промежуточных коллекторах. Сковородкообразное золото сформировалось за счет равномерного бокового наклена чешуйчатых форм вилайского типа золота в прибрежно-морских условиях. Э.Д.Избековым [1977] оно отнесено к баагинскому типу. В зависимости от величины наклона выделяются зачаточная сковородкообразная тонкая и весьма зрелая, утолщенная за счет большой глубины "сковородок" формы (рис.3, а). В процессе эволюции в россыпях этот тип золота превращается в комковидное пустотелое, названное Э.Д.Избековым [1972] чокульским типом.

Интерес представляет и морфология изученных чешуек. Это в основном овальная и эллипсоидальная формы в плане, ровные плоскости которых буквально отполированы. Чешуйки очень тонкие. Коэффициент уплощенности их колеблется от I:15 до I:25. Вследствие этого они проявляют способность к различного рода пластичным деформациям. Размеры их составляют обычно от 0,1 до 0,5 мм.

Таким образом, морфологический состав золота здесь довольно разнообразный. Пробность золота находится в пределах 940-970. Из элементов-примесей в нем в порядке убывания отмечены железо, никель, кобальт, свинец и мышьяк^x.

В русловых отложениях, расположенных на площади денудации покровов девонских трахитов, трахибазальтов и трахиандезитов, отмечается

^x Аналитик Л.Щербина.

50% золота баагинского типа, 50% - вилюйского с редкими включениями гидроокислов железа и тонкими оранжевыми пленками, свидетельствующих, что источником его являются промежуточные коллекторы.

Не имеет существенных отличий металлоносность русловых отложений р.Намана, развитых в поле денудации нижнечарских отложений. Содержания металла в исследованных пунктах имеют тот же порядок, что и выше по профилю. Однако встречаемость проб с золотом значительно выше, чем на предыдущем участке. Характеристика золота этого участка следующая: 50% зерен торOIDальной формы разной степени наклена (баагинского типа), 12% - пустотелой, шаровидной (чокульского типа), 20% - сложнодеформированной (чешуйки, свернутые вдвое, втрое, воронкообразные и т.п.), 18% - плоской чешуйчатой формы.

В поле развития ордовикских и силурийских пород содержание металла в русловых отложениях повышается, но встречаются те же морфологические разности золота с заметным уменьшением золотин совершенного баагинского типа. Отмечено около 25% чешуек со слабым природным наклесом краев золотин. Количество сложнодеформированных золотин остается прежним - 20% (рис.3,б).

Относительно более высокое содержание золота характерно для русловых отложений, приуроченных к размыву контакта юрских отложений с кембрийскими. Важно подчеркнуть, что на поверхности кембрийских пород на этом контакте в обнажениях по р.Намана развиты древний карст и остатки тальвегов древних долин, заполненных обломочным, в том числе аллювиальным материалом. В карсте встречены лигнитизированные остатки древесины. Опробование галечников древнего тальвега руч.Асанчи, заложившегося на отложениях верхнего кембия, показало наличие 8 золотин чешуйчатой формы в пробе объемом 20 л. Не исключено, что часть золота в русловом аллювии обязана переотложению из подобных остаточных галечников. Содержание золота в русловых галечниках р.Намана на площади размыва кембрийских отложений колеблется от первых до многих десятков миллиграммов на кубический метр. Золото на этом участке характеризуется чешуйчатой формой разной степени обработанности, иногда с включениями пелитового материала.

Из анализа металлоносности русловых отложений р.Намана следует заключить: а) содержание золота увеличивается на участках размыва контакта кембрийских и юрских пород, а также перемыва древних галечников; б) между чешуйчатой и комковидной формами золота существуют постепенные переходы по степени его обработанности через сковородкообразную форму, количество которых увеличивается на участ-

ках размыва юрских коллекторов; в) в районе развития траппов не отмечается повышения золотоносности. По-видимому, золотоносность русловых отложений р.Намана связана с промежуточными коллекторами, металлоносность которых недостаточно изучена.

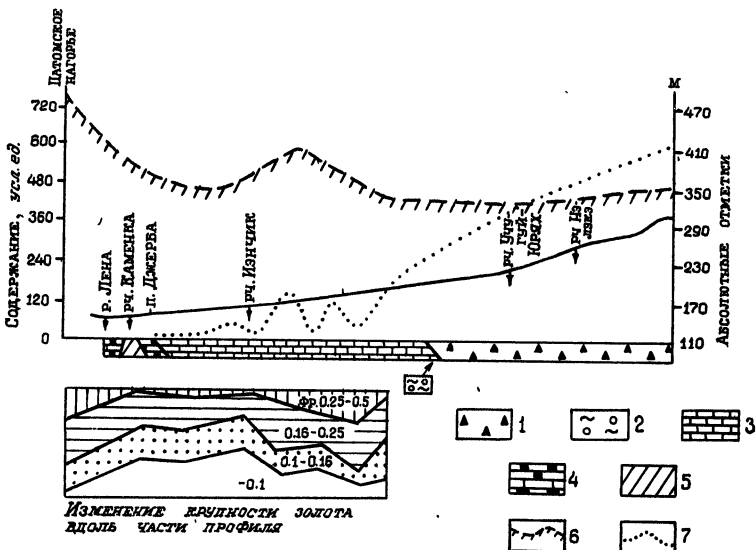


Рис.4. Геолого-геоморфологический профиль металлоносных русло-вых отложений р.Джерба:

I - юрские терригенные отложения; 2 - ирелякская свита ($T_3 - J$); 3 - ордовикские карбонатные отложения ($O_1 - O_2$); 4 - кембрийские карбонатные отложения (E); 5 - рифейские отложения (Rf); 6 - вершинная поверхность; 7 - содержание золота, усл. ед.

Металлоносность русловых отложений р.Джерба изучалась от ее верховьев до устья (рис.4). Количество валовых проб составляет 16, мелкообъемных - 72. В целом металлоносность вдоль этого профиля выше, чем по р.Намана, что видно из цифр условных содержаний золота. Металл вдоль этого профиля представлен чешуйчатой формой золота. Наибольшее его количество отмечается в русловых галечниковых отложениях р.Джерба в пределах поля размыва юрских отложений. Не исключено, что эти галечники связаны с древней гидросетью, реликты которой имеются здесь повсеместно, так как разрезы юры здесь представлены в основном псамитовыми и алевритовыми образованиями.

Русловые отложения р.Джерба в пределах размыва ордовикских и

кембрийских отложений менее золотоносны, чем в поле развития кури.

Общие выводы. В целом проведенное изучение свидетельствует о принципиальном наличии россыпного золота на исследуемой территории. Интенсивность золотоносности здесь гораздо меньшая, чем к северу (в пределах Вилойской синеклизы) или к югу (в сторону Алданского щита). Вместе с тем здесь совершенно не изучены вопросы металлоносности промежуточных коллекторов, не найдены коренные источники металла, не прослежена эволюция россыпнеобразования.

Список литературы

Алексеев М.Н. Антропоген Восточной Азии. М.: Наука, 1978. 208 с.

Грунвальд П.В. Горные богатства Якутии. Якутск, 1927, с.3-127.

Избеков Э.Д. Особенности россыпного золота Вильской синеклизы и прилегающих районов. - В кн.: Рассыпи золота и их связь с коренными месторождениями Якутии. Якутск: Кн.изд-во, 1972, с.178-199.

Избеков Э.Д. Об особенностях золота мезозойских и палеозойских коллекторов Вильской синеклизы. - В кн.: Древние и погребенные россыпи СССР. Часть 2. Киев: Наукова думка, 1977, с.82-85.

Колеватов Б.И. О связи проявлений золотоносности с разрывными нарушениями в бассейне р.Джербы. - Материалы по геологии и полезным ископаемым Якутской АССР, вып.15. Якутск, 1966, с.141-143.

Масайтис В.Л. Среднепалеозойская траповая формация на Сибирской платформе. - Докл.АН СССР, 1965, т.162, № 3, с.636-639.

Масайтис В.Л. Изверженные породы и магнетитовое орудение бассейна среднего течения Лены. - Тр.НИИГА, 1967, вып.151, с.84-93.

Масайтис В.Л., Старицкий Ю.Г., Туганова Е.В. Рудоносность магматических формаций Сибирской платформы. - В кн.: Рудообразование и его связь с магматизмом. Якутск, 1969, с.106-110.

Мишинин В.М. Золотоносный неоэлювий Пилькинского предгорного прогиба (Юго-Западная Якутия). - В кн.: Дальность переноса золота при формировании россыпей. Якутск, 1977, с.91-95.

Ревердатто М.В. К геоморфологии древней долинной сети бассейна среднего течения Лены и террас Лены и Вилоя. - Геология и геофизика, 1960, № 4, с.43-62.

Р ж о н с и ц к и й А.Г. Краткий очерк о геологических исследованиях в бассейнах рек Вилюя и Лены. - Зап.минер.о-ва, сер.2, 1918, ч.51. вып.1, с.201-230.

Р одионов Н.Т., И ванов И.Н. Линейная кора выветривания и россыпи золота в среднем Приленье. - В кн.: Проблемы геологии россыпей. Магадан, 1969, с.133-134 (Тезисы докладов III Всесоюзного совещания по геологии россыпей).

С т а р и ц к и й Ю.Г., Б а с к о в Е.А., М а л ы х Н.С. и др. Минерагения Сибирской платформы. М.: Недра, 1970. 208 с.

Т р у ш к о в Ю.Н., И з б е к о в Э.Д., Т о м с к а я А.И., Тимофеев В.И. Золотоносность Виллюйской синеклизы и её обрамления. Новосибирск: Наука, 1975, с.150.

Ч у м а к М.А., Т и м о ф е е в В.И., Ш п у н т Б.Р. Перспективы золотоносности Западной Якутии. - В кн.: Тезисы докладов совещания геологов Якутии по золоту. Якутск, 1967, с.31-32.

УДК 553.078.8

Т.С.Киurusенко, Н.В.Белозерцева

ПРИНЦИПЫ СОСТАВЛЕНИЯ ЛЕГЕНДЫ
ГЕОМОРФОЛОГИЧЕСКОЙ КАРТЫ ЮЖНОГО ВЕРХОЯНЬЯ
(в связи с поисками россыпей золота и других полезных ископаемых)

При составлении геоморфологических карт широко используются приемы оконтуривания генетически однородных поверхностей путем изменения цветовой окраски и обозначения их возраста различными штриховыми знаками [Методическое руководство..., 1978]. Но составленные таким образом карты являются по существу картами поверхностей, выделенных по преобладающему на данном участке рельефообразующему процессу. История же развития рельефа на таких картах не читается. Например, обвально-осипные, оползневые, солифлюкционные и другие генетические типы склонов обозначаются цветом по генезису независимо от того, где они развиты: на эрозионном склоне, на бывшей стенке трога или на доледниковой поверхности. Таким образом, картирование генетически однородных поверхностей в данном случае отражает лишь динамику развития современных склонов и затушевывает историю формирования рельефа.

Учитывая это, авторами предпринята попытка составления легенды геоморфологической карты, отражающей основные этапы развития горного рельефа. Предлагаемые принципы и методика работ имеют следующие особенности:

1. При картировании длительно развивающихся поверхностей площадной закраской обозначаются формы рельефа ранних этапов. Более поздние (наложенные) денудационные и аккумулятивные формы выделяются штриховыми знаками. На участках, где поверхности ранних этапов частично уничтожены эрозией, восстанавливаются границы предполагаемых древних форм рельефа.

2. Различные по генезису формы рельефа, принадлежащие одному и тому же этапу развития, закрашиваются по общепринятой генетической легенде, но вместе с тем объединяются в единый контур одинаковой интенсивностью закраски.

3. Текстовая часть легенды компонуется не по генетическому принципу, а по этапам развития рельефа, что позволяет последовательно рассмотреть историю его формирования.

Составленная легенда предлагается для северной половины Южного Верхоянья, где развит среднегорный и высокогорный эрозионно-денудационный (местами структурно-денудационный) рельеф со следами горнодолинного и полупокровного оледенений. Наличие ледниковых форм дает возможность проследить этапы развития рельефа; выделить реликты стяженного доледникового рельефа, сформировавшегося при отсутствии многолетней мерзлоты и в условиях интенсивного химического выветривания, "отбить" ледниковые поверхности – ледосборные поля, остатки трогов, морены среднечетвертичного и верхнечетвертичного оледенений (большей частью нерасчлененных), детально показать послеледниковый эрозионно-гравитационный рельеф на участках высокогорья с интенсивным проявлением криогенных процессов.

В процессе картирования необходимо учитывать следующие моменты:

1. При составлении карты предпочтение отдается отражению поверхностей и форм, созданных в доледниковый и ледниковый этапы.

2. Ледниковые поверхности и формы показывают не обособленными, не связанными между собой контурами, а таким образом, чтобы прослеживались переходы от ледосборов к участкам транспортировки льда и к конечным моренам. Это достигается избирательной закраской и обязательным проведением установленных или предполагаемых границ ледниковых долин и ледосборных полей.

3. Аккумулятивные формы и элементы их показывают черными штриховыми обозначениями рыхлых отложений, нанесенными на цветовом фоне генетически однородной поверхности. Таким же образом, штриховой, соответствующей составу коренных пород, показывают структурные поверхности или формы. Цветными, тоже штриховыми знаками обозначают проявления наложенных процессов: неотектоники, солифлюкции, оползней и т.п.

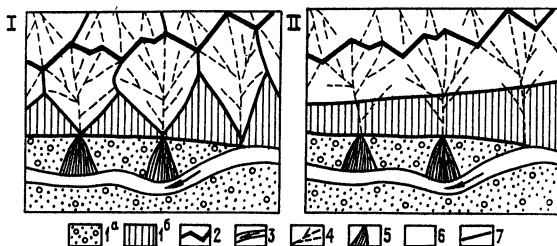
4. При изображении склонов обязательен показ водораздела между смежными формами – долинами коротких притоков, водосборными участками временных потоков, даже если они одинаковы по генезису и этапу развития, т.е. имеют одну и ту же закраску. Благодаря этому карта становится объемной, более приближенной к рисунку, образованному этими формами на аэрофотоснимках. В районах высокогорного эрозионно-гравитационного послеледникового рельефа такой рисунок на снимке и на карте представляет собой мозаику многоугольников – водосборных полей крутых ручьев. Реликты стенок трога имеют вид треугольников или трапеций у подножия склонов ледниковой долины. В среднегорном рельфе на водоразделах и склонах обычно сохраняются поверхности доледникового и ледникового рельефа, а водосборные поля ручьев, образовавшихся в послеледниковый этап, врезаны наподобие оврагов. Этот наложенный эрозионно-гравитационный рельеф в плане имеет характерный рисунок, напоминающий дубовый лист (на полях развития алевролитов и аргиллитов) или кленовый лист (на более устойчивых к выветриванию породах).

5. Генерализацию контуров производят таким образом, чтобы не уничтожались, а подчеркивались соотношения с соседними поверхностями и формами: относительный возраст, сингенетичность склоновых форм разных этапов с конусами выноса, а последних – с формами и элементами форм днища долины.

6. Линия перехода склона в поверхность днища долины должна подчеркивать возрастные соотношения между ними. Типичной ошибкой является проведение тылового шва ледниковой долины не в виде прямолинейной или плавно изогнутой вдоль трога линии, а мелко изогнутыми контурами с заливами в долины ручьев, образовавшихся в послеледниковый этап. Эта же ошибка нередко сохраняется при изображении форм гравитационного и эрозионно-гравитационного рельефа на нерасчлененном склоне в виде сплошных пятен или полос. В последнем случае "отсекаются" участки, суженные в сторону днища, а геоморфологическая граница "счет" эрозионные ложбины, расчленяющие склон (рисунок).

7. При картировании криогенных форм отдельными знаками выделяют проявления солифлюкции, связанные с выходами подземных вод, с неотектоникой и деятельностью человека (вырубкой леса, проведением дорог, лесными пожарами).

8. Взаимоотношение геоморфологических форм с месторождениями полезных ископаемых, в частности золота, отражено знаками 24, 36 и 40 (табл. I-2). Знак 24 – стабильные осипные склоны с наклоном, рав-



Рисовка границ молодого эрозионно-гравитационного рельефа:

I – правильная; II – неправильная. I – днище (а) и склон (б) долины раннего этапа; 2 – водораздел; 3 – современное русло; 4 – эрозионные ложбины и русла мелких водотоков; 5 – конусы выноса; 6 – эрозионно-гравитационный рельеф позднего этапа; 7 – геоморфологические границы

ным углу естественного откоса, с прямым продольным профилем (наблюдались Т.С.Кикусенко в 1963 г. в бассейне р.Аллах-Юнь). К таким склонам, покрытым осыпями алевролитов, прилегают участки днища долины со слабым проявлением глубинной эрозии и мощностью аллювия менее 1 м. В их пределах ручей перемещался от склона к склону, а золото замывалось в сланцевую щетку как в естественный трафарет. Такой рельеф относится к выделенной О.В.Кашменской "формации склонов равновесного развития, где и имеет место интенсивная линейная концентрация золота, обусловленная сочетанием процессов перестилания аллювия..." с малой дальностью переноса золотин. Это наиболее перспективные в отношении россыпьобразования динамические формации горного рельефа [Кашменская, 1976].

Знак 36 – участки развития солифлюкционных опльвин и оползней, связанных с выходами подземных вод по минерализованным зонам дробления и смятия. Особенностью таких участков является почти одинаковое их распространение на склонах южной и северной экспозиций.

Знак 40 – склоны, образовавшиеся без воздействия неотектонических процессов, повышенная крутизна характеризует склоны, обращенные к северу и востоку в связи с менее интенсивным протаиванием мерзлых пород. Такие крутые, обращенные к югу склоны наблюдались в широтной долине притока р.Аллах-Юнь. К южному, более пологому склону тяготеют древние русловые россыпи золота.

9. Геоморфологическая карта в значительной степени дополняется и обогащается стандартными обозначениями мелких форм рельефа. В дан-

Таблица I

Легенда геоморфологической карты масштабов 1:50 000 и 1:25 000
(Основные обозначения)

Знак	Цветной фон	Штриховая нагрузка	Элементы и формы рельефа
I	2	3	4
<u>Реликты доледникового рельефа</u>			
<u>Структурно-денудационный рельеф</u>			
I	Серый, светлый	Горизонтальная, черная штриховка	Поверхности, бронированные пластами коренных пород, горизонтальные и пологонаклонные на водоразделах и нагорных террасах
2	То же	Штриховка, соответствующая составу коренных пород, ориентированная по простирианию пластов, покровов	Поверхности на склонах, бронированные коренными породами
3	Оранжевато-серый, светлый	Отсутствует	Делювиально-осипные склоны нагорных террас и куэст
4	То же	Красная штриховка, ориентированная по падению склона	Делювиально-осипные склоны, развитые по сместителю разрывных нарушений
<u>Эрозионно-денудационный рельеф</u>			
5	Желтый разной интенсивности, соответствующий реликтовым уровням	Отсутствует	Реликты поверхностей выравнивания (по уровням)
6	Красновато-коричневый, светлый	Черная штриховка, ориентированная по падению склона	Делювиально-осипные склоны с наклоном, близким углу естественного откоса. Соответствуют обстановке, наиболее благоприятной для накопления аллювиальной россыпи в условиях равновесного развития горного рельефа
7	То же	Отсутствует	Делювиальные (аллювиально-делювиально-осипные) склоны с наклоном менее угла естественного откоса
8	Светло-зеленый	"	Днища древних долин и поверхности террас, сформированные до тазовского времени (за пределами распространения оледенения)

Продолжение табл. I

I	2	3	4
<u>Формы ледникового рельефа (Формы разного возраста, разных стадий оледенения отражены интенсивностью цветовой окраски)</u>			
9	Лиловый	Горизонтальная, черная штриховка	Водоразделы и склоны, обработанные ледником
10	"	Обычный знак	Эрратические валуны
II	"	Черная штриховка, ориентированная по падению склона	Стенки трогов, сохранившие в общих чертах характерную для трога морфологию
12	"	То же, но нанесены треугольнички осьми	Стенки трогов, переработанные гравитационными процессами и превращенные в осьмиподобные склоны с промоинами и ложбинами камнепадов
13	"	Лиловая линия с бергштрихами	Плечи трогов
14	"	Черный тройной пунктир вдоль трога	Следы ледникового простирания на стенках трогов (внешне масштабный знак - два-три коротких отрезка линии)
15	"	Обычный знак	Маргинальные каналы
16	"	Отсутствует	Днища ледниковых долин и ледосборных полей (часто поверхность ледниковой террасы)
I7	"	Штриховка соответствует составу коренных пород	Бараньи лбы
I8	"	Знак ледниковых отложений	Морены, сложенные ледниково-ыми отложениями
I9	"	Знак аллювия	Морены, сложенные перемещенным аллювием
20	"	Лиловая прерывистая линия с бергштрихами	Предполагаемый контур ледниковой долины
21	"	То же, с зубцами	Предполагаемая устьевая ступень ледниковой долины
22	"	Лиловая стрелка, сплошная или прерывистая	Направление движения льда (установленное или предполагаемое)
<u>Формы послеледникового эрозионно-гравитационного рельефа</u>			
Осыпные склоны и надпойменные террасы долин крупных водотоков			
23	Желтовато-коричневый средней интенсивности	Отсутствует	Развивающиеся склоны с наклоном более угла естественного откоса с вогнутым продольным профилем

Окончание табл. I

I	2	3	4
24	Желтовато-коричневый средней интенсивности	Черная штриховка, ориентированная по падению склона	Стабилизированные склоны с наклоном, равным углу естественного откоса, с прямым продольным профилем. Соответствуют обстановке равновесного развития горного рельефа, наиболее благоприятной для накопления россыпи
25	То же	Лиловая штриховка, ориентированная по падению склона	Склоны, преобразованные из стенок трогов (предпочтительнее условное обозначение 12)
26	Зеленый	Знаки аллювия на аккумулятивных формах	Поверхности террас эрозионных уровней (общепринятые обозначения)
27	"	Обычные знаки	Конусы выноса, соответствующие уровням террас
Осыпные склоны и пойменные террасы долин мелких водотоков			
28	Коричневый интенсивный	Отсутствует	Обвально-осыпные и развивающиеся осыпные склоны долин коротких ручьев и ложбин временных потоков. Характерно развитие перисто-разветвленных промоин и ложбин движения камнепадов
29	Лиловый интенсивный	Обычные знаки	Цирки, кары ледников и снежников голоцен. Днище можно выделить черной штриховкой на том же цветном фоне
30	Зеленый интенсивный	То же	Русловой и пойменный комплекс
31	То же	"	Конусы выноса современных русел рек и ручьев (интенсивно растущие и стабилизированные)
32	Цвет поверхности, подстилающих конусы	"	Конусы выноса временных потоков камнепадов

ной легенде они не приведены, так как широко представлены во всех руководствах.

По сравнению с условными обозначениями распространенных в настоящее время методических руководств, предлагаемая легенда может иметь лучшие практические результаты при поисках золота и других полезных ископаемых, так как позволяет отразить этапы развития не

Таблица 2

Легенда геоморфологической карты масштабов 1:50000 и 1:25000
 (Дополнительные обозначения)

Знак	Штриховая нагрузка, наложенная на цветной фон геоморфологической поверхности	Процессы образования и формы рельефа
I	2	3
<u>Проявления криогенных процессов</u>		
33	Черные мелкие полукруглые скобочки, выпуклые вниз по склону	Проявления солифлюкции в связи с естественной оттайкой мерзлых пород
34	То же, но скобочки пунктирные	Проявления солифлюкции в связи с деятельностью человека
35	Знак 33, но красный	Проявления солифлюкции в связи с неотектоникой (увеличением наклона делювиального склона)
36	То же, но скобочки из двойной линии	Участки развития оползней, связанных с выходами подземных вод по минерализованным зонам дробления и смятия
37	Обычные знаки	Мелкие мерзлотные и солифлюкционные формы
38	То же	Наледи
<u>Проявления неотектоники</u>		
39	Красная штриховка, ориентированная по падению склона	Склоны, развивающиеся на сместителе четвертичных разрывных нарушений
40	То же, но штриховка пунктирная	Склоны с повышенной крутизной, обусловленной односторонней боковой эрозией, в связи с неотектоническим наклоном бассейна водотока (обращенные к югу)
41	Красная сплошная или пунктирная линия	Четвертичные разрывные нарушения, установленные и предполагаемые
42	Красный контур с бергштрихами	Четвертичные впадины, установленные по мощности рыхлых отложений
43	Красный пунктирный контур с бергштрихами	Поднятия и опускания, предполагаемые по данным морфоструктурного анализа
44	Точка и цифра - красные	Точки наблюдения проявлений неотектоники

I	2	3
---	---	---

Литологический состав коренных пород
и рыхлых отложений

- | | | |
|----|---|---|
| 45 | Черные штриховые обозначения литологической легенды | Литифицированные и нелитифицированные отложения |
|----|---|---|

только террасового комплекса, но и рельефа в целом. На карте и в тексте легенды более полно представлена история развития горного рельефа, включающая этапы эрозионного вскрытия тел и образования россыпей. Обособляются площади с разными горно-геологическими условиями для использования поисковых методов, например участки доледникового рельефа, благоприятные для геохимических поисков по вторичным ореолам. Разделение склонов по крутизне относительно естественного откоса дает возможность выделить отрезки долин с условиями, благоприятными для россыпьобразования, соответствующими динамической формации развития горного рельефа. В легенде отражены связи между проявлениями неотектоники и местоположением россыпей, а также предполагаемое значение местных особенностей рельефа как поисковых признаков.

С п и с о к л и т е р а т у р ы

Ганешин Г.С. Геоморфологическое картирование и картирование четвертичных отложений при геолого-съемочных работах. М.: Недра, 1979.

Геоморфологическое картирование/ Под ред. Н.В. Башениной. М.: Высшая школа, 1977.

Кашменская О.В. Изучение структуры горного рельефа при поисках аллювиальных россыпей золота. - В кн.: История развития рельефа Сибири и Дальнего Востока. Новосибирск, 1976, с. I07-II0.

Методическое руководство по геоморфологическим исследованиям. Л.: Недра, 1972.

Методическое руководство по геологической съемке масштаба 1:50000. Т.2. Л.: Недра, 1978.

Спирidonов А.И. Геоморфологическое картирование. М.: Недра, 1975.

Спирidonов А.И. О легендах геоморфологических карт крупных съемочных масштабов. - В кн.: Геоморфологическое картирование. М.: Недра, 1978, с. I5-I8.

Типовая легенда геоморфологических карт. Л.: ВСЕГЕИ, 1977.
Шаньгин Д.М. О возрастных (эрозионно-циклических) геоморфологических картах. - В кн.: Руководство по ведению геолого-поисковых работ. Магадан, 1949.

УДК 553.4II.068.5

В.П.Грищенко

ВОЗМОЖНОСТИ СОВЕРШЕНСТВОВАНИЯ МЕТОДИКИ ОПРОБОВАНИЯ РОССЫПЕЙ ЗОЛОТА

В настоящее время разведка траншеями и подземными выработками широко применяется при промышленной оценке россыпей со сложными горно-геологическими условиями и неравномерным распределением золота. Получаемые при этом результаты по сравнению с другими способами разведки наиболее достоверны. Однако часто расхождения между добываемыми и подсчитанными запасами полезного компонента даже при названных способах разведки весьма значительны и могут достигать 70%. Анализ причин этого несоответствия указывает на ряд недостатков в опробовании горных выработок наиболее распространенными бороздовыми и валовыми способами.

Борзовое опробование устанавливает истинную мощность песка и торфа, а валовое - среднее содержание компонента на выемочную мощность металлоносных отложений. Пересчет среднего содержания золота на продуктивный пласт производится по формуле:

$$C = \frac{C_M \times \Pi_{ср}}{M_{ср}},$$

где C - среднее содержание на промышленный пласт, усл.ед./ m^3 ; C_M - среднее содержание на выемочную мощность металлоносных отложений, усл.ед./ m^3 ; $\Pi_{ср}$ - средняя выемочная мощность металлоносных отложений в выработке по секции, м; $M_{ср}$ - средняя мощность промышленного пласта в выработке по секции, м.

Применение данной формулы предполагает незначительную разницу в мощностях промышленного пласта и пласта металлоносных отложений, подлежащих выемке. Однако, как правило, содержание золота в россыпях по вертикали колеблется в широких пределах, и мощность выемочно-го горизонта может во много раз превышать мощность промышленного пласта (рис. I). Неправильное определение верхней и нижней границ промышленного пласта песков также обуславливает его искусственное обогащение поступлением золота из выемочного горизонта.

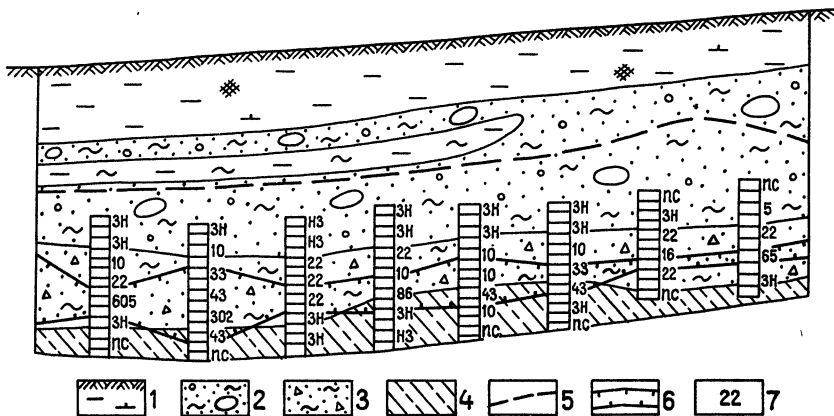


Рис. I. Колебания содержаний золота по отдельным проходкам и превышения мощности валовой промывки над мощностью промышленного пласта в пределах двух секций:

I - почвенно-растительный слой, лед, ил; 2 - аллювиальные отложения; 3 - элювий: щебень, песок, глина; 4 - коренные породы; 5 - уровень начала валовой промывки; 6 - мощность промышленного пласта; 7 - среднее содержание, усл.ед.

Анализ послойной промывки песков из траншей показывает, что общее количество металла, включаемого в промышленный пласт за счет продуктивного горизонта, по отдельным секциям может достигать 90% (рис.2), а в целом по некоторым месторождениям – 67%. Таким образом, точность определения верхней и нижней границ пласта песков при проходке разведочных выработок существенно влияет на оценку запасов металла в россыпях.

При проходке траншей на россыпях с неравномерным распределением золота и его значительной крупности существующая методика установления границ промышленного пласта путем отбора проб из лунок, копущей и борозд не дает достоверных результатов. Низкая частота встречи крупных золотин, извлеченных традиционным способом опробования, не позволяет определить промышленную ценность исследуемого продуктивного пласта. Это объясняется тем, что объем представительной пробы для таких россыпей должен составлять примерно $2,5 \text{ м}^3$, что превышает объем породы, извлеченной из разведочных горных выработок.

В связи с этим, верхняя граница песков определяется как условная поверхность, к которой приурочены первые (с момента начала про-

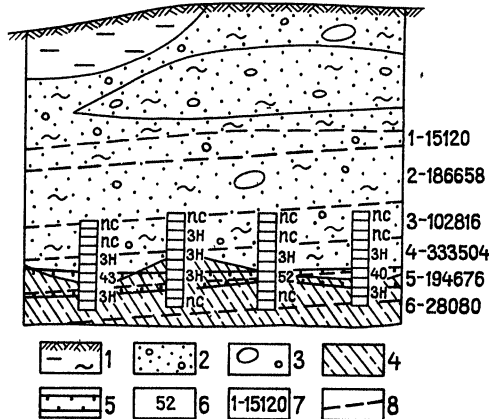


Рис.2. Общее количество золота, намытое послойно в пределах продуктивного горизонта одной секции разведочной траншеи, усл.ед.:

1 - почвенно-растительный слой, ил, глина; 2 - песок, гравий; 3 - валуны, галька; 4 - коренные породы; 5 - контур балансовых запасов; 6 - среднее содержание по проходкам; 7 - количество золота по слоям промывки и номера слоев в порядке их промывки; 8 - границы послойной промывки

мывки) весовые знаки золотин. Определенная таким образом граница, как показывает фактический материал, почти всегда не совпадает с верхней границей промышленного пласта, установленного бороздами, а мощность промытых песков из траншей значительно превышает мощность промышленного пласта (рис. I-3). Поэтому весь запас металла, установленный промывкой песков за пределами промышленного пласта, при подсчете среднего содержания золота на этот пласт по формуле (I) искусственно включается в него. Происходит завышение среднего содержания металла.

Для устранения искажения результатов траншевой разведки на горно-обогатительном комбинате Индигирозолото применена послойная промывка песков из траншей. Она заключается в следующем. После разбивки траншей на местности производится вскрыша торфов, опробование которых ведется лунками вслед за снятием слоя мощностью 20-30 см. Пробы промываются вручную на лотке. При появлении весовых знаков нижележащие пески промываются на промприборе 20-40-метровыми секциями и одновременно определяется оперативный объем промытых пес-

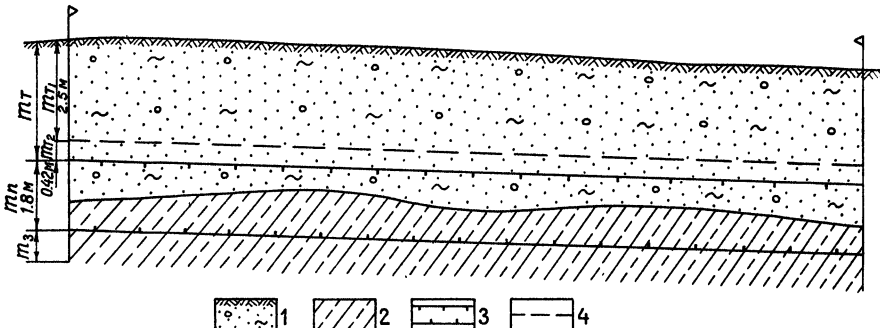


Рис.3. Показатели мощностей для подсчета запасов по разведочной траншее в пределах одной секции:

1 - почвенно-растительный слой и аллювиальные отложения; 2 - коренные породы; 3 - контур балансовых запасов ; 4 - подошва торфов до линии начала промывки

ков по количеству бульдозерных отвалов, поданных на бункер промприбора. Установленные параметры пласта занесены в таблицу.

Средние показатели подсчета запасов

Про- мышка	Опера- тивный объем песков, m^3	Поправоч- ный коэф- фициент	Замерен- ный объем, m^3	Среднее содержа- ние зо- лота, усл.ед.	Запасы про- мываемого золо- та, усл.ед.	Материал промывки
I	100	0,95	95	10	950	Торфа
2	80	0,95	75	18	1350	"
3	140	0,95	135	35	4720	Промышлен- ный пласт
4	120	0,95	115	90	10370	
5	90	0,95	85	140	11900	То же
6	120	0,95	115	115	13200	"
7	180	0,95	170	70	11900	"
8	130	0,95	120	40	4800	"
9	100	0,95	95	15	1420	"
10	80	0,95	75	5	380	"
Всего	II40	0,95	1080	-	60990	"

П р и м е ч а н и е . Ширина траншеи - 10 м, длина секции - 40 м, площадь секции - 400 m^2 .

После окончания промывки секции инструментально определяется объем извлеченных промытых песков. Отношение истинного объема промытых песков (1080 м^3) к оперативному (1140 м^3) дает поправочный коэффициент (0,95) к ежедневному оперативному объему промывки. Умножением параметров графы 2 на поправочный коэффициент получаем истинный объем промытых песков, который заносится в графу 4. С учетом установленных средних содержаний производится выделение промышленного пласта. Мощность торфов до линии начала промывки (M_{T_1}) определяется прямым маркшейдерским замером, мощность торфов ниже линии начала промывки (M_{T_2}) – делением объема промытых торфов ($95 \text{ м}^3 + 75 \text{ м}^3$) на площадь секции (400 м^2) ($M_{T_2} = 0,42 \text{ м}$). Общая мощность торфов $M_T = (M_{T_1} + M_{T_2})$. Таким же образом производится определение мощности промытых промышленных песков, а среднее содержание – делением запасов промытого золота (56890 усл.ед.) на соответствующий объем (740 м^3) песков – 77 усл.ед./ м^3 . При надобности определяется и мощность непромышленных песков, промытых в ложе секции (M_3 , рис.3).

При проходке сечений для крупнообъемного опробования россыпей подземным способом пространственное положение промышленного пласта определяется визуально по литологическому составу вмещающих отложений. И только после окончания проходки сечений по бороздам определяются истинное положение и мощность промышленного пласта. Если бороздовое опробование устанавливает, что часть металлоносного пласта оставлена в почве или кровле пройденной выработки, то на продолжении борозды проходится гезенк или восстакший и в этом пересечении пески добираются в валовую пробу до границ промышленного пласта.

Как показывает анализ по пройденным и опробованным таким способом сечениям (рис.4), мощность выемки металлоносных отложений в 2–5 раз превышает мощность промышленного пласта, т.е. аналогично, как и в траншевой разведке, промышленный пласт обогащается за счет золота, находящегося за его пределами.

Для уменьшения погрешности определения среднего содержания промышленного пласта на горно-обогатительном комбинате Индигирзолово проходит испытание следующая методика разведки россыпей подземными горными выработками. Весь комплекс работ вплоть до проходки околоствольного двора проводится по обычной схеме, которая хорошо изложена в имеющихся инструктивных материалах. Затем после оконтуривания металлоносного пласта в околоствольном дворе из него вкrest предполагаемой россыпи одновременно проходятся две рассечки. Весь грунт от проходки горных выработок убирается от устья ствола или

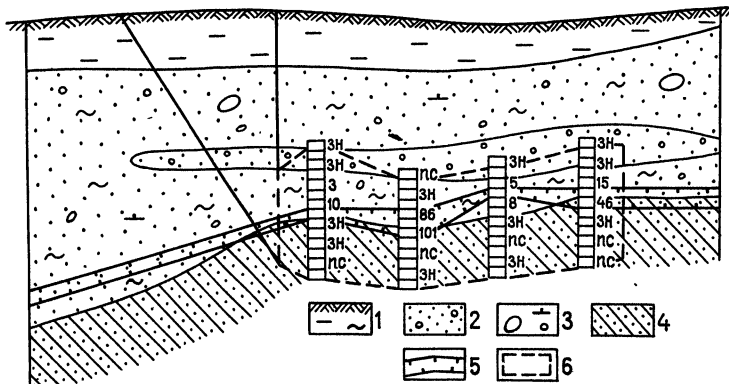


Рис.4. Мощность выемки отложений при добыче золота подземным способом:

I – почвенно-растительный слой; 2 – песок, гравий; 3 – валуны, галька, лед; 4 – пестчаники; 5 – контур балансовых запасов; 6 – выемочная мощность

вреза и складируется в общий отвал. Бороздовые пробы отбираются при проходке вслед за подвиганием забоев рассечек по сети 2–5 м для своевременной корректировки пространственного положения этих выработок согласно расположению промышленного пласта. После окончания проходки рассечек и установления истинного положения и мощности промышленного пласта нижняя стенка рассечек обуруивается штурмами в пределах этого пласта на глубину 0,5 м. Истинный объем песков получается от разности объемов выработок, замеренных маркшейдером до начала разбуривания и после взрыва.

Необходимо рекомендовать рассмотренный способ опробования горных выработок к широкому производственному внедрению, что позволит повысить достоверность подсчета запасов, увеличить производительность труда и удешевить стоимость геолого-разведочных работ.

УДК 553.4II.042

В.А.Баландин

О СОВЕРШЕНСТВОВАНИИ ПРОГНОЗНЫХ РАБОТ НА ЗОЛОТО (на примере диафторитового пояса хребта Станового)

На современном уровне изученности диафторитового пояса хребта Станового установлены следующие особенности рудной и россыпной золотоносности:

1. Зависимость пространственного распределения и интенсивности золотого оруденения от мезозойского гранитоидного магматизма отмечается почти всеми исследователями. При этом установлено, что подавляющее большинство рудопроявлений находится за пределами контуров интрузивных тел, обнаруживая концентрическую зональность по пробности.

2. Золото россыпей заметно крупнее золота известных коренных проявлений, где размеры выделений металла находятся в обратной зависимости от содержания сульфидов в руде. Обычное присутствие в одной и той же россыпи золота различных типов (по морфологии, пробности, составу) указывает на возможность существенного среза предполагаемых источников.

3. Большинство известных россыпей пространственно приурочено к тектонически активным, долгоживущим (по крайней мере в течение мезокайнозоя) зонам разломов, по которым в континентальных условиях интенсивно развивались процессы физического и химического выветривания. Максимальные концентрации золота в россыпях наблюдаются на участках развития сульфидной или полиметаллической минерализации.

4. Подавляющее большинство исследователей признают существование в качестве необходимого звена на пути прохождения золота из коренного источника в россыпь коры физико-химического выветривания, где собственно и происходит высвобождение металла из руд. Пребывание золота в условиях кор выветривания накладывает свой отпечаток на типоморфные особенности золотин — характер поверхности, микроструктуру, наличие оторочек с различной пробностью и т.д.

Можно считать принципиально доказанной возможность укрупнения золотин в зоне вторичного сульфидного обогащения коры выветривания [Несторов, 1970, 1973]. Л.П.Листова показала, что при достаточно активном комплексообразователе возможно окисление золота с отдачей электронов кислороду и переход золота в раствор при окислении некоторых сульфидов. И.А.Каковский [1957] доказал термодинамическую вероятность процесса перехода золота в раствор с образованием тиосульфатных комплексных соединений. Кроме того известно, что при окислении сульфидных руд в природных условиях возникают промежуточные продукты окисления сульфидной серы, в том числе и тиосульфат-ионы, количество которых увеличивается в присутствии карбонатов.

Продукты жизнедеятельности микроорганизмов и разложения отмершего органического вещества также являются активными комплексообразо-

вателями. В условиях теплого климата и при обилии растительности же-лезо и его окислы вместе с органическими кислотами способны образовывать с золотом подвижные комплексные соединения — хелаты. Частая ассоциация золота с сульфидами, сопряженность рудных и россыпных проявлений, пространственная связь участков россыпей с золотом неокатанных форм, с зонами интенсивной лимонитизации, широкое развитие в аллювии обломков ожелезненных пород — все это позволяет подозревать в сульфидах одного из главных агентов растворения золота в гипергенных условиях.

Гордон Смит [Smith, 1943] доказал хорошую растворимость золота в растворах гидросульфида натрия. Указанные соединения образуются за счет разложения в приповерхностных условиях альбита, олиод и сульфидов металлов, широко распространенных в метаморфическом комплексе диаборитового пояса хребта Станового.

Обычно максимальное количество относительно крупного золота зоны окисления сульфидных месторождений локализуется в подзоне сычугов, тогда как золото собственно коры выветривания значительно мельче наблюдаемого в россыпях. Подтверждением возможности процессов укрупнения золота служат факты "восстановления" отработанных россыпей Новой Гвинеи [Freise, 1931], Алданского [Яблокова, 1965] и Бодайбинского районов [Николаева, 1968].

Таким образом, при условии длительного континентального выветривания за счет рассеянных сульфидных руд с тонкодисперсным золотом в принципе могут образовываться богатые россыпи, т.е. корообразование является одним из главных процессов, высвобождающим тонкодисперсное золото из бедных сульфидных руд с убогой минерализацией и создающим основные запасы свободного металла для образования россыпей.

Общегеологическая и геоморфологическая информация по региону свидетельствует о существовании восходящих, достаточно интенсивных по амплитуде и длительных (мезо-кайнозой) движений на территории диаборитового пояса хребта Станового, приведших к образованию радиально-концентрической системы разломов вокруг интрузивных массивов, образующих в современном рельфе положительные формы. Достаточно высокие уклоны и скорости потоков в верховьях рек, берущих начало в пределах этих интрузивных массивов (магматогенно-рудных центров), резко уменьшаются при пересечении ими раздробленных и минерализованных контактовых зон и зон концентрической системы разрывных нарушений. В результате образуются так называемые "структурные ловушки", где происходит вынос частиц горных пород с малой плотностью, проседание золотин в трещины аллювия и нарастание концентраций полезного компонента.

Изучение разрезов аллювиальных отложений россыпей диафторитового пояса хребта Станового показало, что между первоием, отвечающим стадии врезания, и элювием существует горизонт мощностью в первые десятки сантиметров, сложенный глинистыми несортированными и неокатанными песками и гравелитами, содержащими максимальные концентрации металла.

Известно, что глубинные разломы зоны развития диафторитов на территории хребта Станового практически не содержат золоторудных проявлений, поэтому промышленные россыпи в долинах, дренирующих зоны глубинных разломов, отсутствуют, несмотря на то, что эти долины обладают выработанным продольным профилем и большой глубиной эрозионного вреза. Максимальные же концентрации золота наблюдаются в долинах третьего и более высоких порядков, совпадающих, по-видимому, с рудо-контролирующими и рудовмещающими структурами. Вдоль них же в эпоху мезо-кайнозойского континентального выветривания развивались мощные линейные коры выветривания (физико-химического), послужившие исходным субстратом для формирования аллювиальных россыпей.

В отличие от установленных представлений об очередности заложения долин соответственно их порядку, автор считает, что заложение долин в пределах отдельных морфоструктур концентрических рудно-магматических систем происходит в масштабе геологического времени почти мгновенно. Это предположение подтверждается результатами анализа планового расположения долин современной гидросети региона и данными экспериментальной геоморфологии.

Углубляющаяся гидросеть сначала перемывает верхние горизонты кор выветривания и малопродуктивные уровни линейных кор выветривания и зон окисления. Поэтому реликты террас высоких уровней (самых верхних в пределах конкретной долины), как правило, убого золотоносны, а золото в них мелкое. Массовое накопление металла начинается при достижении эрозионным врезом нижних горизонтов кор выветривания, в частности, подзоны вторичного сульфидного обогащения. Максимальные концентрации металла создаются при полной денудации всего профиля линейной коры выветривания, в том случае, когда россыпь практически "садится" на монолитный плотик. Естественно, что в таком случае наиболее золотоносными оказываются водотоки второго и третьего порядков, как непосредственно дренирующие рудные тела (заложенные по рудовмещающим разломам). В более крупные долины и межгорные владины происходит вынос тонкого и чешуйчатого золота. Наличие в одной и той же россыпи золота "рудного" облика совместно с хорошо обработанным, большие колебания пробности являются результатом "проециро-

вания" металла в россыпь из различных горизонтов рудного тела или разных зон коры химического выветривания. С этих же позиций находят себе объяснение преимущественное расположение россыпей в плотиковых фациях аллювиальных отложений и пластовый характер их залегания.

При переходе от режима врезания к состоянию динамического равновесия отложения плотиковой фации и собственно россыпи перекрываются русловым аллювием практически не золотоносным или слабозолотоносным. При возобновлении врезания происходит переработка (перемыв) накопленного долинного аллювия и обогащение плотиковых фаций за счет "проецирования" в этот слой рассеянного металла, содержащегося в покровном аллювии [Трушков, 1971]. Следовательно, геологический возраст россыпи вовсе не идентичен возрасту перекрывающих или вмещающих металлы отложений, а является "скользящим" и отвечает интервалу времени от поступления первых и до прекращения последних порций металла [Лапин, 1965].

При этом основными стадиями формирования россыпей золота являются: образование кор химического выветривания в условиях умеренных по амплитуде восходящих движений – эрозионное вскрытие и перемыв продуктов корообразования. Причем эти стадии могут накладываться друг на друга во времени и быть сопряженными в пространстве [Рожков, 1968; Желнин, 1976].

Исходя из установленной пространственной, а возможно и генетической, связи рудных и россыпных проявлений золота на территории диэфторитового пояса хребта Станового со структурами центрального типа, ядрами которых являются гранитоидные тела мезовозрастного возраста, ставится задача регионального прогноза новых россыпных узлов. На ранней стадии прогнозаrationально использование материалов аэрокосмических съемок различных масштабов, дающих возможность одновременного обзора значительных по площади территорий и позволяющих установить неизвестные ранее существующие связи между тектоническими элементами, рельефом местности и строением рыхлого покрова. Рекомендуется ландшафтное дешифрирование – выделение на фотоснимках различных типов ландшафтов по доминирующей плотности изображения, плановым очертаниям, границам, географическому соседству, своеобразию рисунка изображения и т.д. При этом следует учитывать, что каждый ландшафт определяется однородностью целого ряда компонентов и факторов организации природной среды.

Дешифрирование аэрокосмических материалов позволяет выделить индикаторы предполагаемых рудно-россыпных узлов – концентрические и линейные тектонические структуры, не устанавливаемые обычными геологическими методами.

Как показывает опыт дешифрирования концентрических структур (на территории Куларского, Южно-Янского, Верхнеиндигирского, Улахан-Тасского и других рудно-rossыпных узлов Якутии) большинство их пространственно совпадает с интрузиями гранитоидов, которые, независимо от уровня эрозионного вскрытия, образуют положительные формы рельефа. Отсутствие в пределах интрузивных массивов древних кор выветривания, активная эрозия склонов, глубокий и интенсивный врез речных долин, непосредственные измерения скоростей современных движений (высокоточное повторное нивелирование) и наличие отрицательных аномалий силы тяжести являются свидетельством изостатической неуравновешенности таких массивов, объясняющей их способность к "всплыvанию" [Баландин, 1982].

Особое значение имеют детальные исследования рельефа, направленные на изучение пространственного положения уровней корообразования, так как для уже известных рудно-rossыпных узлов на территории диафторитового пояса хребта Станового установлена закономерная приверженность головок россыпей к гипсометрическому уровню – 900–920 м, отвечающему придолинным поверхностим плиоцен-раннечетвертичного времени [Кусков, Васютин, 1977]. По мнению Э.Д.Избекова, В.Е.Филишова (1979 г.) этот уровень является "потолком" вертикального интервала золотого оруденения. На этот же уровень выходит ложатся известные в регионе остатки кор химического выветривания. По-видимому, плиоцен-раннечетвертичный возрастной рубеж и следует считать началом эпохи россыпнеобразования, так как именно с этого времени металл начинает поступать в аллювий.

Накопленный фактический материал указывает на незначительность или полное отсутствие в россыпях диафторитового пояса хребта Станового "древнего" (по типоморфизму) золота. Поэтому поиски россыпей на гипсометрических отметках, превышающих уровень придолинных поверхностей выравнивания, по-видимому, являются пока нерациональными.

Следующий этап – изучение типоморфных особенностей металла, известных в регионе россыпей и коренных источников (рудопроявлений). Этот этап включает в себя достаточно широкий комплекс исследований – изучение собственно типоморфных особенностей металла (размерность и форма золотин, характер поверхности, наличие сростков и включений и т.д.), дифференциации по гидравлической крупности и размерности частиц металла (как показателей миграционной способности и дальности переноса), пробности (зональности россыпей по пробности), примесей, микроструктуры и т.д. Исследование перечисленных

характеристик металла уже известных россыпей дает возможность выяснить многие параметры возможных источников: тип – коренной или промежуточный, морфологию – линейную или точечную, пространственное положение и, в общем виде, структуру рудного поля – простижение, форму, протяженность.

Особого внимания заслуживает метод изучения пробности золота россыпей, базирующийся на гипотезе, что зональность по пробности щихового золота достаточно точно отражает расположение в пространстве рудоконтролирующих структур коренных источников [Неронский, Добрая, 1976]. Выполненные по этой методике исследования на территории некоторых россыпных узлов диафторитового пояса хребта Станового (Сутамский район) обнаружили наличие ясно выраженной концентрической зональности пробности вокруг гранитоидных массивов.

Изложенное позволяет сформулировать рабочую модель процесса формирования россыпей золота на территории диафторитового пояса хребта Станового. Её элементами являются:

- рудно-россыпные узлы, пространственно и генетически связанные со структурами центрального типа с активными "ядрами" гранитоидного состава (мезозойского возраста), вскрытые в различной степени эрозионно-денудационными процессами;
- длительный (мезо-кайнозойский) этап континентального развития с образованием линейных и площадных кор выветривания полного профиля (с подзонами вторичного сульфидного обогащения) на определенных гипсометрических уровнях;
- переработка (размыв и переотложение) продуктов корообразования эрозионными процессами;
- россыпная концентрация металла.

Использование при прогнозных построениях этой модели позволяет наметить следующую схему видов исследования:

1-я стадия – региональное районирование с использованием материалов космических съемок с целью выделения структур центрального типа как возможных рудно-россыпных узлов;

2-я стадия – изучение структуры и морфологии современного рельефа с целью выявления пространственных закономерностей расположения россыпных и рудных проявлений в пределах выявленных узлов;

3-я стадия – геоморфологические исследования с целью изучения стадийности формирования рельефа и этапов корообразования;

4-я стадия – изучение типоморфных особенностей золота россыпей и коренных источников, направленное на выявление возможных источников питания россыпей (поиски коренных проявлений по россыпям).

С п и с о к л и т е р а т у р ы

- Б а л а н д и н В.А. К вопросу об участии гранитоидного магматизма в формировании рельефа Верхоянской горной страны. - В кн.: Проблемы неотектоники и современной динамики литосферы (Тез.докладов Всесоюзного совещания, т.2). Таллин: ПТИ МБО ЭССР, 1982, с.18-20.
- В е т л у ж с к и х В.Г. О возрасте и генезисе золотого оруденения в диафторитах сочленения Алданской и Становой докембрийских складчатых систем. - В кн.: Вопросы геологии Прибайкалья и Забайкалья. Чита, 1968, вып.3(5), с.30-31.
- В е т л у ж с к и х В.Г. Магматический и тектонический контроль золотого оруденения на Становике и в южной части Алданского щита.- В кн.: Геология и полезные ископаемые Южной Якутии. Чита: Геогр. о-во СССР, Заб.филиал, 1972, с.62-67.
- Ж е л н и н С.Г. Геологические условия образования аллювиальных россыпей золота на Северо-Востоке Азии. - Тр.Сев.-Вост.комплексного ин-та ДВНЦ АН СССР, 1976, вып.69, с.201-208. .
- К а к о в с к и й И.А. К теории гидрометаллургии благородных металлов. - Изв.АН СССР. Отд.техн.наук, 1957, т.29, № 7, с.109-125.
- К о г е н В.С. Золотое оруденение Сутамского узла (Становой хребет). - В кн.: Генетические типы и закономерности размещения месторождений Дальнего Востока. Новосибирск: Наука, 1976, с.107-114.
- К у с к о в А.П., В а с ю т и н а Л.Г. Структурно-фациальная зональность неоген-четвертичных отложений Станового хребта. - В кн.: Геология четвертичного периода (плейстоцен). Ереван, 1977, с.347-352.
- Л а п и н С.С. О понятии "россыпь" и возрасте золотых россыпей - В кн.: Геология россыпей. М.: Наука, 1965, с.98-102.
- Н е р о н с к и й Г.И., Д о б р а я В.Т. Пробность золота и характер ее изменения в некоторых золотоносных районах Приамурья.- В кн.: Генетические типы и закономерности месторождений золота Дальнего Востока. Новосибирск: Наука, 1976, с.45-57.
- Н е с т е р о в Н.В. Вторичная зональность золоторудных месторождений Якутии.-Изв.Томского политехн.ин-та, 1970, т.239, с.138-232.
- Н е с т е р о в Н.В. Вторичная зональность золоторудных месторождений Якутии. М.: Недра, 1973. 172 с.
- Н и к о л а е в а Л.А. О преобразовании внутренней структуры золота в россыпях. - Тр.ЦНИГРИ, 1968, вып.79, с.250-257.
- Р о ж к о в И.С. Генетические типы месторождений золота и их положение в неотектонических структурах. - Геология и геофизика, 1968, № 7, с.58-72.
- С к р я б и н А.И. Особенности горизонтальной зональности золо-

торудных узлов (на отдельных примерах Восточной Якутии). Якутск:
Кн.изд-во, 1978. 88 с.

Т р у ш к о в Ю.Н. Условия формирования и закономерности распределения россыпей в мезозоядах Якутии. М.: Наука, 1971. 268 с.

Я б л о к о в а С.В. Образование "нового" золота в некоторых россыпях Южной Якутии. - В кн.: Геология россыпей. М.: Наука, 1965, с.152-155.

F r e i s e F.W. The transportaiton of Gold by Organic Under-ground solutions. - Econom. Geol., 1931, v. 26, N.4, p. 328-342.

S m i t h F.G. The alkali-sulphide theory of gold deposition.- Econ. Geol., 1943, N. 38, p. 771-778.

СОДЕРЖАНИЕ

Стр.

От редактора	3
Дик И.П. Этапы россыпнеобразования Южной Якутии.....	4
Скрябин А.И. Зональность типов минерализации и золота различной пробности относительно интрузивов двуслюдистых гранитов (Восточная Якутия).....	10
Степанов О.В. Особенности геологического строения сложных россыпей в крупных долинах и некоторые вопросы методики их разведки.....	15
Избеков Э.Д. Реконструкция размещения древних россыпей по особенностям металла в современных долинах.....	20
Филиппов В.Е. Особенности распределения пробности россыпного золота Сутамского района (в связи с проблемой поиска коренного источника).....	28
Никифоров А.Г. Характеристика связи россыпей с коренными источниками (на примере объекта Алексеевский, Южная Якутия).....	35
Избеков Э.Д. Шаровидное пустотелое золото как индикатор формирования древних береговых зон (на примере восточной части Сибирской платформы).....	50
Скрябин А.И. О связи россыпей золота с эндогенными рудными столбами.....	58
Михайлов В.А. О субавтохтонности россыпного золота Вилойской синеклизы.....	69
Филиппов В.Е. Гидравлическая крупность и перемещение россыпного золота	84
Зинчук Н.Н. Типоморфные особенности продуктов выветривания различных пород Западной Якутии в связи с проблемой поисков погребенных россыпей алмазов.....	94
Егорова М.А. Металлоносность антропогеновых отложений левых притоков среднего течения р.Лены.....	102
Кирусенко Т.С., Белозерцева Н.В. Принципы составления легенды геоморфологической карты Южного Верхоянья (в связи с поисками россыпей золота и других полезных ископаемых).....	III
Гриценко В.П. Возможности совершенствования методики опробования россыпей золота.....	120
Баландин В.А. О совершенствовании прогнозных работ на золото (на примере диафторитового пояса хр.Станового).....	125

РЕФЕРАТЫ

УДК 553.4II.068(57I.56)

ЭТАПЫ РОССЫПЕОБРАЗОВАНИЯ ЮЖНОЙ ЯКУТИИ. Д и к И.П. "Происхождение и размещение россыпей Якутии". Сборник научных трудов. Якутск: ЯФ СО АН СССР, 1983, с.4-10.

На основе анализа развития рельефа и накопления аллювиальных отложений Южной Якутии выделено несколько этапов формирования россыпей. Они обусловлены, в основном, тектоническим режимом территории в неоген-нижнеплейстоценовое, средне-верхнеплейстоценовое и позднеплейстоцен-голоценовое время. Наиболее перспективными в отношении россыпей с мелкими частицами полезных компонентов является второй этап, а с крупными частицами - третий этап.

Список лит.- 15 назв.

УДК 549.283(57I.56)

ЗОНАЛЬНОСТЬ ТИПОВ МИНЕРАЛИЗАЦИИ И ЗОЛОТА РАЗЛИЧНОЙ ПРОБНОСТИ ОТНОСИТЕЛЬНО ИНТРУЗИВОВ ДВУСЛОДЬЯНЫХ ГРАНИТОВ (ВОСТОЧНАЯ ЯКУТИЯ).

С к р я б и н А.И. "Происхождение и размещение россыпей Якутии". Сборник научных трудов. Якутск: ЯФ СО АН СССР, 1983, с.10-14.

Изучение пространственного распределения золота по пробности позволило выявить его зональность относительно интрузивов двуслойных гранитов и ореолов контактового метаморфизма. Это объясняется закономерным размещением типов рудной минерализации относительно центров прогрева пород.

Ил.1, табл.1, список лит.- 4 назв.

УДК 553.068.5

ОСОБЕННОСТИ ГЕОЛОГИЧЕСКОГО СТРОЕНИЯ СЛОЖНЫХ РОССЫПЕЙ В КРУПНЫХ ДОЛИНАХ И НЕКОТОРЫЕ ВОПРОСЫ МЕТОДИКИ ИХ РАЗВЕДКИ. С т е п а н о в Б.В. "Происхождение и размещение россыпей Якутии". Сборник научных трудов. Якутск: ЯФ СО АН СССР, 1983, с. 15-20.

В результате анализа геологического строения многочисленных аллювиальных россыпей, сформировавшихся в крупных долинах, устанавливаются основные закономерности распределения в них полезных компонентов, что позволяет обосновать необходимость применения крупнообъемно-линейного способа опробования при их геолого-промышленной оценке.

Ил.3, табл.1.

УДК 553.068.5+549.283

РЕКОНСТРУКЦИЯ РАЗМЕЩЕНИЯ ДРЕВНИХ РОССЫПЕЙ ПО ОСОБЕННОСТИЯМ МЕТАЛЛА В СОВРЕМЕННЫХ ДОЛИНАХ. И з б е к о в Э.Д. "Происхождение и размещение россыпей Якутии". Сборник научных трудов. Якутск: ЯФ СО АН СССР, 1983, с. 20-28.

Определяются контуры отмерших приподнятых россыпей. При пересечении их современными долинами металл из разных частей (головки, середины, хвоста) древней россыпи поступал в современные тальвеги и сохранял типоморфные особенности, свойственные той части россыпи, из которой он переотлагался. Из головки россыпи выносилось крупное, комковидное, а из хвоста - тонкопластиначатое золото. Это позволяет дать объяснение образованию россыпей с однородным (по гранулометрии и морфологии) золотом. Рассматриваемая закономерность может быть использована при поисках россыпей.

Ил.2, табл.2, список лит.- I9 назв.

УДК 553.068.5(57I.56)

ОСОБЕННОСТИ РАСПРЕДЕЛЕНИЯ ПРОБНОСТИ РОССЫПЬНОГО ЗОЛОТА СУТАМСКОГО РАЙОНА (в связи с проблемой поиска коренного источника). Ф и - л и п п о в В.Е. "Происхождение и размещение россыпей Якутии". Сборник научных трудов. Якутск: ЯФ СО АН СССР, 1983, с. 28-35.

Исследованием типоморфных особенностей шлихового золота установлено, что основные россыпи сформированы вдоль простирания рудных полей, эродированность которых относительно небольшая. Выявлена явно выраженная концентрическая зональность распределения золота в россыпях по пробности. На основании этого предполагается генетическая общность эндогенной золотой минерализации на всей исследованной территории. Возраст оруденения определяется как послеюрский.

Ил.2, табл.1, список лит.-II назв.

УДК 549.283:553.068.54:(57I.56)

ХАРАКТЕРИСТИКА СВЯЗИ РОССЫПИ С КОРЕННЫМИ ИСТОЧНИКАМИ (на примере объекта Алексеевский, Южная Якутия). Н и к и ф о р о в А.Г. "Происхождение и размещение россыпей Якутии". Сборник научных трудов. Якутск: ЯФ СО АН СССР, 1983, с.35-50.

Приводится изучение основных параметров шлихового золота: морфологии, обработанности, пробности, крупности, химического состава и других вдоль контура россыпи. В итоге определяются местоположе-

ние коренных источников, их срез и значение для формирования россыпи.

Ил.5, табл.3, список лит.- 9 назв.

УДК 549.283

ШАРОВИДНОЕ ПУСТОТЕЛОЕ ЗОЛОТО КАК ИНДИКАТОР ФОРМИРОВАНИЯ ДРЕВНИХ БЕРЕГОВЫХ ЗОН (на примере восточной части Сибирской платформы). И з-б е к о в Э.Д. "Происхождение и размещение россыпей Якутии". Сборник научных трудов. Якутск: ЯФ СО АН СССР, 1983, с. 50-58.

Рассмотрен один из минералогических критериев обнаружения древних береговых зон. В качестве эталона принято золото уникальной формы – пустотельные шаровидные агрегаты с перегородкой, либо чешуйчатые подвиды с валиком по краям. Ранее автором эти формы были отнесены к баагинскому и чокульскому типам золота. Они широко распространены по площади Сибирской платформы.

Ил.4, список лит.-II назв.

УДК 553.4II.068.5(57I.56)

О СВЯЗИ РОССЫПЕЙ ЗОЛОТА С ЭНДОГЕННЫМИ РУДНЫМИ СТОЛБАМИ. С к р я- б и н А.И. "Происхождение и размещение россыпей Якутии". Сборник научных трудов. Якутск: ЯФ СО АН СССР, 1983, с. 58-68.

В результате обобщения литературных данных, приводя новые факты по взаимоотношениям россыпей с разрывными нарушениями и коренными источниками, показывается возможность формирования отдельных россыпей при разрыве эндогенных рудных столбов, что может иметь практическое значение при поисковых работах.

Ил.1, список лит.-I4 назв.

УДК 549.283:553.4II(57I.56)

О СУБАВТОХОННОСТИ РОССЫПНОГО ЗОЛОТА ВИЛЮЙСКОЙ СИНКЛИЗЫ. М и - х а й л о в В.А. "Происхождение и размещение россыпей Якутии". Сборник научных трудов. Якутск: ЯФ СО АН СССР, 1983, с.69-84.

На основании анализа прямых (локальных) и косвенных (региональных) критериев металлоносности Вилуйской синеклизы делается вывод о местном характере источников, обусловивших эту металлоносность. Первичными источниками полезных компонентов служили блоковые выступы докембрийского фундамента; дополнительное поступление ценных минералов происходило в период мезозойской активизации.

Ил.1, табл.2, список лит.-48 назв.

УДК 549.283:553.068.5

ГИДРАВЛИЧЕСКАЯ КРУПНОСТЬ И ПЕРЕМЕЩЕНИЕ РОССЫПНОГО ЗОЛОТА. Ф и-
л и п п о в В.Е. "Происхождение и размещение россыпей в Якутии".
Сборник научных трудов. Якутск: ЯФ СО АН СССР, 1983, с.84-94.

На основе анализа существующих представлений о способах переме-
щения россыпного золота обоснована правомерность принятия гидрав-
лической крупности тяжелых минералов как основного показателя их
миграционной способности в речных долинах. Рассмотрена связь гид-
равлической крупности минералов с их линейными показателями, плот-
ностью и массой. Подтверждена зависимость гидравлической крупности
золотин от их толщины. Раскрыт физический смысл указанной связи. На
примерах природных объектов показано существование сортированности
золотин в россыпях по их гидравлической крупности. Отрыв зоны мак-
симального накопления от коренных источников в строении элементар-
ной россыпи объясняется "неподготовленностью" золотин субрудного
облика к повышенной концентрации в аллювии.

Ил.5, табл. I, список лит.-10 назв.

УДК 553.068.57(571.56)

ТИПОМОРФНЫЕ ОСОБЕННОСТИ ПРОДУКТОВ ВЫВЕТРИВАНИЯ РАЗЛИЧНЫХ ПОРОД
ЗАПАДНОЙ ЯКУТИИ В СВЯЗИ С ПРОБЛЕМОЙ ПОИСКОВ ПОГРЕБЕННЫХ РОССЫПЕЙ
АЛМАЗОВ. З и н ч у к Н.Н. "Происхождение и размещение россыпей
Якутии". Сборник научных трудов. Якутск: ЯФ СО АН СССР, 1983, с.94-102.

Приводятся типоморфные особенности минерального состава продук-
тов выветривания осадочных пород нижнего палеозоя, среднепалеозой-
ских кимберлитов, туфов и туффобрекчий трубок взрыва и т.д. Пока-
зано, что глинистые минералы отложений алмазоносных районов Запад-
ной Якутии, связанные в основном с процессами переотложения различ-
ных продуктов выветривания, сохраняют определенную унаследованность
структурных и кристаллохимических особенностей. Это позволяет ис-
пользовать типоморфные признаки однотипных минералов осадочных толщ
для определения источников сноса, что будет способствовать повыше-
нию эффективности поисковых работ на алмазы.

Список лит.-18 назв.

УДК 553.4II.068.5(57I.56)

МЕТАЛЛОНОСНОСТЬ АНТРОПОГЕННЫХ ОТЛОЖЕНИЙ ЛЕВЫХ ПРИТОКОВ СРЕДНЕГО ТЕЧЕНИЯ р.ЛЕНЫ. Е г о р о в а М.А. "Происхождение и размещение россыпей Якутии". Сборник научных трудов. Якутск: ЯФ СО АН СССР, 1983, с. I02-III.

Отмечается принципиальное присутствие золота в русловых отложениях, связанных с перемывом промежуточных коллекторов мезозоя и палеозоя. Констатируется наличие различных морфологических типов золота и указывается на необходимость дальнейшего изучения металлоносности рассматриваемой площади.

Ил.4, список лит.-15 назв.

УДК 553.078. 8

ПРИНЦИПЫ СОСТАВЛЕНИЯ ЛЕГЕНДЫ ГЕОМОРФОЛОГИЧЕСКОЙ КАРТЫ ЮЖНОГО ВЕРХОЯНЬЯ (в связи с поисками россыпей золота и других полезных ископаемых). К и р у с е н к о Т.С., Б е л о з е р ц е в а Н.В. "Происхождение и размещение россыпей Якутии". Сборник научных трудов. Якутск: ЯФ СО АН СССР, 1983, с. III-I20.

Предлагается легенда, составленная для территории развития горнодолинного оледенения. Она отличается от общепринятых тем, что в ней акцентируется внимание на выделении основных этапов развития рельефа и на связи их с полезными ископаемыми.

Ил.1, табл.2, список лит.- 9 назв.

УДК 553.4II.068.5

ВОЗМОЖНОСТИ СОВЕРШЕНСТВОВАНИЯ МЕТОДИКИ ОПРОБОВАНИЯ РОССЫПЕЙ ЗОЛОТА. Г р и ц е н к о В.П. "Происхождение и размещение россыпей Якутии". Сборник научных трудов. Якутск: ЯФ СО АН СССР, 1983, с.I20-I25

Предлагается способ опробования россыпей, позволяющий избавиться от обогащения промышленного пласта за счет золота, находящегося за его пределами, повысить производительность труда, удешевить все виды работ при проходке и промывке секции на 400 руб., реально внедрить крупнообъемное опробование при разведке глубокозалегающих россыпей.

Ил.4, табл.1.

УДК 553.4.II.042

О СОВЕРШЕНСТВОВАНИИ ПРОГНОЗНЫХ РАБОТ НА ЗОЛОТО (на примере диафторитового пояса хребта Станового). Б а л а н д и н В.А. "Происхождение и размещение россыпей Якутии". Сборник научных трудов. Якутск: ЯФ СО АН СССР, 1983, с. 125-133.

Предложена рабочая гипотеза образования россыпей на территории диафторитового пояса хребта Станового. Выделены стадии этого процесса: а) формирование рудных источников, пространственно связанных с мезозойскими гранитоидами, б) эрозионное вскрытие, в) региональное развитие кор химического выветривания с образованием подзоны вторичного сульфидного обогащения, г) эрозионный врез с высвобождением полезных компонентов, д) поступление металла в россыпь. Рекомендован рациональный комплекс прогнозных и металлогенических построений.

Список лит.-18 назв.

ДОРОГОЙ ЧИТАТЕЛЬ!
Подписи к рисункам 4 и 5
в статье А. Г. Никифорова
просим поменять местами.

Свод.план 1983, поз. I

**ПРОИСХОЖДЕНИЕ И РАЗМЕЩЕНИЕ
РОССЫПЕЙ ЯКУТИИ**

Сборник научных трудов

Утверждено к печати
президиумом Якутского филиала СО АН СССР

Редактор Л.П.Филиппова
Техн.редактор С.А.Толкачева
Корректор Н.И.Дегтярева

Формат 60x84 I/16. Бумага тип. № 3. Печать офсетная.
Усл.печ.л. 8,13. Уч.-изд.л. 8,91. Тираж 250 экз.
Заказ 28. Цена 63 коп.

Якутский филиал Сибирского отделения АН СССР
Фотооффсетная лаборатория Якутского филиала СО АН СССР
677891, Якутск, ул.Петровского, 2

Сканирование - *Беспалов*
DjVu-кодирование - *Беспалов*



63 коп.